



سرفصل مطالب درس: اندازه گیری الکتریکی

مفهوم و اهمیت اندازه گیری الکتریکی ، تعاریف اولیه ، اجزاء سیستم‌های اندازه گیری ، خطاهای و آنالیز آن ، طبقه بندی دستگاه‌های اندازه گیری.

دستگاه‌های اندازه گیری آنالوگ ، مغناطیس ثابت و سریع پیج متحرک و بالعکس با آهن متحرک ، الکترودینامیکی ، فرودینامیکی القائی ، الکترواستاتیکی ،

دستگاه‌های اندازه گیری جریان و ولتاژ DC و AC و روش‌های اندازه گیری مقادیر خیلی کم و خیلی زیاد ولتاژ و جریان ، دستگاه‌های اندازه گیری با ضرب کننده ها ، اندازه گیری توان اکتیو و راکتیو یک فاز و سه فاز.

اندازه گیری مقاومتها ، خازنها ، سلفها و ضریب Q ، پلهای اندازه گیری و کاربرد آنها .

ترانسdiوسرهای اثر هال (Hall Effect Transducers)

اسیلوسکوپهای عادی و دستگاه‌های ثبات .

دستگاه‌های اندازه گیری دیجیتال ، اندازه گیری فرکانس و هارمونیکها - اسیلوسکوپهای پیشرفته

دستگاه‌های اندازه گیری نظیر :
SVTM , CURVE TRACER , VTVM , WAVE ANALYZER

1 - A Course in Electrical and Electronic Measurements and Instrumentation , A. K. Sawhney , Dhanpat Rai & Sons, 1988..

-2- اندازه گیری الکتریکی ، ساونی ، ترجمه محمود دیانی ، مجید ملکان ، مرکز نشر دانشگاهی ، تهران.

-3- دستگاههای اندازه گیری ، تالیف مسعود سلطانی ، انتشارات دانشگاه تهران.

4 - Electronic Measurements and Instrumentation , Klaas B. Klaassen, Cambridge University Press.

اندازه گیری چیست

اندازه گیری عبارتست از تعیین یک کمیت و یا مقدار فیزیکی توسط یک عدد و بر حسب یک واحد. بنابراین برای اندازه گیری نیاز به واحد های داریم (مانند ولت ، متر ، کیلوگرم ، ثانیه و). البته واضح است که برای برای اندازه گیری هر کمیت تکنیکها و یا روشهای منحصر به آن وجود دارند (کولیس ، ورنیه ، میکرومتر ، خطکش ، ولت متر و سیستمهای اندازه گیری دیگر).

نمایش ثبت و انتقال اطلاعات در اندازه گیری

وظیفه اندازه گیری دستیابی به اطلاعات در خصوص اندازه فیزیکی و نمایش آن است، نتیجتاً مسئله نمایش ، ثبت و انتقال اطلاعات بدست آمده از اهمیت خاصی برخوردار است. نمایش، ثبت و انتقال اطلاعات بصور زیر انجام میشود:

1. آنالوگ - در این حالت مقدار اطلاعات حاصل از اندازه گیری بصورتی پیوسته نمایش داده میشود.
2. دیجیتال - در این حالت اطلاعات حاصل از اندازه گیری بصورت تعدادی پالس و یا یک عدد نمایش داده میشود.

تاریخچه اندازه گیری :

زیر بنای آحاد (کنوانسیون متر 1875)	1880	1860
اختراع مهمترین دستگاههای اندازه گیری و ابداع متدهای اندازه گیری	1900	1880
روشهای اندازه گیری دقیق در جریان مستقیم	1920	1900
اندازه گیری جریانهای متناوب ، در انتقال انرژی الکتریکی ، مخابرات و فرکانس بالا	1940	1920
دستگاههای اندازه گیری الکترونیکی، ترکیب اندازه گیری و کنترل – اندازه گیری هسته ای	1960	1940
آنالیز و اندازه گیری اتوماتیک در سیستمها	تاکنون	1960

اهمیت اندازه گیری در زندگی روزمره

1. اندازه گیری درجه حرارت بدن انسان
2. اندازه گیری درجه حرارت محیط های مختلف
 3. اندازه گیری فشار خون
 4. اندازه گیری فشار هوا
 5. اندازه گیری فشار روغن
 6. اندازه گیری مقدار آب مصرفی
 7. اندازه گیری مقدار برق مصرفی
 8. اندازه گیری سرعت
 9. اندازه گیری رطوبت
 10. اندازه گیری ولتاژ الکتریکی
 11. اندازه گیری جریان الکتریکی
 12. اندازه گیری فرکانس برق
 13. اندازه گیری توانهای P ، Q ، و S
 14. اندازه گیری انرژی مصرفی
 15. اندازه گیری مقادیر R ، L ، Z ، C ، ω
 16. اندازه گیری وزن ، قد ، رنگ
 17. اندازه گیری ابعاد ، طول و عرض
 18. اندازه گیری حجم ، وزن

کمیتها و آحاد

مهمترین کمیتها در اندازه گیری الکتریکی و الکترونیکی عبارتند از : ولتاژ ، جریان ، توان و کمیتهای منشعب از آنها (مانند میلی ولت ، میلی آمپر و ...)

توضیح اینکه برای اندازه گیری کمیتهای فیزیکی دیگر ، معمولاً آنها را به کمیتهای الکتریکی فوق متناسب با کمیت اصلی تبدیل نموده و سپس عمل اندازه گیری انجام میشود.

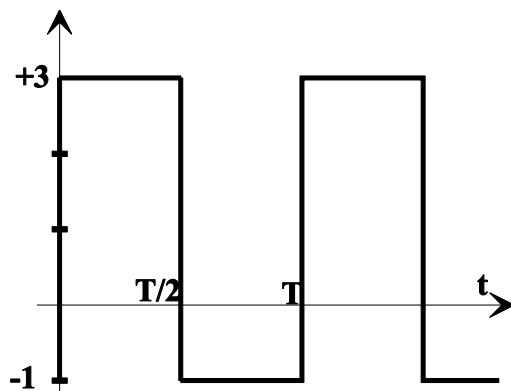
انتخاب روشها و دستگاههای مورد نیاز برای اندازه گیری، بستگی به این دارند که آیا کمیت مورد نظر از نوع مستقیم (جریان مستقیم) و یا از نوع متناوب است ، در این رابطه مقادیر لحظه ای ، متوسط ، ماکزیمم ، پیک تو پیک ، و موثر دارای اهمیت هستند .

کمیتهای الکتریکی و روابط آنها

کمیتهای الکتریکی بوسیله روابط مختلفی بهم مربوط میشوند. مثلا $U=R \cdot I$

کوئیز:

1. مقادیر لحظه ای (در لحظه های $0, T/4, 3T/4$)، ماکزیمم ، مینیمم ، پیک تو پیک ، متوسط و موثر شکل موج زیر را محاسبه کنید و یا روی شکل مشخص کنید.



2. مقادیر لحظه ای (در لحظه های $0, 5 \text{ ms}, 15 \text{ ms}$)، ماکزیمم ، مینیمم ، پیک تو پیک ، متوسط و موثر شکل موج با رابطه زیر را محاسبه کنید. (شکل موج را رسم کنید)

$$v_r(t) = 15 + 10 \sin(100 \pi t)$$

اسیلوسکوپ

(طرز کار و کاربرد اسیلوسکوپ در اندازه گیری های مختلف)

مختصری راجع به طرز کار و آشنائی با اسیلوسکوپ.

دیاگرام ساده ای از یک اسیلوسکوپ در شکل ۱ نشان داده شده است. قسمت اصلی این وسیله اندازه گیری الکترونیکی؛ لامپ اشعه کاتودیک آن میباشد. این لامپ شامل قسمتهای سه گانه (تقنگ الکترونی؛ سیستم انحراف؛ و پرده حساس) میباشد.

۱ تقنگ الکترونی مهمترین قسمت یک لامپ اشعه کاتودیک بوده و وظیفه آن تهیه یک شعاع بسیار باریک الکترونی است. شعاع الکترونی؛ مانند سایر لامپهای خلاء از طریق یک فیلامن و یک کاتد (بعنوان منبع الکترون) ایجاد میشود. بلافصله بعد از کاتد یک استوانه فلزی واقع شده که گردید و یا شبکه نامیده میشود؛ با اعمال یک پتانسیل مثبت بر روی این شبکه نسبت به کاتد میتوان مقدار الکترونهایی که از داخل استوانه بخارج جاری میشوند کنترل نمود. کنترل این پتانسیل باعث کم و پر نور شدن اثر شعاع الکترونی بر روی پرده حساس خواهد شد. الکترونها پس از خارج شدن از شبکه از درون سه آند میگذرند؛ این سه آند بصورت یک لنز الکترونیکی عمل نموده قادرند شعاع الکترونی را مرکز و بصورت یک شعاع باریک در آورند (مرکز اشعه با تغییر پتانسیل آند دوم کنترل میشود).

۲ سیستم انحراف از چهار صفحه Y_2 , Y_1 , X_2 , X_1 تشکیل شده است. اعمال پتانسیل الکتریکی بهر جفت صفحه (صفحات انحراف عمودی و صفحات انحراف افقی) موجب انحراف شعاع الکترونی خواهد شد. مثالهایی از چکونگی انحراف شعاع الکترونی در شکلهای ۷-۲ نمایش داده شده اند.

۳ پرده حساس در حقیقت صفحه تصویر لامپ اشعه کاتودیک (CRO) است؛ این صفحه با ماده حساسی پوشانیده شده است که در اثر برخورد؛ الکترونهای شعاع الکترونی؛ متناسب با جنس ماده حساس؛ نوری با رنگهای مختلف تولید میشود. پس از آنکه اصابت الکترونها با پرده حساس قطع شد؛ برای مدت کوتاهی (متناسب با پسماند ماده حساس) محل برخورد شعاع الکترونی روشن باقی میماند.

معرفی و آموزش کار با اسکوپ

اسیلوسکوپ اشعه کاتدی یک دستگاه نمایش دهنده است. در صورتی که دیگر دستگاههای نمایش دهنده فقط مقدار ولتاژ یا مقادیر دیگر الکتریکی را نمایش می دهند اما اسیلوسکوپ اشعه کاتدی قادر است مقدار، فاز، فرکانس موج و روابط بین مقادیر آنها را نمایش دهد.

خلاصه اطلاعات بسیار زیادی از نظر کمی و کیفی در مورد کارهای اندازه گیری الکترونیک به اسیلوسکوپ داده شده است و با قسمت های متعلق به دستگاه هر اندازه گیری با ردیف فرکانسهاي زياد با اسیلوسکوپ امکان پذير است.

طرح ساده طبقاتی یک اسیلوسکوپ اشعه کاتدی در شکل (۱-۷) نشان داده شده است. طبقات این اسیلوسکوپ شامل لامپ اشعه کاتدی CRT، تقویت کننده مرور X-Amp و قسمت منبع تغذیه PU می باشد.

4 لامپ اشعه کاتدی

لامپ اشعه کاتدی در واقع یک لامپ خلاء است که الکترونهاي آن از یک کاتد گرم منتشر شده و برای رساندن به سرعت کافی ابتداء شتاب داده می شوند، سپس به شکل اشعه در آمده و در پایان به یک پرده نیمه شفاف پوشیده از فسفر رسانس برخورد می نماید.

محلي که الکترونها به صورت اشعه در می آیند لوله پرتاپ الکترون (ELECTRON GUN) گفته می شود. ساختمان ساده لامپ در شکل 1 نشان داده شده، لوله پرتاپ مرکب از یک کاتد K ، یک شبکه G الکترود کنترل) و آند های شماره 1 و 2 است. شدت اشعه الکترون توسط شبکه ای به همان شکل لامپ الکترون معمولی، کنترل می شود. آند اول در پناسیل مثبت نسبت به کاتد کار می کند. از این رو الکترونها هنگام عبور از این شبکه شتاب می گیرند و با شکاف کوچکی در وسط آن اشعه الکترونی تهیه می گردد. الکترونهاي بیرون آمده از آند اول عملأ در مسیر خط مستقیمي حرکت می کنند، لیکن نیروي دافعه بين الکترونها دور شدن اشعه را از هم به وجود می آورند. این تمایل توسط میدانهای الکترواستاتیکی با قرار دادن پتانسیل در آند اول و دوم لامپ کنترل می شود، از این رو تقارب اشعه الکترونی لامپ توسط آند های اول و دوم نسبت به محور خود یک عدسی الکترونی تشکیل می دهند. معمولاً پتانسیل آند دوم ثابت است و پتانسیل آند اول برای تمرکز اشعه متغیر می باشد، به همین دلیل آند اول را الکترود تمرکز دهنده نیز می گویند.

منحرف شدن اشعه الکترونی به روی پرده به طور الکترواستاتیکی انجام می گیرد. انحراف الکترواستاتیکی توسط صفحات انحراف تهیه می گردد و به صورت دو وضع افقی (یا X و عمودی (یا Y با زاویه قائم نسبت به هم قرار دارند. میدانهای انحراف دهنده با اعمال ولتاژ مناسب بین هر دو جفت صفحات انجام می پذیرد. وقتی که ولتاژ های مختلفی به طور تناوبی به دو جفت صفحات انحراف دهنده وارد می شوند اشعه الکترونی به طرف بالا و پایین و همچنین در عرض پرده به ترتیب با تغییر مقدار و قطبین ولتاژ حرکت می نمایند. در لامپ اشعه کاتدی وارد نمودن سیگنال مورد نظر به صفحات 7 و اعمال یک ولتاژ استاندارد به صفحات X مرسوم است، به طوری که ترکیب آنها محورهای مختصات را پیدا می آورند. در تجزیه مدار الکتریکی معمولاً یک چیز در مورد تغییرات مقادیر نسبت به زمان جلب نظر می کند، بنابراین سیگنال مجهول به صفحات عمودی وارد شده و حرکت عرضی (مروري) در پرده مستقیماً متناسب با زمان است و این زمان توسط صفحات افقی با استفاده از ولتاژی که آن را ولتاژ مرور (TIME BASE) می گویند ساخته می شود.

در این صورت مقداري که نقطه نوراني روی پرده حرکت کرده مربوط به دامنه ولتاژ وارد به صفحات انحراف دهنده می باشد و اين پaramتر حساسيت انحراف

لامپ اشعه کاتدی نامیده می شود، آن را می توان به صورت ولتاژ(یا جریان) لازم برای حرکت نقطه نورانی در فاصله مشخصی روی پرده لامپ اشعه کاتدی تعریف نمود. معمولاً حساسیت انحراف(به طور جداگانه برای هر جفت صفحات) به میلی متر بر ولت(یا بر میلی آمپر (بیان می شود. حساسیت انحراف از نظر مقدار مربوط به طرح اشعه کاتدی و شرایط کار آن می باشد. یک سو کننده ولتاژ زیاد و مرور مسئله بسیار ویژه در اسیلوسکپ های اشعه کاتدی تهیه ولتاژ زیاد یا ولتاژ فوق العاده زیاد (E.H.T) برای تغذیه آندهای آن می باشد این ولتاژ از یک تا 20 کیلو ولت متغیر است. معمولاً این مسئله با یک سو کننده ولتاژ زیاد مشابه آنچه در شکل 2 نشان داده شده است انجام می گیرد.

با مراجعه به شکل 2 ، یک سو کننده ژرمانیومی یا سلنیومی میله ای شکل می باشد، مقاومت های تا مقسم ولتاژ را می سازد و این ولتاژهای تغذیه به الکترودهای لامپ اشعه کاتدی اعمال می گردد. مقاومت یک پتانسیومتر است که ولتاژ وارد را برای بایاس منفی شبکه و مقاومت روشنائی برقرار می کند، مقاومت های و یک صافی را می سازد و مقاومت و خازن با هم صافی دکوپلاز می باشند. مقاومت نیز یک پتانسیومتر برای کنترل پتانسیل آند اول برای مرکز (ROCUSE) و برای کنترل پتانسیل آند دوم به کار رفته اند. خازنهای و برای صاف کردن ضربات استفاده شده اند. سیم پیچ T.L. ترانسفورماتور-Tr ولتاژ تغذیه گرمکن لامپ اشعه کاتدی را (که 6/3 ولت می باشد) تهیه نماید.

قبلً یادآوری شده است، طرح نمایش تغییرات کمیت مجهول نسبت به زمان روی پرده لامپ اشعه کاتدی با وارد نمودن سیگنال مورد نظر به صفحات انحراف عمودی و اعمال یک ولتاژ مرور به صفحات انحراف افقی صورت می گیرد، ولتاژ مرور باید خطی باشد زیرا انحراف در جهت افقی مستقیماً با زمان متناسب است. پس نقطه نورانی توسط مرور در جهت افقی با یک سرعت ثابت کشیده می شود و این نقطه نیز به طور عمودی توسط تغییرات سیکل ولتاژ وارد و منحرف می گردد. در نتیجه نقطه نورانی روی پرده شکل موج را به همان طریقی که معمولاً به صورت ترسیمی می کشند به معرض نمایش در می آورد.

اگر دوره تناوب ولتاژ متناوب وارد به صفحات عمودی برابر با دوره تناوب مرور باشد بدیهی است که هر دو موج در همان صفحات در همان لحظه از زمان، مرور را شروع خواهد کرد و طرح نمایش داده شده دقیقاً بر مبنای همان تصویر واقعی قرار می گیرد. چیزی که دیده می شود شکل ساکنی خواهد بود که می توان از آن عکس برداری نمود.

برای اینکه مرور بتواند به طور دوره ای تکرار شود باید ولتاژ مرور همانطور که در شکل 3 نشان داده شده است شکل موج دندانه اره ای داشته باشد. ولتاژ به طور

خطی تا V_{max} بالا می رود و سپس سریعاً به ولتاژ شروع V_{start} بر می گردد. بنابراین در پایان مرور عرضی پرده نقطه نورانی به سمت چپ برای مرور بعدی آماده می شود. به این عمل، برگشت اشعه (FLY-BACK) می گویند و زمان مربوط به آن، زمان برگشت اشعه FLY-BACK TIME می شود.

شکل 3 ولتاژ دندانه اره ای مرور ملزمات ولتاژ مرور عبارتند از:

- هنگام مرور به طرف جلو این ولتاژ باید خطی بوده تا مستقیماً با زمان متناسب باشد.

- زمان برگشت اشعه فقط باید کسر خیلی کوچکی از مدت زمان و مرور به طرف جلو باشد.

- این ولتاژ باید به قدر کافی قوی باشد تا مرور در تمام طول افقی پرده انجام گیرد. مدارهای مختلفی در مولدهای مرور به کار می روند. لیکن اصول اساسی همگی آنها یکسان است. مثلاً یک خازن به تدریج شارژ شده و سپس وقتی به یک ولتاژ معینی می رسد به طور ناگهای تخلیه می شود، در هر صورت ولتاژ دو سر خازن به طور تناوبی دائمآ افزایش یکنواخت و در یک لحظه کاهش دارد.

شکل(5-7) مولد مرور ساده ای را با استفاده از یک لامپ گازی نئون نشان می دهد، خازن C از طریق منبع ولتاژ ثابت V و مقاومت متغیر R_1 شارژ می گردد.

ولتاژ خازن C در دو سر لامپ گازی و مقاومت R_2 قرار گرفته است. وقتی ولتاژ دو سر خازن C برابر با ولتاژ شکست لامپ گازی (V_{max}) در شکل(5-7) می شود، شکست هدایتی لامپ گازی و تخلیه ناگهانی خازن از طریق آن طوری انجام میگیرد تا ولتاژ خازن به میزانی معادل ولتاژ تهیج لامپ تنزل یابد. در این لحظه لامپ گازی قطع کرده و عبور جریان تخلیه متوقف می شود و خازن سیکل جدید شارژ خود را شروع می کند، در نتیجه ولتاژ دو سر خازن شکل موج دندانه اره ای شبیه خط چین نشان داده شده در شکل(5-7) دارد. زمان تخلیه بایستی فقط کسری از زمان شارژ که با حاصل ضرب (RCI ثابت زمانی) تعیین می شود باشد.

مدار مرور تشریح شده در فوق کمتر برای تولید مرور نقطه نورانی در مدار افقی پرده اسیلوسکوپ به کار می رود، از این رو از مولد مرور به کمک لامپ تیراترون استفاده می شود. در این مولد مرور تا مادامی که ولتاژ خازن پایین تر از ولتاژ شکست لامپ است آند تیراترون جریان خیلی کمی می کشد، وقتی ولتاژ خازن به مقدار ولتاژ شکست می رسد ناگهان هدایت تیراترون شکسته شده و خازن سریعاً در لامپ تخلیه می کند و جریان هدایتی مدار به حداقل می رسد، ولتاژ خازن تقریباً به طور آنی به ولتاژ تهیج لامپ تنزل می یابد، ولتاژی که به خازن اجازه

تخلیه می دهد توسط پتانسیونر R و مقاومت محدود کننده جریان شبکه لامپ قابل تنظیم است. بنابراین دامنه ولتاژ دندانه اره ای می تواند با آن تنظیم شود، مقاومت محدود کننده جریان آند لامپ می باشد(شکل 7-6)

نحوه مروری که در بالا اشاره شده است یکی مرور ثابتی در پرده لامپ اشعه کاتدی به وجود می آورد و فرکانس ولتاژ مرور فقط برابر یا چند برابر فرکانس سیگنال ورودی می باشد، در وضعیت های دیگری که فرکانس یک کم تغییر می کند مرور "دوندگی" و یا تبدیل به لکه روشنی روی پرده خواهد شد.

حال که مولد مرور نمی تواند عملًا ثبات کافی را تأمین نماید ونمی تواند دقیقاً در زمان درستی مرور را شروع کند، نمی توان انتظار داشت فرکانس سیگنال تحت نمایش کاملاً ثابت باشد. بنابراین احتیاج به سنکرون یا همزمانی بین مرور اسیلوسکپ و سیگنال ورودی می باشد، به طریقه معمولی با رساندن قسمتی از سیگنال ورودی به مولد مرور که به آن همزمانی داخلی گفته می شود همزمانی نمایش تأمین می گردد.

محدودیت استفاده لامپهای خلاء زیاد را در مولد مرور لازم می سازد. چنین مولد مروری با استفاده از مولتی ویبراتور با کوپلائر کاتد در شکل نشان داده شده است. فید بک مدار توسط مقاومت مشترک واقع در کاتد دو لامپ تهیه می شود. مقاومت 5R بار آند است. فرکانس ولتاژ دندانه اره ای با شبکه C1 R3 R4 تعیین می گردد. کنترل فرکانس با 4R فراهم شده است. ردیف فرکانس با تعویض خازنهای C1 و C2 به دست می آید. دامنه ولتاژ دندانه اره ای با مقاومت 6R تنظیم می شود.

اسیلوسکپ کامل

علاوه بر لامپ کاتدی (CRT) و قسمت های تشریح شده در بخش قبلی، کار عادی اسیلوسکپ اشعه کاتدی مستلزم اجزاء کمکی معینی است، عمل متقابل بین اجزاء با لامپ اشعه کاتدی با مراجعه به شکل (7-8) ملاحظه خواهد شد.

برای اینکه نقطه نورانی به قدر کافی روی پرده لامپ اشعه کاتدی انحراف داشته باشد بایستی به صفحات انحراف پتانسیلهای چندین ده یا چند صد ولت وارد شود، با اینکه ممکن است سیگنالهای مخصوص ورودی اسیلوسکپ ولتاژ کم داشته باشد، وظیفه تولید ولتاژ کافی برای انحراف توسط افقی (-X) و تقویت کننده عمودی (-Y) انجام می گیرد.

مقدار صحیح تقویت توسط تقویت کنند افقی با پتانسیومتر 2R انتخاب می شود. این موضوع در تقویت کننده عمودی با پتانسیومتر دیگری یعنی 1R صورت می گیرد،

تا پهنا و ارتفاع نمایش پرده به طور رضایت بخشی قابل کنترل باشد.

در مولد مرور تیراترون شکل(6-7) سیگنال همزمانی با پالس سنکرون Vsync ، از طریق تقویت کننده عمودی به صورت یک پالس مثبت به شبکه می رسد و این پالس سبب هدایت تیراترون در لحظه صحیح هر سیکل می گردد، به طوری که ولتاژ سیگنال ورودی از لحظه ای که سیکل خود را آغاز می کند شروع مرور نقطه نورانی روی پرده لامپ اشعه کاتدی در همان لحظه خواهد بود. اگر لازم باشد نقطه نورانی دو بار پرده را مرور می کندو سیکل نمایش داده خواهد شد و پالس همزمانی در هر ثانیه یک بار اعمال می گردد. پالسهاي همزمانی به جای قسمتی از سیگنال ورودی ممکن است از یک مدار خارجی به دست آید. این مدار همزمانی خارجی (external sync) گفته می شود و نحوه کار آن به همان صورت همزمانی داخلی است.

به دلیل تأخیر زمانی مربوط به دیودهای گازی و لامپهای با تخلیه گاز (تیراترون) تولید مرور با استفاده از آنها در مولداتی مرور، فرکانس مرور تا 20 یا 25 کیلو سیکل محدود می شود. به بیان دیگر بعضی اندازه گیری ها با اسیلوسکپ فرکانسهاي بسیار زیاد(تا چندین مگا سیکل (لازم دارد .

بیشتر اسیلوسکپ ها پیش بینی هایی برای اتصال مستقیم ولتاژ ورودی به صفحات انحراف دهنده و به جای تقویت کننده های ورودی دارند. این موضوع مخصوصاً انجام شده تا اینکه سیگنالهای با فرکانس بیشتر از پهناهی باند تقویت کننده عمودی قابل نمایش باشند.

مولد مرور TB با اعمال پالس سنکرون از: الف) منبع داخلی، ب) برق 50 سیکل شبکه یا پ) یک منبع خارجی توسط قرار دادن کلید سنکرون (SYNC.SWITCH) اسیلوسکوپ روی هر یک از آنها هماهنگ یا همزمان می شود. مقدار شدت پالس همزمانی یا سنکرون می تواند با پتانسیومتر R5 کنترل گردد.

تقویت کننده های به کار رفته در اسیلوسکوپ بایستی دارای باند پهن مختلف با پاسخ فرکانس خطی باشند تا اینکه شکل موجهای بدون اعوجاجیدر روی پرده لامپ اشعه کاتدی به دست آید.

یکی از تقویت کننده های باند پهن مناسب برای اسیلوسکپ در شکل (9-7) نشان داده شده است. این تقویت کننده یک تقویت کننده کوپلائر R5 با استفاده از لامپ پنتود با شبکه زیاد و باند پهن می باشد. سیم پیچ فرکانس رادیویی RFC به صورت سری با مقاومت بار R4 آند برای گسترش پهناهی باند در جهت فرکانسهاي بالاتر اتصال یافته است. برای فرکانسهاي پایین تر این موضوع توسط شبکه R5 واقع در آند انجام می گيرد.

ولتاژ واردہ به تقویت کننده عمودی با پتانسیومتر ورودی R1 کنترل می شود و امپدانس ورودی اسیلوسکپ را تعیین می کند. این امپدانس کمتر از 500 کیلو اهم نیست. اگر امپدانس ورودی اسیلوسکپ زیاد باشد تقویت کننده جریانی نمی کشد و برای این منظور یک شبکه بایاس سرخود مشکل از R2C2 در مدار کاتد قرار داده است. تقویت کننده دارای تقویت بدون اعوجاجی با ردیف فرکانس 50-30 سیکل تا 10-30 کیلو سیکل و بهره ای در حدود 100 است، برای پهنهای باند بیشتر از مقدار یاد شده بهره تقویت کاهش می یابد.

تقویت کننده های کوپلاژ RC مورد استفاده در اسیلوسکپ های موجود پهنهای باندی از 50 سیکل تا 20 مگا سیکل دارند. تقویت کننده های لامپ T.W در دستگاههای اندازه گیری مخصوص تا پهنهای باند چند صد مگا سیکل به کار می روند.

اسیلوسکپ اشعه کاتدی

C1-1(30-70)

یکی از متداول ترین اسیلوسکپ های اسیلوسکپ C1-1 می باشد. در این اسیلوسکپ از یک لامپ اشعه کاتدی با پرده 125 میلی متری استفاده شده است. حساسیب انحراف عمودی آن 0/25 سانتی متر بر میلی ولت و حساسیت انحراف افقی آن 4/5 سانتی متر بر میلی ولت می باشد. بهره تقویت کننده عمودی 1800 و بهره تقویت کننده افقی آن 35 است.

امپدانس ورودی تقویت کننده عمودی 2 مگا اهم و کاپاسیتانس آن 30 پیکوفاراد است. ردیفهای فرکانس مولد مرور با نوسان آزاد 2-7 ، 7-30 ، 30-130 ، 130-500 سیکل و 0/5-2 ، 2-7 ، 7-25 و 50 - 25 کیلو سیکل است.

تضییف کننده پله ای ورودی با مقاومت و خازن ساخته شده است و با کلید انتخاب تضییف 0، 20 و 40 دسی بل را تهیه می کند.

سیگنال ورودی از طریق تضییف کننده ابتداء به تقویت کننده عمودی وارد می شود و از آنجا به تقویت کننده پوش - پول خروجی و سپس به صفحات انحراف عمودی لامپ اشعه کاتدی می رود.

مولد مرور به کار رفته در اسیلوسکپ C1-1 از لامپ تیراترون ساخته شده است. بانده های مختلف فرکانس مولد مرور با تعویض خازن انجام می گیرد. فرکانس مرور در هر باند فرکانس می تواندبا یک پتانسیومتر اصلی کنترل شود.

تقویت کننده عمودی می تواند با محل شکل موج تحت نمایش (همزمانی داخلی)، و یا از طریق برق متناوب 50 سیکل (همzman با برق) و یا از طریق یکی منبع خارجی (همzmanی خارجی) همزمان شود، همزمانی مختلف را می توان با کلید

سنکرون انتخاب نمود.

ولتیز مرور به تقویت کننده افقی و سپس به تقویت کننده پوش - پول خروجی آن می رود. با تغییر ولتاژ های تحریک لامپهای پوش - پول محل نقطه نورانی در طول محور افقی (کنترل تغییر مکان عمودی) نیز تغییر نماید.

این اسیلوسکپ دارای اتصالاتی برای وارد نمودن مستقیم سیگنال ورودی به صفحات انحراف افقی و عمودی می باشد.

نمایش دادن پالس

اسیلوسکپ معمولی با مرور نوسان آزاد(تکراری) برای نمایش پدیده های پالس حتی پالس با کیفیت پایین با مشکل مواجه می شود. در بعضی از مدارات الکترونیک پالسهایی به کار می روند که مدت دوام آنها بسیار کوتاه (کمتو از چند میکرو ثانیه) و میزان تکرار سریع (صدها برابر بزرگتر) دارند. حال اگر مدت دوام یک پالس فقط چند صدم زمان مرور اسیلوسکپ باشد این پالس به صورت یک نوک تیز روی پرده کمی ظاهر شده و برای ارزیابی یا مطالعه اطلاعات چندانی را به دست نخواهد داد.

بنابراین باید پهنهای تصویر با به کار بردن فرکانس مروری چندی برابر میزان تکرار پالس زیاد شود. در این وضعیت هم اثر اشعه روی پرده در طول منحنی پالس به صورت تک ضربه یا اینکه در طول خط افقی اثر چندین ضربه را خواهد داشت و به هر حال تصویر پالس نیز برای مطالعه یا عکس برداری غیر واضح خواهد بود.

در عوض از نوعی مدار به نام مرور تریگر در اسیلوسکپ برای نمایش دادن پالس استفاده می شود. مرور تریگر برای مطالعه پالسهایی با دوام کوتاه و هم جریانهای گذرا با فواصل زمانی نا منظم به طور یکسان رضایت بخش است.

در اسیلوسکپ با مرور تریگر در غیاب پالس تحت نمایش، مرور قطع و در حال تریگر می باشد یعنی با ورود یک پالس مناسب مرور افقی اسیلوسکپ شروع می شود. پالس تریگر ممکن است به دو صورت یا از یک منبع داخلی یا از پدیده تحت مطالعه گرفته شده و به مولد مرور وارد شود. در حقیقت مولد مرور توسط پالس تریگر یک ولتاژ دهنده اره ای به صفحات عمودی اعمال می نماید. در زمان T1 (7-10 اشعه، مرور رو به جلو را انجام میدهد و در زمان T3 اشعه Tts برگشت می کند. درست در لحظه ایکه مولد از کار می ایستد تا زمان T3 به حال توقف می ماند تا اینکه پالس تریگر بعدی وارد شود. مجموع T1,T2,T3 برابر با است که آن را تناوب (زمان) مرور با تریگر می نامند.

حال نحوه کار مولد مرور تریگر با تفصیل بیشتری مورد مطالعه قرار میگیرد.

همانطور که ترکیب مدار شکل(7-11) نشان میدهد این مدار با مدار مرور آزاد تفاوتی ندارد بجز اینکه لامپ مدار تا یک پالس تریگر نرسد به کار نمی افتد. وقتی که مدار در وضعیت ساکن(بدون سیگنال) قرار دارد بایاس مثبتی از طریق 3به شبکه لامپ وارد شده و لامپ در حال هدایت است، خازن 2به علت مقاومت کم لامپ در حال هدایت عملاً تخلیه شده است. درست در لحظه ای که سیگنال مورد نظر به صفحات عمودی اسیلوسکپ وارد می شود یک تریگر مربع شکل منفي هم از طریق شبکه دیفرانشیتور متشكل از خازن و مقاومت کم R1C1 به شبکه لامپ اعمال می گردد. دامنه پالس تریگر به اندازه ای است که لامپ رابه نقطه قطع می برد. همچنان که لامپ قطع شد خازن 2az طریق مقاومت R2 شارژ می شود و با از بین رفتن پالس تریگر مجدداً لامپ شروع به هدایت کرده و خازن 2C سریعاً تخلیه می شود ولتاژ دندانه اره ای تهیه شده به صفحات افقی اسیلوسکپ می رود. ولتاژ دندانه اره ای پالس برای حرکت اشعه در طول یک مرور کافی است. بدیهی است که مدت دوام پالس تریگر باید برابر با زمان مرور باشد. مسئله مهم دیگر در مورد پالس تریگر این است که پالس باید فقط برای شروع نوسان مولد مرور به کار رود و هیچ گونه اثری در کار مدار مرور نداشته باشد.

اسیلوسکپ اشعه کاتدی

C1-5(SI-1)

اسیلوسکپ اشعه کاتدی C1-5 (S1-1) برای مشاهده پدیده های پالس با مدت دوامی از 0/1 تا 3000 میکروثانیه و پدیده های گذرا با میزان تکرار بالاتر از یک مگا سیکل در نظر گرفته شده است.

لامپ اشعه کاتدی آن دارای حساسیت عمودی 25 میلی متر بر 0/3 ولت برای باند پهن (10 مگا سیکل) و 25 میلی متر بر 0/1 ولت برای باند باریک (0/5 مگا سیکل) است. امپدانس ورودی آن تقریباً 0/5 مگا اهم و کاپاسیتانس ورودی حدود 50 پیکو فاراد می باشد. حساسیت افقی لامپ 25 میلی متر بر 0/3 ولت و امپدانس ورودی تقویت کننده افقی آن تقریباً 80 کیلو اهم است.

اسیلوسکپ دو نوع مرور آماده می کند:

*مرور تریگر با ردیفهای زمانی ثابت 1، 2، 5، 10، 30، 100، 300، 1000 و 3000 میکرو ثانیه با ابعاد مطالعه (40 تا 60 میلی متر) برای پدیده های پالس.

*مرور نوسان آزاد با 9 باند فرکانس که می تواند از 20 سیکل تا 200 کیلو سیکل به طور مداوم تغییر می کند.

طرح طبقاتی اسیلوسکپ در شکل(7-12) نشان داده شده است. تضعیف لغزنده ATT

پله ای ورودی نوع RC بوده و جمعاً تضعیف 40 دسی بل را به صورت قابل

انتخاب در سه مرحله 10 دسي بل با کمک کلید به وجود مي آورد، سیگنال از طریق تضعیف کننده به تقویت کننده عمودی می رود.

تقویت کننده عمودی مشکل از یک طبق کاتد فالوور CF1، یک خط تاخیر DL، یک طبقه معکوس کننده فاز PIT و طبقه پوش - پول PP می باشد کاتد فالوور CF1 به خط تاخیر سیم پیج و خازن DL متصل شده و سیگنال هنگام عبور از آن از نظر زمانی 0/2 میکرو ثانیه تاخیر پیدا می کند، ولتاژ ظاهر شده در آندهای طبقه پوش - پول PP به صورت فاز مخالف به صفحات انحراف عمودی لامپ اشعه کاتدی وارد می شود.

وظایف تقویت کننده همزمانی و تقویت کننده افقی همان طور که از نام این طبقات ملاحظه می شود معلوم است. مولد مرور از یک مولتی ویبراتور تشکیل شده است. ولتاژ دندانه اره ای تولید شده با مولتی ویبراتور از طریق یک کلید به مدار کاتد فالوور CF2 می رود و سپس از طریق معکوس کننده فاز PI2 به صفحات انحراف افقی لامپ اشعه کاتدی اعمال می گردد، باندهای فرکانس مرور با تعویض خازنهایی صورت می گیرد. در فاصله هر باند فرکانس مرور می تواند به طور پیوسته تنظیم شود. معکوس کننده فاز PT2 ولتاژ دندانه اره ای وارد به صفحات افقی را به طور متقاضی تامین می کند.

در طبقه مرور TM یک مولد علامت گذاری زمان TIME - MARKET که نقاط کوچکی را برای تنظیم زمان مرور اسیلوسکپ تولید می کند وجود دارد. این مولد از یک نوسان ساز، شش مدار هماهنگ برای تطبیق فرکانسهاي موج سینوسی با تناسب 0/05، 0/2، 1، 20 و 100 میکرو ثانیه و یک کلید به منظور قرار دادن هماهنگها در مدار تشکیل شده است. ولتاژ تولید شده توسط مولد علامت گذار به کاتد لامپ اشعه کاتدی وارد می شود و به موجب آن اشعه روشنی تصویر را برای این فرکانس تغییر میدهد و نقاط کوچک روشنی روی مرور تولید می نماید. اشاره می شود به کمک وضعیت های کلید علامت گذار زمان و شمارش تعداد علامات به سهولت می توان دوام پالس تحت مطالعه را تعیین نمود.

دامنه سیگنال تحت نمایش می تواند با مقایسه آن به کمک یک شکل موج ولتاژ آزمایش 50 VOLTAGE (TEST VOLTAGE) سیکل که توسط یک تئبیت کننده مناسب در اسیلوسکپ تهیه می گردد اندازه گیری شود.

اکنون نحوه کار با اسیلوسکپ C1-5 شرح داده می شود. ابتدا کلید روشن و خاموش اصلی اسیلوسکپ روی "ON" قرار میگیرد. دستگاه پس از دو تا سه دقیقه گرم شده و نقطه نورانی روی پرده از نظر روشنایی (به طوریکه ملایم روشن و به وضوح نمایان باشد) و تمرکز آن تا آنجا که ممکن است با ابعاد کوچک

تنظیم می شود و سپس با کنترل های تغییر مکان افقی (X-SHIFT) و تغییر مکان عمودی (Y-SHIFT) نقطه نورانی در مرکز پرده قرار می گیرد.

حال نوع مرور، فرکانس یا مدت آن نوع همزمانی و قرار گرفتن تضعیف کننده ورودی، انتخاب می شوند، تمام این پارامترهای با نوع اندازه گیری و مقدار پدیده تحت مطالعه تعیین می گردد.

برای نمایش پدیده های پالس با دوام بیشتر از 3000 میکرو ثانیه، مرور تریگر انتخاب می گردد. برای پدیده های تناوبی با جریانات با دوام زیر 3000 میکرو ثانیه مرور نوسان آزاد انتخاب می شود. مرور مورد نظر با کلید "TIME-BASE" قابل انتخاب است.

سرعت مرور(ردیف زمان) طوری انتخاب خواهد شد که تمام پالس یا سیکل کامل سیگنال بتواند نمایش داده شود و تصویر حاصل قسمت بزرگی از پرده را اشغال نماید. سرعت مرور زیاد تصویر را در جهت افقی بیشتر باز یا گسترش می کند.

در مورد نمایش پدیده های پالس کلید ردیف زمان "TIME RANGE" از نظر زمانی در حدود دوام پالس تحت نمایش گذارده می شود با مرور نوسان آزاد ردیف فرکانسهای لازم با کلید باند فرکانس انتخاب شده و تنظیم دقیق فرکانس در حال رویت تصویر روی پرده با کنترل "FREQ. FINE" به دست می آید.

همزمانی وقتی با قسمتی از خود سیگنال انجام می شود که کلید "SYNC" روی همزمانی داخلی قرار گیرد، بنابراین اگر سیگنال ورودی نتواند همزمان شود، پالسهای همزمانی از یک منبع خارجی که به ترمینال "INPUT-X" متصل می گردد و با قرار دادن کلید "SYNC" روی وضعیت همزمانی خارجی به دست خواهد آمد. اگر سیگنال نمایشی مربوط به فرکانس برق شبکه است کلید "SYNC" روی وضعیت "MAINS" گذارده می شود.

حداکثر ولتاژی که باید به ورودی اسیلوسکوپ وارد شود 200 ولت است اگر ولتاژ ورودی معلوم نباشد تضعیف کننده ورودی روی (40 دسی بل) قرار می گیرد و کنترل "Y-AMP" تا هنگامی که ارتفاع تصویر روی پرده 20 تا 25 میلی متر نشده نظیم می گردد. اگر بتوان تصویر با ارتفاع کوچکتر به دست آورد کلید تضعیف کننده روی (20 دسی بل) یا (0 دسی بل) گذارده می شود.

بعضی اوقات اندازه گیری به کمک ولتاژ انحراف افقی از یکی منبع خارجی لازم است. بنابراین کلید انتخاب مرور در وضعیت "AMP" و کلید "SYNC" در وضعیت "EXT SYNC" گذارده خواهد شد و ولتاژ مرور بایستی به ترمینال "X" وارد شود و دامنه تصویر به کمک کنترل "SYNC" تنظیم می شود.

برای تعیین دامنه پالس تحت مطالعه، تضعیف کننده ورودی و کنترل "AMP" به طوری که بزرگی تصویر از 25 میلی متر تجاوز نکند تنظیم می شود ارتفاع از

روی درجه بندی پرده قرائت خواهد شد. اکنون کنترل "AMP." رها شده و تضعیف کننده ورودی در محل "CAL." قرار می‌گیرد و ولتاژ آزمایش به تقویت کننده عمودی وارد خواهد شد. این ولتاژ به طوری که ارتفاع آن با ارتفاع پالس تحت نمایش برابر شود تنظیم می‌گردد و از درجه بندی پتانسیومتر "AMP.CAL." قرائت می‌شود. پس دامنه سیگنال مورد نظر:

خواهد بود که در آن VC دامنه ولتاژ آزمایش به ولت و K میزان تنظیم پتانسیومتر می‌باشد.

وقتی فرکانس سیگنال مجھول خارج از پهناهی باند تقویت کننده قرار دارد ، این سیگنال مستقیماً به کمک ترمینالهای قرار داده شده در کنار اسیلوسکپ به صفحات انحراف عمودی لامپ اشعه کاتدی وارد می‌شود. معمولاً این ترمینالها با یک دو شاخت اتصال کوتاه شده اند حداقل مقدار این ولتاژ نباید از 200 ولت تجاوز کند و پالس همزمانی باید از منبع خارجی گرفته شود.
انتخاب باند پهن (10 مگا سیکل) و باند باریک (500 کیلو سیکل (برای اندازه گیری به کمک یک کلید کوچک واقع در کنار اسیلوسکپ فراهم می‌آید.

اسیلوسکپ های مخصوص گاهی اوقات مطالعه چگونگی تغییر دو کمیت الکتریکی مختلف نسبت به یکدیگر برای اندازه گیری های الکترونیک لازم است. برای مثال در آزمایش و مطالعه تقویت کننده های با شکل موجهای مختلف نمایش همزمان دو سیگنال ورودی و خروجی تقویت کننده با هم روی یک پرده اسیلوسکپ به منظور مقایسه آنها قابل توجه است زیرا می‌توان اعوجاج دامنه سیگنال خروجی را دقیقاً با سیگنال ورودی مشاهده نمود.

این مطالب توسط اسیلوسکپ های مخصوصی مانند اسیلوسکپ دو شعاعی (TWO-DIMENSIONAL OSCILLOSCOPE) و اسیلوسکپ با مرور دوتایی (DUAL-TRACE OSCILLOSCOPE) قابل اجرا است.

اسیلوسکپ دو شعاعی دارای یک لامپ اشعه کاتدی همراه با دو لوله پرتاب الکترون است. بنابراین از لامپ اشعه کاتدی این اسیلوسکپ دو شعاع الکترونی به دست می‌آید و دو سیستم مستقل انحراف افقی با دو جف صفحات انحراف این دو اشعه را در جهت افقی منحرف می‌نمایند. انحراف افقی دو شعاع هر دو لوله پرتاب الکترون به طور همزمان (یا جداگانه) با اعمال یک ولتاژ دندانه اره ای کنترل می‌شوند. کنترل انحراف عمودی دو اشعه جدا از هم می‌باشد و شکل موجها به صفحات انحراف عمودی جداگانه اعمال می‌گردند.

اسیلوسکپ با مرور دوتایی دارای یک لامپ اشعه کاتدی و یک لوله پرتاب

الکترون(مانند اسیلوسکپهای معمولی) و دو سیستم انحراف جداگانه است. اسیلوسکپ از طریق دو کanal سیگنالهای ورودی را به طور تناوبی به صفحات انحراف اعمال می نماید. بنابراین با مرور سرعت زیاد دو تصویر مختلف همزمان روی پرده مشاهده خواهند شد. دو کanal معمولاً با A و B علامت گذاری شده و دارای یک مدار کلید الکترونیکی برای هدایت به نوبت سیگنالهای قسمت مطالعه به صفحات انحراف عمودی است. هر دو کanal اسیلوسکپ شامل یک تضعیف کننده، یک مدار امیتر فالوور(کاتد فالوور)، یک پیش تقویت کننده و یک معکوس کننده فاز پوش - پول برای انتقال دادن سیگنالهای ورودی نامتقارن می باشد. معکوس کننده های فاز هر دو کanal به کلید الکترونیک که داری خط تاخیر دهنده و تقویت کننده انتهایی(اصلی) هست کوپلائر می شوند. خروجی تقویت کننده انتهایی به صفحات انحراف عمودی اعمال می گردد و در نتیجه اسیلوسکپ با مرور دوتایی دارای چهار حالت قابل انتخاب برای اندازه گیری می شود.

- حالت انتخاب کanal A و کanal B هر یک به انتهایی برای اندازه گیری جداگانه.
- حالت یک در میان بین دو کanal (ALTERNATE) که در پایان هر مرور دیگری شروع می شود.
- حالت شکسته (chop.) مثلا در فاصله زمانی یک مرور فرکانس آن از 500 کیلو سیکل به یک مگا سیکل تغییر می یابد.

حالت جمع و یا تفاضل کanalهای A و B به صورت A-B یا A+B در اسیلوسکپ با مرور دوتایی از دو مرور اصلی (A) و تاخیری (B) استفاده می شود. این دو مرور از دو مولد و یک مدار مقایسه ساخته شده که مرور A برای مطالعات معمولی به کارمی رود و مرور B برای باز کردن قسمت های شکل موج تحت نمایش به وسیله مرور A استفاده می شود.

تمرکز اشعه در اسیلوسکپ با مرور دوتایی دقیق تر از اسیلوسکپ دو شعاعی است، البته روشنایی تصویر این اسیلوسکپ به علت تناوب نمایش کمتر از اسیلوسکپ دو شعاعی می باشد. به هر حال اسیلوسکپ با مرور دوتایی به علت ساختمان ساده تر نسبتاً ارزان تر بوده و انجام کار بهتری را نشان می دهد.

طرح طبقاتی ساده یک اسیلوسکپ با مرور دوتایی در شکل (7-13) نمایش داده شده است. همانطور که ملاحظه می شود این اسیلوسکپ دارای دو کanal A و B برای ورود سیگنال است. کanalها هر یک شامل تضعیف کننده، پیش تقویت کننده و خط تاخیر دهنده متشکل از مدارهای با خازنها و سیم پیچهای زیاد برای تاخیر می باشد. مدار کلید الکترونیک در واقع یک تقویت کننده دیفرانسیل است که سیگنالهای ورودی دو کanal توسط کلید انتخاب مناسب در ورودی این طبقه را به حالت چهارگانه به تقویت کننده اصلی عمودی میدهد. پالسهای تریگر از طبقه پیش تقویت گرفته شده و از آنجا برای همزمانی سیگنالهای ورودی با مرور به مدار

مولد مرور می رود. ولتاژ دندانه اره ای مولد مرور به تقویت کننده اصلی افقی و از آنجا به صورت متقارن به صفحات افقی اعمال می شود. شکل (7-14) نمایش همزمان دو پالس در حالت های الف به طور جداگانه ب مجموع دو پالس و پ تفاضل آنها روی پرده اسیلوسکپ، نشان میدهد.

مرور تاخیری

اندازه گیری پدیده های پالس (یا ضربه ای) به روش‌های گوناگون و بدقت های مختلف انجام می گیرد. بیشتر اندازه گیری‌های مربوط به فاصله زمانی (TIME-INTERVAL) به کمک اسیلوسکپ های با مرور تاخیری نتیجه و دقت بهتری را به دست می دهد. مرور تاخیری از ترکیب دو مولد مرور ساخته می شود که نمایش مرور توسط دو مولد مرور صورت می گیرد. و به مولد مرور اولی مولد در حال تاخیر (مولد اصلی) و به دومی مولد تاخیری می گویند. مطابق شکل (7-15) شبی تولید شده توسط مولد در حال تاخیر با یک پالس تریگر در زمان t_1 شروع می شود. تا رسیدن یک تراز مقایسه کننده به نام تقسیم تاخیر (با شکل موج مستطیلی) این شبی امتداد می یابد. در زمان t_1 مولد در حال تاخیر می ایستد و مولد تاخیری دوم تازه شروع به کار می کند. بنابراین امکان دو ترکیب برای قرار گرفتن پالس تریگر در مولد تاخیری موجود است.

- مولد تاخیری فقط تا رسیدن ولتاژ تاخیر (شکل موج مستطیلی) از مقایسه کننده به طور خودکار موج دندانه اره ای طبق شکل 15(a)-7 می سازد که این ترکیب در مولدهای تاخیر زمان (THME- DELAY GENERATOR) به کار می رود. طول پالسهای مستطیلی شکل (تقسیم تاخیر) می تواند با استفاده از یک پتانسیومتر ساده در مدار کنترل شود.

- مولد تاخیری با یک پالس تریگر داخلی یا خارجی در زمان t_b بعد از t_1 طبق شکل 15(b) شروع به کار می کند. چنین ترکیبی در مولدهای تاخیر با تریگر (TREGGER- DELAY GENERATOR) به کار می رود.

حال دقت اندازه گیری پالس توسط مرور تاخیری مورد رسیدگی قرار می گیرد. هرگاه یک پالس منفرد برای تاخیر زمان از مبدأ t_0 اندازه گیری شود دکمه DELAY اسیلوسکپ تا موقعی که پالس در مرکز بوده قرار گیرد تنظیم، و سپس تاخیر زمان پالس محاسبه گردد. اگر مثلا زمان مرور اصلی انتخاب 10 میکرو ثانیه برای هر تقسیم روی پرده باشد و تاخیر تقسیم روی 215/6 تقسیم قرار گیرد تاخیر زمان پالس 15/62 میکرو ثانیه (برای دقت زمان مرور درصد (یا 62/2 میکرو ثانیه و دقت 1/9 میکرو ثانیه است.

اگر مبدأ پالس علامت گذار زمان همراه با پالس تحت اندازه گیری (با یک

اسیلوسکپ دوکاناله) به کار رود، دقت اساساً افزایش می‌یابد، مثلاً فرض کنید پالس مبداء در 50 ms میکرو ثانیه رخ می‌دهد. اگر زمان مرور در حال تاخیر 2 میکرو ثانیه در هر تقسیم قرار داده شود لامپ اشعه کاتدی اسیلوسکپ دو پالس جداگانه را با $1/6$ تقسیم نشان خواهد داد که پس از آن اختلاف قرایت $12/2$ میکرو ثانیه مربوط به دقت زمان مرور درصد به دست می‌آید که درصد مربوط به اثر غیر خطی بودن انحراف می‌باشد. این نتایج در مجموع اندازه گیری $62/2$ و دقت میکرو ثانیه را به دست میدهد. همان طور که ملاحظه می‌شود دقت اندازه گیری با قبل بهبود یافته است.

کاربردهای دیگر اسیلوسکپ

(الف) ترسیم مشخصه استاتیک لامپها

ترسیم منحنی‌های مشخصه لامپها (یا ترانزیستورها) به روش نقطه‌یابی کار مشکلی است و در بعضی حالات این ترسیم به کلی خارج از دسترس می‌شود. چون هرگاه مقادیر بزرگ ولتاژ یا جریان در مدار زیاد ادامه یابد لامپ (یا ترانزیستور) تحت آزمایش در اثر این ولتاژ یا جریان آسیب خواهد دید. بر عکس ترسیم منحنی‌های مشخصه لامپ به سادگی می‌تواند به کمک یک اسیلوسکپ انجام شود.

یک نمونه ساده برای به دست آوردن مشخصه انتقالی شبکه فرمان لامپ در شکل (7-16) نشان داده شده است. به شبکه فرمان لامپ تریود واقع در مدار یک ولتاژ متناوب دندانه اره ای و یک بایاس مستقیم منفی VS ، به طوریکه لامپ با زاویه هدایت 180° درجه کار کند می‌رسد. قسمتی از ولتاژ دندانه اره ای به عنوان مرور صفحات انحراف افقی اسیلوسکپ استفاده می‌شود، ولتاژ دو سر R یعنی مقاومت بار آند به صفحات انحراف عمودی اسیلوسکپ که تغییرات آن متناسب با جریان آند لامپ است اعمال می‌شود. در نتیجه نقطه نورانی روی پرده متناسب با ولتاژ دندانه اره ای شبکه فرمان در عرض پرده و متناسب با تغییرات جریان آند به طرف بالا یا پایین، منحنی مشخصه لامپ را ترسیم می‌نماید. این منحنی رابطه جریان آند به جریان شبکه را نشان می‌دهد که همان مشخصه استاتیک لامپ تریود می‌باشد.

برای به دست آوردن مشخصه آند لامپ ولتاژ بایاس فقط به شبکه فرمان وصل شده و ولتاژ دندانه اره ای به آند لامپ و صفحات انحراف افقی اسیلوسکپ وارد می‌شود.

(ب) ترسیم مشخصه اتصال PN

برای آزمایش مشخصه ولت - آمپر اتصال PN مدار ساده ای به کمک اسیلوسکپ در

شکل (7-17) نشان داده شده است، کریستالی Cr به عنوان یک یکسو کننده نیم موج عمل می نماید به ثانویه ترانسفورماتور کاہنده Tr متصل شده است. برای اینکه کریستال در نقطه اتصال PN صدمه نبیند جریان ولتاژ آن کوچک گرفته می شود. این موضوع برای هر اندازه گیری در مورد اتصالهای PN نیز باید رعایت گردد.

عبور جریان اتصال PN در دو سر مقاومت R افت ولتاژی تولید می کند که این ولتاژ طبق قانوناهم در هر لحظه مستقیماً متناسب با جریان مدار می باشد. ولتاژ دو سر مقاومت R به صفات انحراف عمودی (y) اسیلوسکپ CO و ولتاژ تغذیه دو سر اتصال PN به ترمینالهای صفات انحراف افقی (X) وارد می شوند. بنابراین مرور اشعه الکترونی روی پرده لامپ اسیلوسکپ به جریان اتصال PN یا افت ولتاژ دو سر اتصال بستگی دارد. به عبارت دیگر با تنظیم صحیح اسیلوسکپ مشخصه اتصال PN، یعنی شاخه رو به جلوی منحنی روی پرده نمایش داده خواهد شد.

نمایش شاخه معکوس منحنی مشخصه ولت - آمپر اتصال PN به کمک مدار نشان داده شده در شکل (7-18) انجام می گیرد. این مدار اساساً مشابه مدار قبل می باشد و اختلاف آن فقط در نوع ولتاژی است که به جای ولتاژ 36 ولت به اسیلوسکپ وارد می شود. صفات انحراف افقی اسیلوسکپ با ولتاژ دو سر مقاومت R2 شامل مقسم مقاومتی ولتاژ R1R2 تحریک می گردد. مقدار و شکل موج این ولتاژ به همان صورتی تغییر می کند که مقدار و شکل موج ولتاژ معکوس وارد به نقاط A و B تغییر می نماید. طبق شکل (7-18) ملاحظه می شود که صفات انحراف افقی (x) متناسب با تغییرات ولتاژ دو سر اتصال PN و صفات انحراف عمودی (y) متناسب با جریان معکوس اتصال تغییر می کند و شکل ترسیم شده منحنی مشخصه معکوس اتصال PN خواهد بود.

به علت اینکه ولتاژ معکوس کامل به چند درصد ولت می رسد و ممکن است به اسیلوسکپ خسارت وارد آورد از اعمال این ولتاژ به صفات انحراف اجتناب می شود.

دیود D نسبت به TD یعنی اتصال PN به صورت مخالف به مدار اتصال یافته است و عملاً وقتی جریان می کشد دیود D مدار را قطع می کند. زیرا عبور جریان رو به جلوی اتصال TD به علت افت ولتاژ قابل ملاحظه دو سر مقاومت R3 یعنی:

$$V=If \cdot R3$$

به اسیلوسکپ صدمه می زند If در معادله، جریان رو به جلوی اتصال PN است. پ (اسیلوسکپ به عنوان نشان دهنده نول به کار بردن اسیلوسکپ به عنوان نشان دهنده نول در پلهای جریان متناوب بسیار

متناسب است. زیرا حساسیت و امپدانس ورودی زیاد اسیلوسکپ دقت زیاد اندازه گیری را تامین می کند. مدار ساده شکل(19-7) اتصال اسیلوسکپ در یک پل کشوئی را به عنوان نشان دهنده نول نمایش می دهد. ولتاژ از طریق بازوی نشان دهنده پل به تقویت کننده عمودی و از آن پس به انحراف عمودی لامپ اشعه کاتدی اسیلوسکپ وارد می شود. وقتی پل به حالت تعادل ($Z1Z3=Z2Z4$) است ولتاژ دو سر بازوی نشان دهنده صفر بوده و مرور اشعه روی پرده به یک نقطه تبدیل می گردد. وقتی تعادل پل اختلاف پیدا می کند نقطه روی پرده به صورت یک خط عمودی ظاهر می شود.

نظر به اینکه اسیلوسکپ های دارای تقویت کننده های بھرہ زیاد هستند بنا بر این مشاهده نول توسط آنها دقیق تر از هر نوع دیگر نشان دهنده خواهد بود.

اندازه گیری مشخصه های فرکانس مداری برای به دست آوردن مشخصه های فرکانس به کمک اسیلوسکپ در شکل (7-20) نشان داده شده است. نوسان ساز OSC یک نوسان ساز مرور کننده فرکانس است که فرکانس آن به طور پیوسته متغیر میباشد و یا اشعه از طریق ردیف مورد نظر مرور می شود. کنترل فرکانس در بعضی نوسان سازها به صورت مکانیکی (یعنی با یک موتور) کار میکند و کنترل بعضی به طور کلی الکترونیکی است. یک نوع کنترل فرکانس نوسان ساز با اتصال یک لامپ راکتانس به صورت موازی به مدار هماهنگ نوسان ساز درست می شود. اثر لامپ راکتانس در مدار به یکی از دو حالت اندوکتیو یا کاپا سیتیو خواهد بود، از این رو لامپ راکتانس در مدار هماهنگ نوسان ساز ضریب القائی یا ظرفیت متغیری را تولید می کند. تغییرات راکتانس توسط وارد نمودن یک ولتاژ مدوله کننده به شبکه فرمان لامپ راکتانس به وجود می آید. در نتیجه سیگنال نوسان ساز فرکانس همراه با سیگنال مدوله کننده تغییر یا مرور دارد. ردیف تغییرات مرور سیگنال نوسان ساز با پارامترهای لامپ راکتانس در حالیکه سیگنال (با هر سیگنال مدوله شده فرکانس) ثابت می ماند تعیین می شود و این موضوع برای به دست آوردن مشخصه یا پاسخ فرکانس بسیار ضروریست.

با مراجعه به مدار شکل(20-7) نوسان ساز OSC با ولتاژ دندانه اره ای از طریق مولد مرور TB اسیلوسکپ مدوله می شود به طوری که فرکانس مرور نوسان ساز با حرکت نقطه نورانی روی پرده اسیلوسکپ همزمان است، پس محور افقی لامپ اشعه کاتدی به عنوان محور فرکانس عمل می کند.

از نوسان ساز OSC سیگنال مدوله شده فرکانس به دستگاه تحت آزمایش (یعنی یک تقویت کننده) که در آن بھرہ تقویت با فرکانس تغییر می کند می رسد. به همین دلیل دامنه سیگنال نیز در خروجی تقویت کننده با فرکانس تغییر می نماید، حال اگر

تغییرات خروجی تقویت کننده به صفحات عمودی اسیلوسکوپ اعمال شود مرور اشعه مشخصه فرکانس یا منحنی پاسخ تقویت کننده را نشان خواهد داد.

دو قسمت اضافی شکل(7-20) آشکار ساز D برای به دست آوردن یک مشخصه تنها دو مولد علامت گذار MG می باشد که در آن علامت هایی از یک فرکانس مشخص را به منحنی پاسخ نمایش داده شده در لامپ اشعه کاتدی تزریق می کند. مولد علامت گذار از ترکیب دو نوسان ساز کریستالی با فرکانس های اصلی به ترتیب ۵۱۰۰۰ مگا سیکل ساخته شده است. نوسان ساز از این فرکانسها و هارمونیکهای آن یک طیف فرکانس از ۱ تا ۲۰ مگا سیکل با فواصل ۱ مگا سیکلی به وجود می آورد.

طیف فرکانس به آشکار ساز می رود و در آن با فرکانس مرور کننده مخلوط می شود. وقتی که فرکانس مرور کننده با یک فرکانس مولد علامت گذار منطبق می شود در نتیجه طیش فرکانس کم دو علامت روی پرده ظاهر می گردد، علامتها مربوط به فرکانس هایی که با ۵ مگا سیکل زیاد می شوند دامنه بزرگتر دارند.

نوع دیگر دستگاه تولید فرکانس مرور برای تجزیه و تحلیل پاسخ فرکانس، مخلوط کردن خروجی های یک نوسان ساز مدوله کننده و یک نوسان ساز فرکانس ثابت است که کنترل فرکانس مرور آن مانند حالت قبل با موج دندانه اره ای انجام می گیرد. خروجی حاصل از مخلوط کننده را به تقویت کننده باند پهن داده و سیگنال فرکانس طیش پس از تقویت به تضعیف کننده ای با تضعیف ۰ و ۲۰ و ۴۰ دسی بل وارد می شود. خروجی دستگاه می تواند به صورت دائمی به کمک یک پتانسیومتر قبل از آن که به دستگاه تحت سنجش وارد شود تنظیم گردد.

- ۵

- ۶

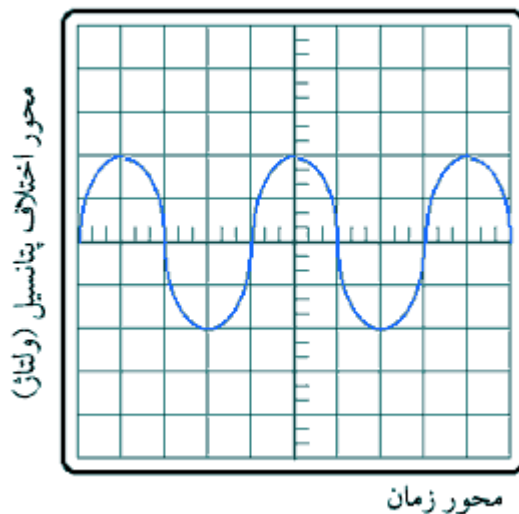
۷- اسیلوسکوپ (oscilloscope)

۸ لصولاً کلمه *oscilloscope* به معنی نوسان نما یا نوسان سنج است و این وسیله برای نمایش دوبعدی سیگنال های متغیر با زمان است. که محور افقی نمایش زمان و محور عمودی محور اختلاف ولتاژ بین دو نقطه از مدار است. پس اسیلوسکوپ فقط توانایی نمایش ولتاژ رو داره و وسیله ای صرفا برای اندازه گیری است و یک اسکوپ ایده آل نباید هیچ تاثیری بر روی سیگنال ورودی داشته باشه و فقط اون رو نمایش بده.

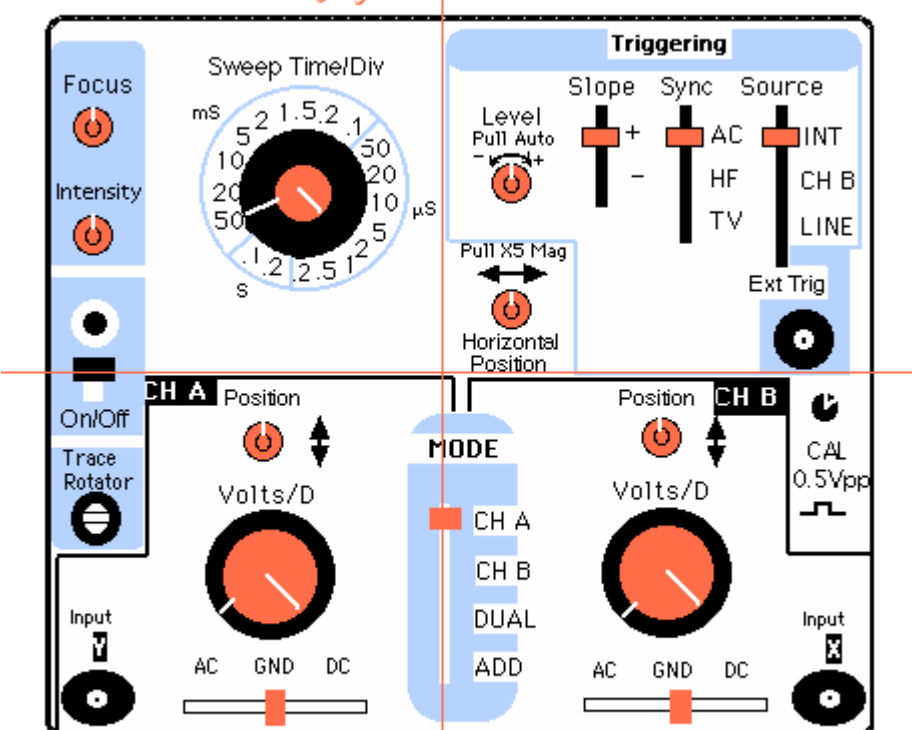
- تنظیمات پایه

اگرچه کلیدهای کنترلی اسکوپ های مختلف کمی با هم فرق می کنه ولی در مجموع در اسکوپ های آنالوگ یک سری کلید های اساسی وجود داره که اگرچه در ظاهر تفاوت هایی وجود داره ولی در نهایت وظیفه ای او نا در مدل های مختلف یکیه و در شکل زیر یکی از

ساده ترین مدل ها را رو می بینید. این شکل به چهار قسمت مختلف تقسیم شده که سه قسمت مهم اون نامگذاری شده که در زیر توضیح اون ها رو می بینید



۱-کنترل زمان



۳-کنترل ولتاژ کانال A

۲-کنترل ولتاژ کانال B

انتخاب و ضعیت عمودی (کلید MODE Vertical) در مرز مشترک قسمت 2 و 3

بسته به این که بخواهیم از کدام یک از ورودی های اسکوپ استفاده کنیم می تونیم کلید MODE را تنظیم کنیم که به ترتیب از بالا به پایین اسکوپ، روی صفحه نمایش، کلنال یک،

کانال دو، دو موج را همزمان و در وضعیت ADD، جمع ریاضی دو موج را نشان خواهد داد.

توجه 1: بعضی از اسکوپ ها بجای کلید DUAL دو کلید دیگر به نام های ALT و CHOP دارند که هر دوی اون ها هم دو موج رو همزمان نمایش می دن اما تفاوت ALT و CHOP در اینه که ALT یک دوره تناوب از یک موج رو به طور کامل و بسیار سریع نمایش میده و بعد موج کانال دیگه رو. اما این تغییر انقدر سریع انجام میشه که ما اون رو حس نمی کنیم. اما وضعیت CHOP به صورت انتخابی بریده هایی از یک موج و بریده هایی از یک موج دیگه رو هم زمان نشون میده که ممکنه شکل موج در فرکانس های پایین با نقطه هایی خالی نشون داده بشه.

توجه 2: (MODE X-Y) در بعضی از اسکوپ ها دکمه‌ی تغییر وضعیت به $X-Y$ در کنار همین دکمه‌های mode Vertical قرار داره و در بعضی در قسمت تریگر و برخی در قسمت های دیگه مثلاً کلید MODE (نه Vertical MODE) مثل چیزی که در بالا توضیح داده شد). اما چیزی که مهمه اینه که این وضعیت برای حذف بین دو کانال استفاده میشه و در واقع اونچه بر روی اسکوپ نشون داده میشه، مشخصه‌ی انتقالی بین دو نقطه است که محور عمودی معرف تغییرات کانال A و محور افقی نمایش تغییرات کانال B است.

کنترل زمان

همون طور که در شکل قسمت 1 می‌بینید صفحه نمایش (CRT) اسکوپ با واحدهایی مدرج شده که در مورد زمان برای پیدا کردن فرکانس موج استفاده می‌شه به این شکل که فرض کنیم یک موج به ورودی اسکوپ وارد شده (منبع اش می‌تونه مثلاً یک سیگنال ژنراتور یا یک ترانس باشه که توضیح داده خواهد شد) و ما می‌خواهیم فرکانس اش رو پیدا کنیم. اول باید سوییج Sweep time/Div رو به صورتی تنظیم کنیم که یک موج ثابت با حداقل یک دوره‌ی تناوب بر روی صفحه مشخص بشه، بعد از اون عددی رو که سوییج روی اونه در واحد اون قسمت ضرب کنیم و به این ترتیب دوره‌ی تناوب یا پریود موج به دست می‌یاد که با معکوس کردن اون می‌توانیم فرکانس اش رو به دست بیاریم. مثلاً فرض کنیم در مورد موج بالا اگه سوییج time/div (بخونید تایم دیویژن) روی عدد 5 در قسمت ms باشه، نشون می‌ده که هر واحد افقی ما 5 میلی ثانیه رو نشون می‌ده و از اون جایی که موج ما در یک دوره‌ی تناوب در امتداد 4 خونه قرار گرفته، پس 4 تا 5 میلی ثانیه که 20 میلی ثانیه (یا 0.02 ثانیه) است دوره‌ی تناوب این موجه و در نتیجه فرکانس اون $1/0.02$ یا پنجاه هرتزه که مثلاً می‌توانه خروجی یه ترانس از برق شهری باشه.

کنترل ولتاژ یا دامنه

کنترل دامنه یا روش خوندن دامنه ی موج دقیقاً مثل روش خوندن زمانه با این تفاوت که باید واحد های عمودی در Volt/Div (بخونید ولت دیویژن) ضرب بشه. مثلاً در مورد موج بالاگه بخواهیم ولتاژ P-P (پیک تو پیک یا از قله تا قله) رو اندازه بگیریم. با فرض اینکه Volt/Div بر روی عدد 1 باشه از قله تا قله ی موج ما 4 خونه رو اشغال کرده که ضربدر عدد یک، 4 ولت رو نشون میده. و این تنظیمات برای هر کانال ورودی باید به طور جداگانه انجام بشه و موج هر کانال باید بر اساس مقیاس خودش خونده بشه.

نکته‌ی مهم: در اکثر اسکوپ‌ها روی دستگیره‌های Volt/Div و Time/Div یه دستگیره‌ی کوچکتر وجود داره که برای کالیبره کردن اسکوپ استفاده میشه و ما همیشه باید قبل از تنظیم این سوییج‌ها این دستگیره‌ی کوچکتر رو تا انتهای در جهت عقربه‌های ساعت بچرخونیم در غیر اینصورت اندازه گیری‌های ما صحیح نخواهد بود.

انتخاب وضعیت‌های AC , GND , DC

این کلید سه حالته که معمولاً زیر Volt/Div قرار داره به ما امکان میده که نوع خروجی مون رو انتخاب کنیم به این صورا که اگر کلید در وضعیت AC قرار داشته باشه تنها مولفه‌ی AC سیگنال نمایش داده خواهد شد و مقدار DC یا آفست موج ما حذف خواهد شد. وضعیت GND ورودی ما را به زمین اتصال کوتاه می‌کند و امکان تنظیم عمودی سطح صفر رو به ما میده. و وضعیت DC موج رو دست نخورده و بدون تغییر به ما نشون می‌ده که این موج مقدار شامل DC و AC خواهد بود.

توجه: همیشه در ابتدای کار باید از تنظیم بودن وضعیت صفر اسکوپ مطمئن بشیم به این ترتیب که کلید رو در حالت GND قرار داده و با دستگیره‌های Position خط افقی را بر روی صفر قرار دهیم. اینکار را باید برای هر کانال به طور جداگانه باید انجام دهیم و برای تغییر وضعیت از یک کانال به کانال دیگه می‌توانیم از کلید MODE (که توضیح داده شد) استفاده کنیم.

نکته‌1: استفاده از وضعیت AC اگرچه می‌تونه باعث مسدود کردن مقدار DC موج بشه اما در فرکانس‌های پایین می‌تونه باعث اعوجاج و به هم ریختگی شکل موج بشه و دلیل این مسئله استفاده از خازن‌های ظرفیت بالایی است که برای حذف مقدار DC موج درون اسکوپ وجود داره.

نکته‌2: اگرچه استفاده از وضعیت AC، ممکنه مشکل مطرح شده در قسمت الف رو بوجود بیاره، اما استفاده‌ی مفید اون می‌تونه برای اندازه گیری ریپل‌های بسیار کوچک موجود بر روی ولتاژ‌های به ظاهر DC باشه. (چطوری؟)

نکته ۳: تنها مشکل وضعیت DC اینه که ممکنه مقدار DC موج، مزاحم اندازه گیری دقیق مقدار AC بشه.

اساسی ترین مسائل مربوط به اسکوپ رو بررسی کردیم ولی مطالب دیگه ای هم وجود داره که معمولا در استفاده های مقدماتی کمتر از اونا استفاده میشه مثل تریگر کردن اسکوپ با یک منبع خارجی (و کلا بخش Triggering) یا کالیبره کردن اسکوپ بوسیله ای سیگنال مربعی یی که اسکوپ در اختیارمون قرار میده و یا مسایل نسبتا گسترده در رابطه با پروب ها جهت اندازه گیری های بسیار دقیق و ... که در یک پست دیگه بعد از معرفی مولتی متر دیجیتال و سیگنال ژنراتور، اونا رو خواهم نوشت ولی تنظیم برخی از کلیدهای بخش Triggering رو (بدون دلیل) جهت اندازه گیری صحیح در قسمت راهنمای قدم به قدم نوشته ام.

راهنمای قدم به قدم استفاده از اسکوپ
قدم اول: روشن کردن اسکوپ!

قدم دوم: اطمینان از کالیبره بودن اسکوپ
کلید های Gain Variable Control رو که به صورت کلیدی کوچکتر بر روی کلیدهای وجود داره تا انتهای در جهت عقربه های ساعت بچرخونید.

قدم سوم: تنظیم زمین اسکوپ

کلید سه حالته ای AC GND DC رو برای هر دو کانال در حالت GND قرار بدید و با دستگیره ای Position محور عمودی رو روی صفر قرار بدید. بوسیله ای کلیدهای Focus و Intensity به ترتیب شدت نور و نازکی موج رو تنظیم کنید و بعد از تنظیم زمین کلیدها رو در وضعیت DC قرار بدید.

قدم چهارم: وصل مدار به اسکوپ
اگر از یک کانال می خواهید استفاده کنید با یک پروب و اگه از دو کانال با دو پروب باید مدار رو به اسکوپ وصل کنید. به این صورت که سوکت پروب رو به ورودی کانال مورد

نظر وصل کنید و سر دیگه‌ی اون رو به دو سر المان یا قسمتی از مدار که می‌خواهد تغییرات ولتاژ اون رو بررسی کنید، وصل کنید

دم پنجم: پایداری موج

اگه موجی که روی صفحه نشون داده میشه یا سریع حرکت میکنه، دستگیره‌ی Trigger Level رو در حالت وسط قرار بدید و یه کم Time/Div رو هم تغییر بدید تا شکل موج واضحتر بشه و اگه موجتون ثابت بود به قدم بعد برد.

قدم ششم: انتخاب منبع

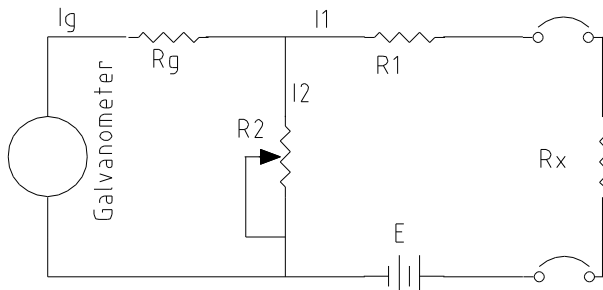
کانال مورد نظرتون رو برای نمایش روی صفحه بوسیله‌ی کلید چند حالته‌ی Vertical Mode انتخاب کنید. اگه هر دو کانال رو هم زمان می‌خواهید ببینید یکی از حالتهای ALT یا CHOP رو انتخاب کنید و اگه مجموع دو موج مورد نظرتونه وضعیت ADD رو انتخاب کنید.

قدم هفتم: اندازه گیری مشخصات موج

تعداد خونه‌های افقی رو که در امتداد یک دوره‌ی تناوب قرار گرفته اند در واحد Time/Div ضرب کنید و عدد به دست اومده رو معکوس کنید تا فرکانس موج بدست بیاد. برای بدست اوردن دامنه‌ی سیگنال، تعداد خونه‌های افقی رو از قله تا پایین ترین نقطه‌ی موج بشمارید و در Volt/Div اون کانال ضرب کنید. عدد به دست اومده اندازه‌ی دامنه‌ی P-P موج خواهد بود.

اگه مدارتون رو درست بسته باشید و اسکوپ تون هم سالم باشه باید بعد از این مراحل یک شکل موج ثابت رو بر روی اسکوپ ایجاد کرده باشید و مشخصات اون رو هم اندازه گیری کرده باشید. در غیر اینصورت باید دنبال پیدا کردن اشکال مدارتون یا اطمینان از سالم بودن اسکوپ باشید.

اهم متر سری



R_1 = مقاومت محدود کننده

جريان

R_2 = مقاومت تنظیم صفر

R_g = مقاومت داخلی گالوانومتر

R_x = مقاومت مجهول

E = ولتاژ باطری تغذیه اهم
متر

R_h = مقاومت نیم اشل

وقتی $R_x = 0$ باشد ماکزیمم جریان از گالوانومتر عبور میکند. در این حال میباشد R_2 را طوری تنظیم کرد تا گالوانومتر جریان ماکزیمم اشل را نشان دهد ، این نقطه صفر اهم متر است که میباشد آنرا با 0Ω مشخص کرد. و چنانچه $\infty = R_x$ باشد هیچ جریانی از گالوانومتر عبور نمیکند ، و عقربه موقعیت جریان صفر گالوانومتر را نشان دهد ، این نقطه ∞ اهم متر است که میباشد آنرا با $\infty \Omega$ مشخص کرد. نقاط بین این دو حد را میباشد با استفاده از مقاومتهای استاندارد و معروف درجه بندی کنیم (مشاهده خواهد شد که درجه بندی این نوع اهم متر غیر خطی است).

مهمنترین ایراد این نوع اهم متر کاهش دامنه ولتاژ باطری تغذیه دستگاه است ، برای جبران این مشکل از مقاومت R_2 در موقع استفاده از دستگاه و برای تنظیم مقدار صفر اهم متر استفاده میکنند. از آنجا که حاصل موازی R_2 و R_g (بدلیل کوچک بودن R_g) در مقایسه با R_1 کوچک است ، تغییر R_2 اثر چنانی بر کالیبراسیون ندارد، اما اگر بخواهیم این مشکل را با تنظیم R_1 حل کنیم ، کالیبراسیون دستگاه بهم خواهد خورد.

عموماً طراحی اهم مترها بر اساس مقاومت R_x که جریان نیم اشل را در گالوانومتر ایجاد میکند انجام میدهند. در این صورت مقاومت دو سر اهم متر را مقاومت نیم اشل نامیده و آنرا با R_h نشان میدهند. بنابراین با داشتن جریان ماکزیمم انحراف گالوانومتر و ولتاژ باطری E میتوان مقادیر مقاومتهای R_1 و R_2 را بدست آورد.

چون با قرار دادن R_h در دوسر اهم متر نصف جریان ماکزیمم انحراف و یا حالت اتصال کوتاه از گالوانومتر میگذرد ، بنابراین مقاومت مدار اهم متر در حالت اتصال کوتاه میباشد میباشد با R_h برابر باشد.

نتیجتاً :

$$I_{1\max} = \frac{E}{R_1 + \frac{R_2 R_g}{R_2 + R_g}}$$

$$\frac{I_{1\max}}{2} = I_h = \frac{E}{2(R_1 + \frac{R_2 R_g}{R_2 + R_g})} = \frac{E}{(R_1 + \frac{R_2 R_g}{R_2 + R_g}) + R_h}$$

$$R_h = R_1 + \frac{R_2 R_g}{R_2 + R_g}$$

بنابراین کل مقاومت مدار در حالت اتصال مقاومت نیم اشل به اهم متر مساوی $2R_h$ است
نتیجتاً در این حالت جریان باطری مساویست با :

$$I_h = \frac{E}{2 R_h}$$

بنابراین جریان ماکزیمم انحراف دو برابر جریان فوق است

$$I_{1\max} = 2 I_h = \frac{E}{R_h}$$

و جریان مقاومت شنت با گالوانومتر یا R_2 مساویست با :

$$I_2 = I_{1\max} - I_{g\max}$$

در این حالت ولتاژ دوسر مقاومت شنت برابر با ولتاژ دوسر گالوانومتر و مساویست با :

$$V_g = I_2 R_2 = I_{g\max} R_g$$

$$R_2 = \frac{I_{g\max} R_g}{I_2} = \frac{I_{g\max} R_g}{I_{1\max} - I_{g\max}} \quad \frac{R_h}{R_h} = \frac{I_{g\max} R_g R_h}{I_{1\max} R_h - I_{g\max} R_h} = \frac{I_{g\max} R_g R_h}{E - I_{g\max} R_h}$$

$$R_1 = R_h - \frac{R_2 R_g}{R_2 + R_g} \Rightarrow R_1 = R_h - \frac{\frac{I_{g\max} R_g R_h}{E - I_{g\max} R_h} R_g}{\frac{I_{g\max} R_g R_h}{E - I_{g\max} R_h} + R_g} = R_h - \frac{I_{g\max} R_g R_h}{E}$$

اگر دو سر اهم متر را به مقاومت مجهول R_x متصل کنیم ذر این حالت جریان مدار اهم متر مساویست با :

$$I_{1_x} = \frac{E}{R_h + R_x}$$

در اتصال کوتاه :

$$I_{1_{\max}} = \frac{E}{R_h}$$

نسبت دو جریان فوق بهم مساویست با :

$$\frac{I_{1_x}}{I_{1_{\max}}} = \frac{R_h}{R_h + R_x}$$

نتیجتاً

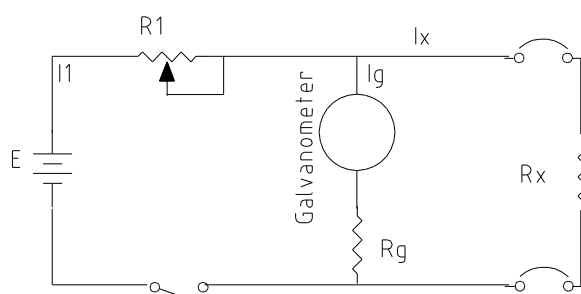
$$I_{1_x} = \frac{R_h}{R_h + R_x} I_{1_{\max}}$$

با توجه به رابطه فوق روشن است که رابطه جریان I_{1_x} و مقاومت مجهول R_x رابطه ای غیر خطی میباشد.

و اندازه گیری مقاومتهای مجهول کوچکتر از مقاومت نیم اشل با وضوح بهتر و دقت اندازه گیری بهتری همراه است (خطای کمتر و یا دقت بهتر بدلیل انجام اندازه گیری در نزدیکی انحراف ماکزیمم گالوانومتر میباشد.).

با توجه به اطلاعات فوق این اهم متر برای اندازه گیری مقاومتهای کوچک مناسب است.

اهم متر شانت یا موازی



مقاومت محدود کننده جریان $= R_1$

مقاومت داخلی گالوانومتر $= R_g$

مقاومت مجهول $= R_x$

ولتاژ باطری تغذیه اهم متر $= E$

مقاومت نیم اشل $= R_h$

اهم متر موازی

وقتی $R_x = \infty$ باشد ماکزیمم جریان از گالوانومتر عبور نمیکند. در این حال میباشد I_1 را طوری تنظیم کرد تا گالوانومتر جریان ماکزیمم اشل را نشان دهد ، این نقطه ∞ اهم متر است که میباشد آنرا با $\Omega \infty$ مشخص کرد.

وقتی $R_x = 0$ دو سر اهم متر و نتیجتاً گالوانومتر اتصال کوتاه شده و هیچ جریانی از گالوانومتر عبور نمیکند. و عقربه موقعیت جریان صفر گالوانومتر را نشان دهد ، این نقطه ۰ اهم متر است که میبایستی آنرا با 0Ω مشخص کرد.

نقاط بین این دو حد را میبایستی با استفاده از مقاومتهای استاندارد و معلوم درجه بندی کنیم (مشاهده خواهد شد که این درجه بندی غیر خطی است)

مهمترین ایراد این نوع اهم متر علاوه بر کاهش دامنه ولتاژ باطری تغذیه دستگاه است بر قرار بودن جریان در موقع عدم اتصال مقاومت به ورودی دستگاه است که برای رفع این عیب و یا ایراد از یک کلید برای قطع جریان و یا قطع منبع در موقع بی کاری استفاده شده. ، برای جبران افت ولتاژ باطری از مقاومت R_1 در موقع استفاده از دستگاه و برای تنظیم مقدار بینهایت اهم متر استفاده میکنند.

طراحی این نوع اهم متر را هم با توجه به مقاومت R_x که جریان نیم اشل را در گالوانومتر ایجاد میکند انجام میدهند. در این صورت مقاومت دو سر اهم متر را مقاومت نیم اشل نامیده و آنرا با R_h نشان میدهند. بنابراین در این حالت نیز با داشتن جریان ماکزیمم انحراف گالوانومتر و ولتاژ باطری E میتوان مقدار مقاومت R_1 را بدست آورد. چون با قرار دادن R_h در دوسر اهم متر میبایستی نصف جریان ماکزیمم انحراف و یا حالت اتصال باز از گالوانومتر عبور کند ، بنابراین مقاومت گالوانومتر R_g بایستی با R_h برابر باشد:

$$R_h = R_g$$

بنابراین جریان ماکزیمم انحراف مساویست با

$$I_{g_{\max}} = \frac{E}{R_1 + R_g} = \frac{E}{R_1 + R_h}$$

از سوی دیگر :

$$I_{1x} = \frac{E}{R_1 + \frac{R_x R_g}{R_x + R_g}}$$

نسبت دو جریان فوق بهم مساویست با :

$$\frac{I_{1_x}}{I_{g_{\max}}} = \frac{\frac{E}{R_1 + \frac{R_x R_h}{R_x + R_h}}}{\frac{E}{R_1 + R_h}} = \frac{1}{[R_1(R_x + R_h) + R_x R_h]}$$

نتیجتاً

$$I_{1_x} = \frac{1}{2[R_1(R_x + R_h) + R_x R_h]} I_{g_{\max}}$$

با توجه به رابطه فوق روشن است که رابطه جریان I_{1_x} و مقاومت مجهول R_x رابطه ای غیر خطی میباشد. و اندازه گیری مقاومتهای مجهول بزرگتر از مقاومت نیم اشل بدلیل انجام اندازه گیری در نزدیکی انحراف ماکزیمم گالوانومتر با دقت اندازه گیری بهتری همراه است. با توجه به اطلاعات فوق این اهم متر برای اندازه گیری مقاومتهای بزرگ مناسب است.

صفحه 220 کتاب ساونی

وسایل اندازه گیری با آهن نرم گردان (Moving Iron)

$$T_d = \text{گشتاور منحرف کننده}$$

$$T_d d\theta = \text{کار مکانیکی انجام شده}$$

اگر جریان اولیه I ، اندوکتانس اولیه L و θ معرف انحراف عقربه باشد. چنانچه جریان باندازه dI افزایش یابد، باعث تغییر اندوکتانس باندازه dL و زاویه انحراف عقربه باندازه $d\theta$ میشود.

از سوئی برای ایجاد dI یک ولتاژ باندازه e باقیستی موجود باشد.

$$e = \frac{d}{dt} (L I) = I \frac{dL}{dt} + L \frac{dI}{dt}$$

$$= e I dt = I^2 dL + I L dI$$

$$= \text{انرژی الکتریکی ذخیره شده قبل از چرخش عقربه} = \frac{1}{2} I^2 L$$

$$= \text{انرژی الکتریکی ذخیره شده بعد از چرخش عقربه} = \frac{1}{2} (I + dI)^2 (L + dL)$$

$$\text{تغییر در انرژی الکتریکی} = \frac{1}{2} (I^2 + 2I dI + dI^2) (L + dL) - \frac{1}{2} I^2 L \text{ ذخیره شده}$$

$$= \frac{1}{2} LI^2 + \frac{1}{2} LdI^2 + LIdI + \frac{1}{2} I^2 dL + \frac{1}{2} dLdI^2 + IdLdI - \frac{1}{2} I^2 L$$

اگر از مقادیر کوچک و درجه دوم صرفنظر شود.

$$\text{تغییر در انرژی الکتریکی ذخیره شده} = LIdI + \frac{1}{2} I^2 dL$$

$$\text{کار مکانیکی انجام شده} + \text{تغییر در انرژی الکتریکی ذخیره شده} = \text{انرژی الکتریکی اعمال شده}$$

$$I^2 dL + ILdI = LIdI + \frac{1}{2} I^2 dL + T_d d\theta$$

$$T_d d\theta = \frac{1}{2} I^2 dL$$

$$T_d = \frac{1}{2} I^2 \frac{dL}{d\theta}$$

$$T_C = K_f \theta$$

$$K_f \theta = \frac{1}{2} I^2 \frac{dL}{d\theta}$$

$$\theta = \frac{1}{2} \frac{I^2}{K_f} \frac{dL}{d\theta} \quad \text{Equation 1}$$

با توجه به رابطه فوق ، انحراف عقربه دستگاه متناسب با محدود جریان اعمال شده به کویل و یا سیم پیچ وسیله اندازه گیری میباشد ، از سوی دیگر درجه بندی غیر یکنواخت و بستگی به مقدار و نوع جریان و همچنین تغییرات $\frac{dL}{d\theta}$ باشد وسیله دارای پاسخی محدودی میباشد .

واضح است که جهت گشتاور تولید شده و یا چرخش عقربه ربطی به جهت جریان و یا متناب و مستقیم بودن آن نداشته و عقربه فقط به یکطرف منحرف میشود .

چنانچه بخواهیم دستگاه دارای درجه بندی خطی و نتیجتاً $I = C \theta$ بشود. با استفاده

از روابط فوق میتوان تغییرات $\frac{dL}{d\theta}$ را محاسبه نمود، بنابراین:

با استفاده از 1 و قرار دادن رابطه Equation 1

$$\frac{dL}{d\theta} = \frac{2 K_f \theta}{I^2}$$

خواهیم داشت

$$\frac{dL}{d\theta} = \frac{2 K_f \theta}{C^2 \theta^2}$$

نتیجتاً

$$\theta \frac{dL}{d\theta} = cte. = \frac{2K_f}{C^2}$$

چون این موضوع در $\theta = 0$ میسر نیست، در عمل درجه بندی تا حدود یک دهم جریان نامی خطی سازی میشود. توضیح آخر اینکه : با مختصر تغییری در تعداد و سطح مقطع سیم، سیم پیچ دستگاه میتوان توانائی سنجش جریان این وسیله را بدون نیاز به مقاومت شنت توسعه داد. برای توسعه حدود سنجش ولتاژ میبایستی از مقاومت سری استفاده نمود.

وسایل اندازه گیری الکترودینامیکی (Electrodynamiс) صفحه 235 کتاب ساونی

جريان لحظه ای سیم پیچ ثابت $i_1 =$

جريان لحظه ای سیم پیچ متحرک $i_2 =$

اندوکتانس خودی سیم پیچ ثابت $L_1 =$

اندوکتانس خودی سیم پیچ متحرک $L_2 =$

اندوکتانس متفاصل مابین سیم پیچ ثابت و متحرک $M =$

فلاکس لینکیج سیم پیچ ثابت $\lambda_1 = L_1 i_1 + M i_2$

فلاکس لینکیج سیم پیچ متحرک $\lambda_2 = L_2 i_2 + M i_1$

$$e_1 = \frac{d\lambda_1}{dt}$$

$$e_2 = \frac{d\lambda_2}{dt}$$

$$\begin{aligned}
 & \text{انرژی الکتریکی ورودی} = e_1 i_1 dt + e_2 i_2 dt = i_1 d\lambda_1 + i_2 d\lambda_2 \\
 & \text{انرژی الکتریکی ورودی} = i_1 d(L_1 i_1 + M i_2) + i_2 d(L_2 i_2 + M i_1) \\
 & = i_1 L_1 di_1 + i_1^2 dL_1 + i_1 i_2 dM + i_1 M di_2 + \\
 & \quad i_2 L_2 di_2 + i_2^2 dL_2 + i_1 i_2 dM + i_2 M di_1 \\
 & \text{انرژی ذخیره شده در میدان} = \frac{1}{2} i_1^2 L_1 + \frac{1}{2} i_2^2 L_2 + i_1 i_1 M \quad \text{Equation 1}
 \end{aligned}$$

مغناطیسی

$$\begin{aligned}
 & \text{تغییر در انرژی ذخیره} = d\left(\frac{1}{2} i_1^2 L_1 + \frac{1}{2} i_2^2 L_2 + i_1 i_1 M\right) \quad \text{Equation 2} \\
 & \quad \text{شده} \\
 & = i_1 L_1 di_1 + \frac{1}{2} i_1^2 dL_1 + i_2 L_2 di_2 + \frac{1}{2} i_2^2 dL_2 + \\
 & \quad i_1 M di_2 + i_2 M di_1 + i_1 i_2 dM
 \end{aligned}$$

$$\begin{aligned}
 & \text{کار مکانیکی انجام شده} + \text{تغییر در انرژی الکتریکی ذخیره شده} = \text{انرژی الکتریکی} \\
 & \text{اعمال شده}
 \end{aligned}$$

$$\begin{aligned}
 & \text{کار} = (\text{Equation 1}) - (\text{Equation 2}) = \frac{1}{2} i_1^2 dL_1 + \frac{1}{2} i_2^2 dL_2 + i_1 i_2 dM \\
 & \text{مکانیکی انجام شده}
 \end{aligned}$$

$$\begin{aligned}
 & dL_1 = dL_2 = 0 \quad \text{چون اندوکتانس‌های خودی ثابت هستند بنابراین} \\
 & \text{بنابراین} \quad \text{کار} = T_d d\theta = i_1 i_2 dM \\
 & \text{مکانیکی انجام شده}
 \end{aligned}$$

$$T_d = i_1 i_2 \frac{dM}{d\theta}$$

$$T_C = K_f \theta$$

$$K_f \theta = i_1 i_2 \frac{dM}{d\theta}$$

$$\theta = \frac{i_1 i_2}{K_f} \frac{dM}{d\theta}$$

چنانچه از این دستگاه اندازه گیری برای سنجش جریانهای مستقیم استفاده شود، جریانهای کویل های ثابت و متحرک مستقیم خواهند بود، در این صورت در شرایط پایدار انحراف عقربه از رابطه زیر تبعیت میکند:

$$\theta = \frac{I_1 I_2}{K_f} \frac{dM}{d\theta}$$

اگر از این دستگاه اندازه گیری برای سنجش جریانهای متناوب استفاده شود، جریانهای کویل های ثابت و متحرک متناوب خواهند بود، در این صورت در شرایط پایدار و در صورتیکه دستگاه دارای دمپینگ مناسب باشد، انحراف عقربه متناسب با مقدار متوسط حاصلضرب جریانها در یک سیکل کامل نوسان آنها خواهد بود : رابطه زیر :

$$\theta = \frac{1}{K_f} \frac{dM}{d\theta} \frac{1}{T} \int_0^T i_1 i_2 dt$$

چنانچه جریانها سینوسی باشند:

$$i_1 = I_{1m} \sin \omega t \quad \& \quad i_2 = I_{2m} \sin(\omega t - \varphi)$$

$$\theta = \frac{1}{K_f} \frac{dM}{d\theta} I_{1m} I_{2m} \frac{1}{T} \int_0^T \sin \omega t \sin(\omega t - \varphi) dt$$

$$\theta = \frac{1}{K_f} \frac{dM}{d\theta} I_{1m} I_{2m} \frac{1}{2\pi} \int_0^{2\pi} \sin \omega t \sin(\omega t - \varphi) d\omega t$$

$$\theta = \frac{1}{K_f} \frac{I_{1m} I_{2m}}{2} \frac{dM}{d\theta} \cos \varphi$$

$$\theta = \frac{1}{K_f} \frac{I_{1m} I_{2m}}{\sqrt{2} \sqrt{2}} \frac{dM}{d\theta} \cos \varphi = \frac{1}{K_f} \frac{dM}{d\theta} I_{1rms} I_{2rms} \cos \varphi$$

اگر از این وسیله بعنوان آمپر متر استفاده شود، چون
است:

$$\theta = \frac{i^2}{K_f} \frac{dM}{d\theta}$$

و اگر از این وسیله بعنوان ولتمتر استفاده شود، چون

$$i_1 = i_2 = \frac{v}{Z} \quad \& \quad \varphi = 0$$

$$\theta = \frac{v^2}{K_f Z^2} \frac{dM}{d\theta}$$

وسایل اندازه گیری الکترواستاتیکی (Electrostatic) صفحه 254 کتاب ساوونی

گشتاور محرک در این وسایل بوسیله میدان الکتریکی ناشی از صفحات بار دار تولید میشود.
این گونه وسایل فقط قادر به اندازه گیری ولتاژ هستند.

$$کشتور منحرف کنده = T_d$$

$$کار مکانیکی انجام شده = T_d * d\theta$$

$$i_c = \frac{dq}{dt} = \frac{d}{dt}(Cv) = C \frac{dv}{dt} + v \frac{dC}{dt}$$

$$انرژی الکتریکی اعمال شده = v i_c dt = v^2 dc + CV dV$$

$$انرژی الکتریکی ذخیره شده قبل از چرخش عقربه = \frac{1}{2} C v^2$$

$$انرژی الکترویکی ذخیره شده بعد از چرخش عقربه = \frac{1}{2} (v + dv)^2 (C + dC)$$

$$تغییر در انرژی الکتریکی = \frac{1}{2} (v^2 + 2v dv + dv^2) (C + dC) - \frac{1}{2} C v^2$$

ذخیره شده

$$= \frac{1}{2} Cv^2 + \frac{1}{2} Cdv^2 + Cvdv + \frac{1}{2} v^2 dC + \frac{1}{2} dCd v^2 + vdCd v - \frac{1}{2} C v^2$$

اگر از مقادیر کوچک و درجه دوم صرفنظر شود.

$$\text{تغییر در انرژی الکتریکی ذخیره شده} = Cvdv + \frac{1}{2}v^2dC$$

کار مکانیکی انجام شده + تغییر در انرژی الکتریکی ذخیره شده = انرژی الکتریکی اعمال شده

$$v^2dC + Cvdv = Cvdv + \frac{1}{2}v^2dC + T_d d\theta$$

$$T_d d\theta = \frac{1}{2}v^2dC$$

$$T_d = \frac{1}{2}v^2 \frac{dC}{d\theta}$$

$$T_C = K_f \theta$$

$$K_f \theta = \frac{1}{2}v^2 \frac{dC}{d\theta}$$

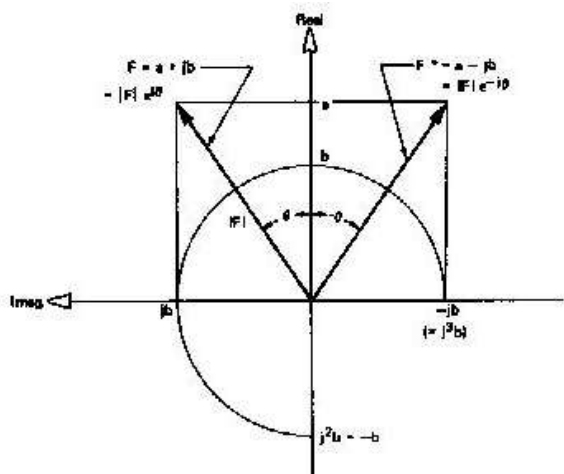
$$\theta = \frac{1}{2} \frac{v^2}{K_f} \frac{dC}{d\theta}$$

Equation 1

با توجه به رابطه فوق ، انحراف عقربه دستگاه متناسب با مذور و لتأثر اعمال شده به وسیله اندازه گیری میباشد ، از سوی دیگر درجه بندی غیر یکنواخت و بستگی به مقدار و نوع جریان و همچنین تغییرات $\frac{dC}{d\theta} = cte$ باشد وسیله دارای پاسخی مذبوری میباشد .

واضح است که جهت گشتاور تولید شده و یا چرخش عقربه ربطی به جهت جریان و یا متنابع و مستقیم بودن آن نداشته و عقربه فقط به یکطرف منحرف میشود .

نمایش برداری شکل موجهای سینوسی Waveforms

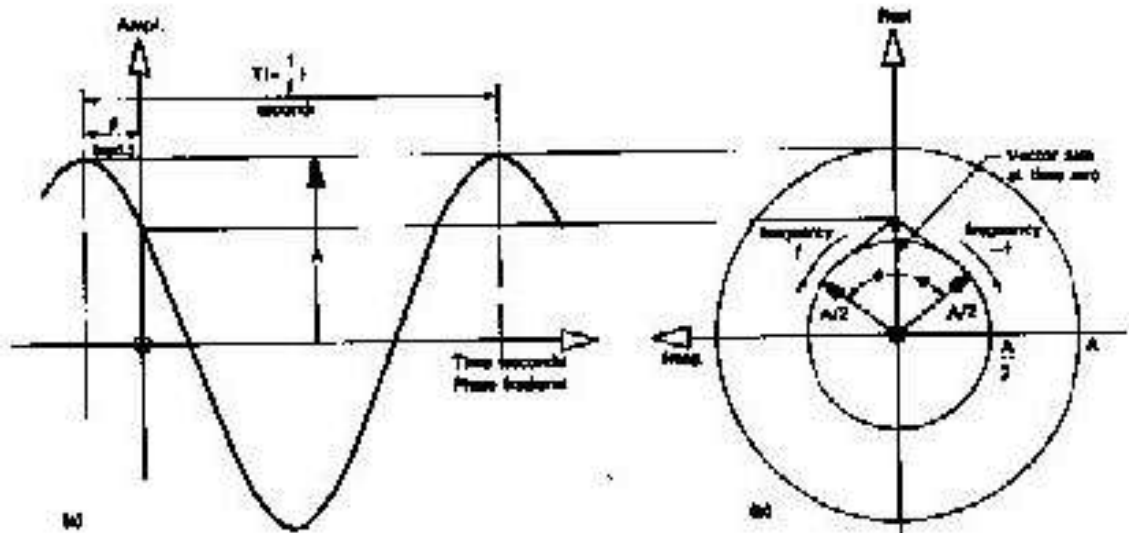


Complex notation for a 2-dimentional vector

$$a = |F| \cos \theta, \quad b = |F| \sin \theta, \quad |F| = \sqrt{a^2 + b^2}, \quad \theta = \tan^{-1} \left(\frac{a}{b} \right)$$

$$F = |F| (\cos \theta + j \sin \theta), \quad \cos \theta + j \sin \theta = e^{j\theta}, \quad F = |F| e^{j\theta}, \quad \theta = \omega t + \varphi,$$

$$\theta = 2 \pi f t + \varphi$$

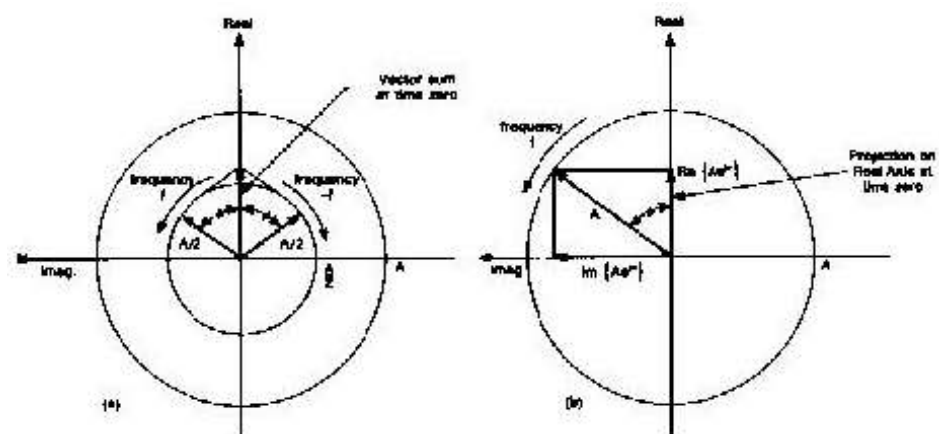
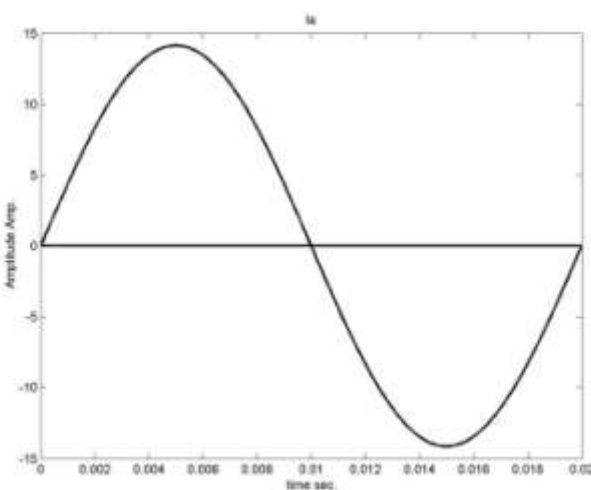
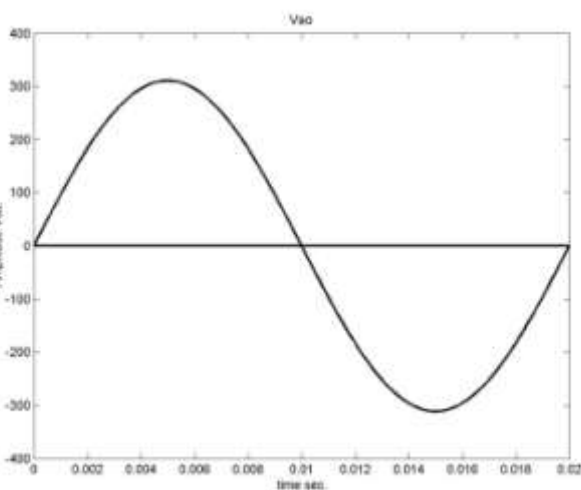


Sinusoidal Waveform

$$A \cos (2 \pi f t + \varphi)$$

sum of contra-rotating vectors

$$A \cos \theta = \frac{A}{2} (e^{j\theta} + e^{-j\theta})$$

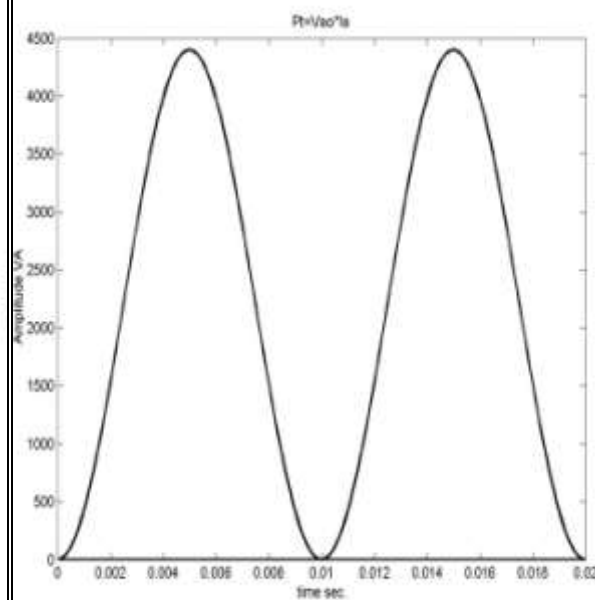


Equivalence Of Vector Sum And Projection On Real Axis

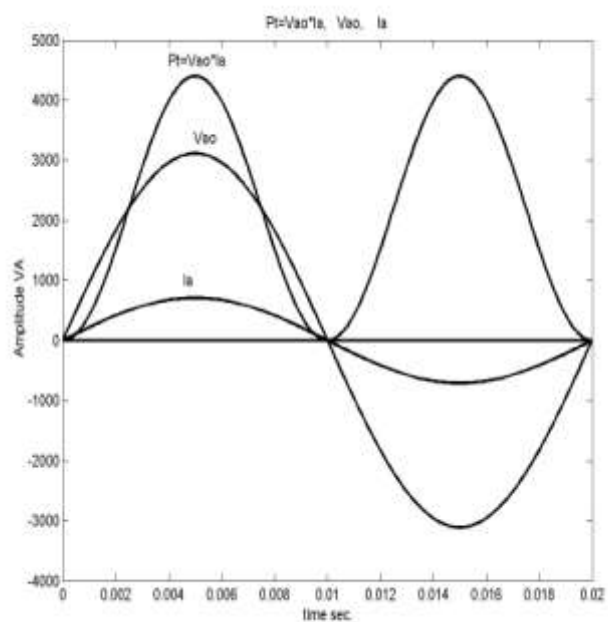
اندازه گیری توان و انرژی

9 - جریان متناوب یکفاز:

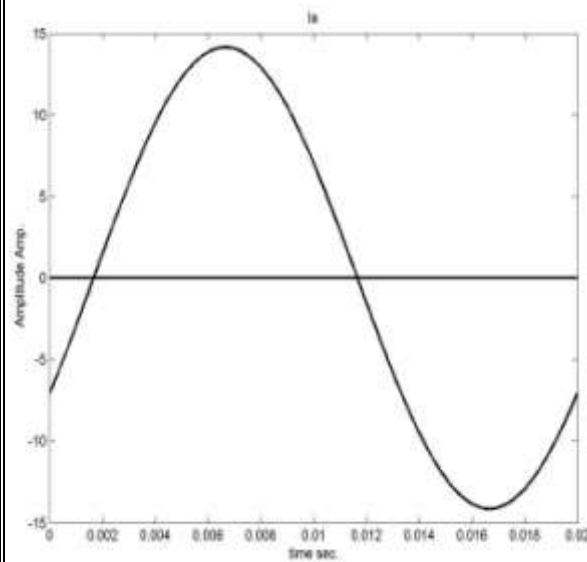
شکل موج ولتاژ با مقدار موثر 220 ولت



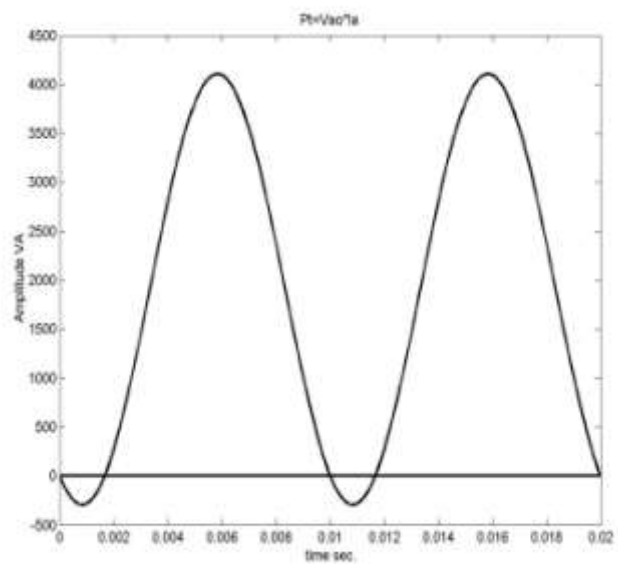
شکل موج جریان با مقدار موثر 10 آمپر



شکل موج توان لحظه‌ای با
مقدار متوسط 2200 وات



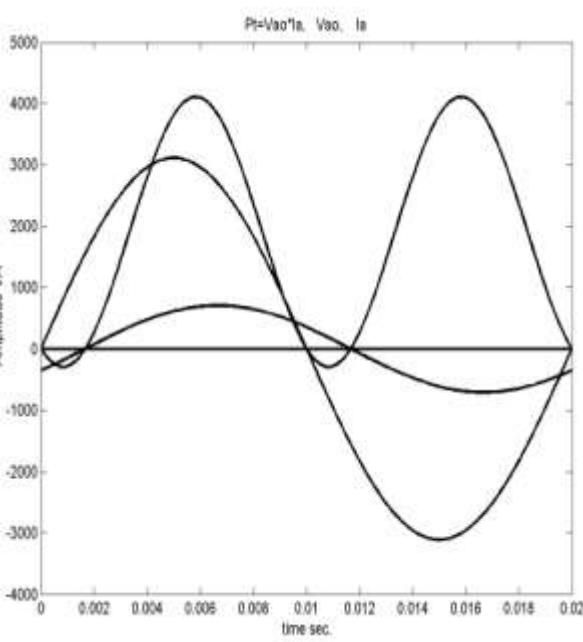
شکل موجهای ولتاژ جریان و توان لحظه‌ای
(برای وضوح بیشتر جریان و ولتاژ در ضریبی
ضرب شده اند)



شکل موج جریان با مقدار موثر 10 آمپر و زاویه
فاز تاخیری 30 دجه نسبت به شکل موج ولتاژ

شکل موج توان لحظه‌ای با مقدار
متوسط $0.866 * 2200$ وات

فوق



$$P_{ave} = P = V_{rms} I_{rms} \cos \varphi$$

$$Q_{ave} = Q = V_{rms} I_{rms} \sin \varphi$$

$$S_{ave} = S = V_{rms} I_{rms}$$

M فایل مطلب برای رسم شکل موجهای فوق

% elecmes1n.m

% Version: 3.0

% Description: Single-Phase Power

% Revision: 2.0

% Author: Hossein Tabatabaei-Yazdi

% Univ. of Ferdowsi

% Created: 23/1/1381

```
clf
```

```
% Parameter values:
```

```
sq2=sqrt(2);
```

```
Vm=sq2*220;
```

```
Im=sq2*10;
```

```
% 30 degree c=pi/6;
```

```
%30 degree phase angle fi=c;
```

```
%2*pi*f w=2*pi*50.;
```

```
t=0:.0001:.02;
```

```
Vao=Vm*sin(w*t);
```

```
Voo=0.0*sin(w*t);
```

```
loo=0.0*sin(w*t);
```

```
Poo=0.0*sin(w*t);
```

```
plot(t,Vao,'-k',t,Voo,'k','LineWidth',2)
```

```
title('Vao')
```

```
xlabel(' time sec.')
```

```
ylabel(' Amplitude Volt.')
```

```
pause
```

```

Ia=Im*sin(w*t-fi);

plot(t,Ia,'-k',t,Ioo,'-k','LineWidth',2)

title('Ia')

xlabel(' time sec.')

ylabel(' Amplitude Amp.')

pause

plot(t,Vao.*Ia,'-k',t,Poo,'k','LineWidth',2)

title('Pt=Vao*Ia')

xlabel(' time sec.')

ylabel(' Amplitude VA')

pause

plot(t,Vao.*Ia,'-k',t,Poo,'k',t,10*Vao,'-k',t,Voo,'k',t,50*Ia,'-k','LineWidth',2)

title('Pt=Vao*Ia, Vao, Ia')

xlabel(' time sec.')

ylabel(' Amplitude VA')

clear

```

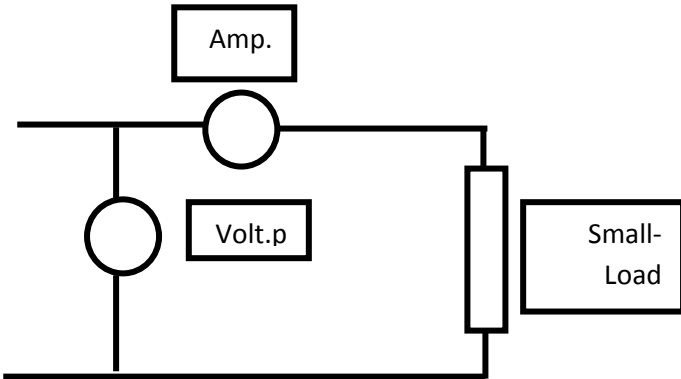
10 جریان مستقیم:

$$P_{dc} = P = V_{dc} I_{dc}$$

11 اندازه گیری توان ظاهری بوسیله ولت متر و آمپر متر:

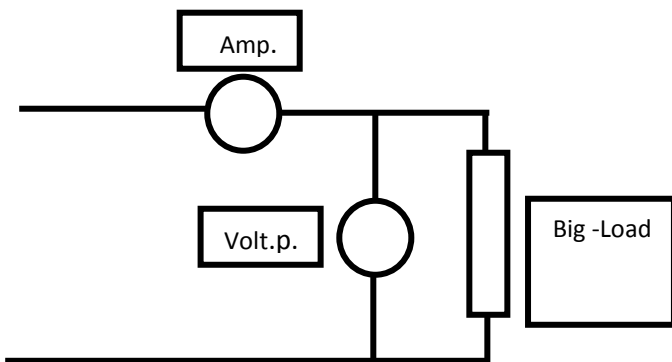
الف - برای بارهای کوچک (جریان بار کم) :

$$P = V_{rms} I_{rms} + V_{amp} I_{rms} = V_{rms} I_{rms} + P_{amp}$$



ب - برای بارهای کوچک (جریان بار زیاد) :

$$P = V_{rms} I_{rms} + V_{rms} I_{volt} = V_{rms} I_{rms} + P_{volt}$$



12- اندازه گیری توان حقیقی و یا توان متوسط بوسیله دستگاههای اندازه گیری الکترودینامیکی و یا دستگاههای اندازه گیری فرودینامیکی

در حالت جریان مستقیم :

$$\theta = \frac{I_1 I_2}{K_f} \frac{dM}{d\theta}$$

در حالت جریان متناوب تکفاز :

$$\theta = \frac{1}{K_f} \frac{dM}{d\theta} \frac{1}{T} \int_0^T i_1 i_2 dt$$

$$i_1 = I_{1m} \sin \omega t \quad \& \quad i_2 = I_{2m} \sin(\omega t - \varphi)$$

$$\theta = \frac{1}{K_f} \frac{dM}{d\theta} I_{1m} I_{2m} \frac{1}{T} \int_0^T \sin \omega t \sin(\omega t - \varphi) dt$$

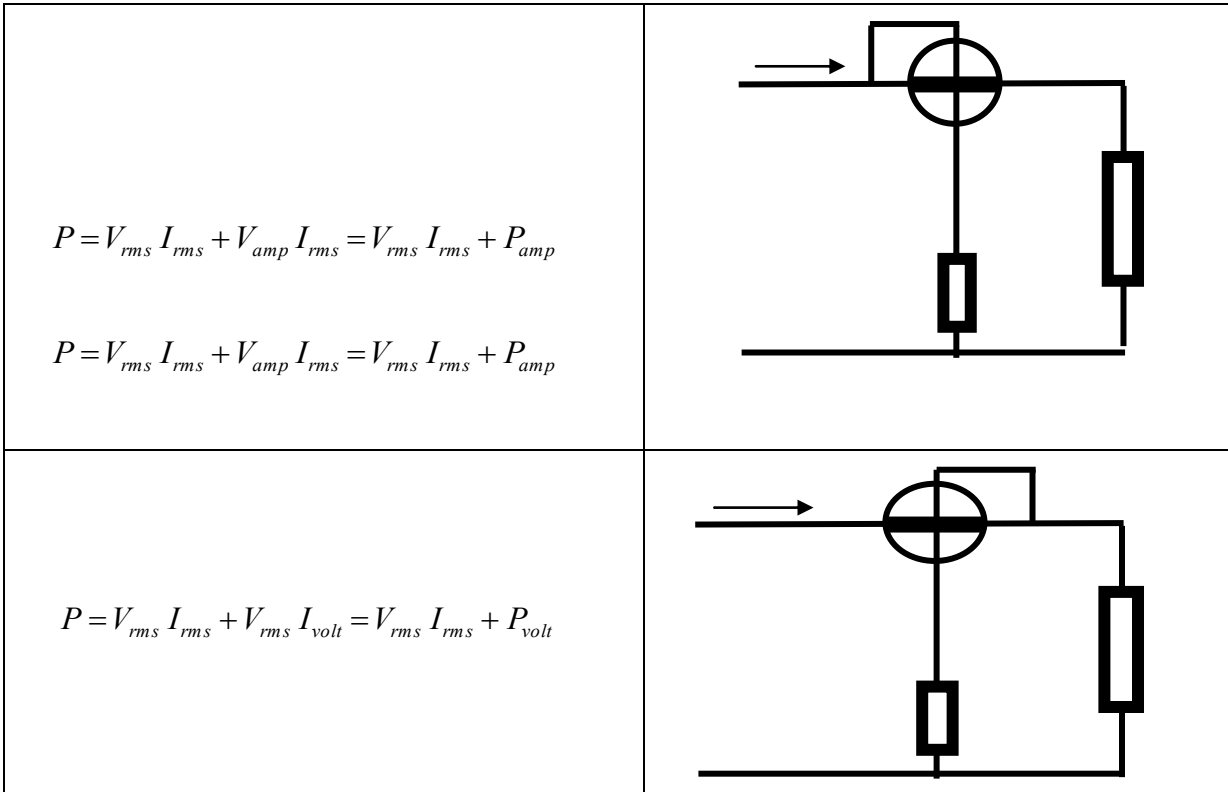
$$\theta = \frac{1}{K_f} \frac{dM}{d\theta} I_{1m} I_{2m} \frac{1}{2\pi} \int_0^{2\pi} \sin \omega t \sin(\omega t - \varphi) d\omega t$$

$$\sin \alpha \sin \beta = \frac{1}{2} [\cos(\alpha - \beta) - \cos(\alpha + \beta)]$$

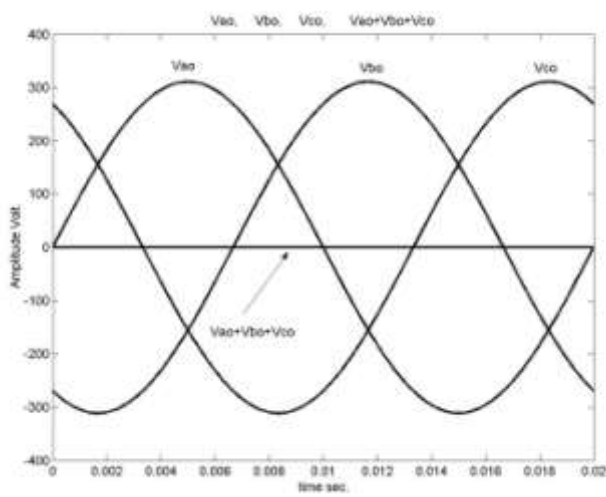
$$\theta = \frac{1}{K_f} \frac{dM}{d\theta} I_{1m} I_{2m} \frac{1}{2\pi} \int_0^{2\pi} [\cos \varphi - \cos(2\omega t - \varphi)] d\omega t$$

$$\theta = \frac{1}{K_f} \frac{I_{1m} I_{2m}}{2} \frac{dM}{d\theta} \cos \varphi$$

$$\theta = \frac{1}{K_f} \frac{I_{1m} I_{2m}}{\sqrt{2} \sqrt{2}} \frac{dM}{d\theta} \cos \varphi = \frac{1}{K_f} \frac{dM}{d\theta} I_{1rms} I_{2rms} \cos \varphi$$



13 جریانها و ولتاژهای متناوب سه فاز:
ولتاژهای فازی و خطی و روابط تغییرات لحظه‌ای آنها با زمان

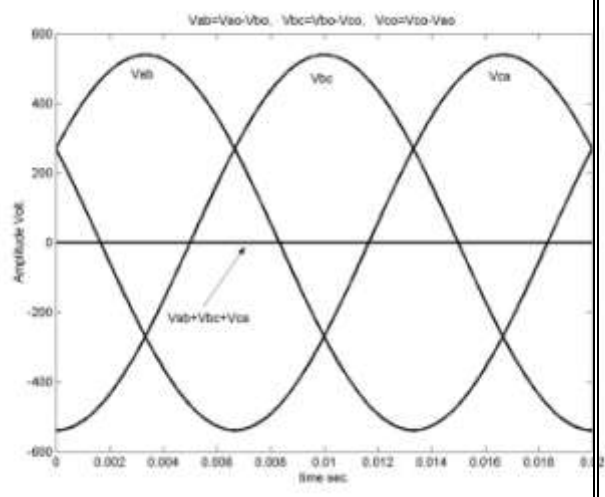


$$v_{ao} = 220 \sqrt{2} \sin(\omega t)$$

$$v_{bo} = 220 \sqrt{2} \sin(\omega t - \frac{2\pi}{3})$$

$$v_{co} = 220 \sqrt{2} \sin(\omega t + \frac{2\pi}{3})$$

ولتاژهای لحظه‌ای فازی سه فاز



$$v_{ab} = 380 \sqrt{2} \sin(\omega t + \frac{\pi}{6})$$

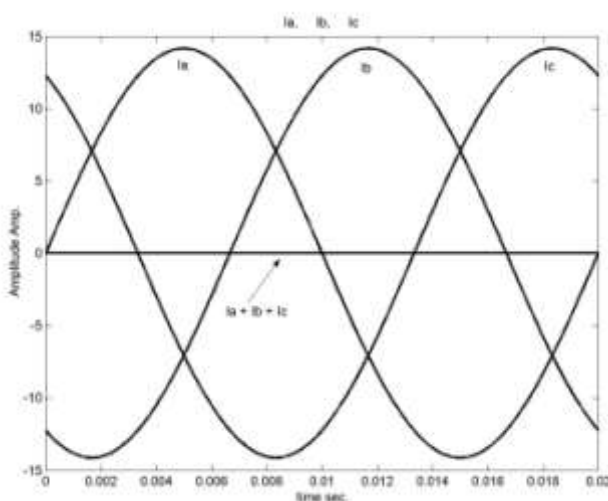
$$v_{bc} = 380 \sqrt{2} \sin(\omega t - \frac{2\pi}{3} + \frac{\pi}{6})$$

$$v_{ca} = 380 \sqrt{2} \sin(\omega t + \frac{2\pi}{3} + \frac{\pi}{6})$$

ولتاژهای لحظه‌ای خطی سه فاز

جريانهای فازی و خطی و روابط تغییرات لحظه‌ای دامنه آنها با زمان

جريان‌های لحظه‌ای فازی سه فاز

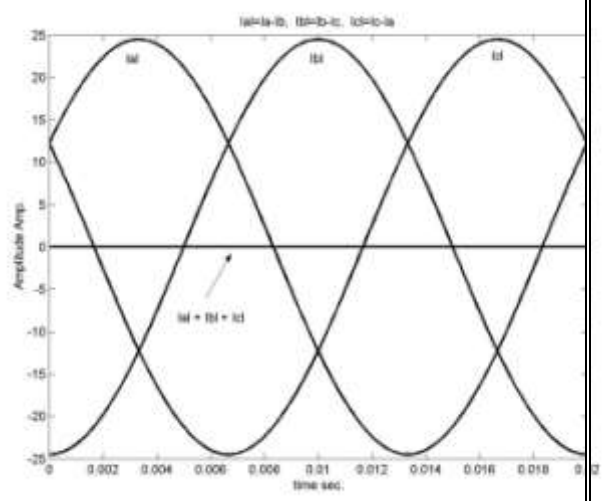


$$i_a = 10 \sqrt{2} \sin(\omega t)$$

$$i_b = 10 \sqrt{2} \sin(\omega t - \frac{2\pi}{3})$$

$$i_c = 10 \sqrt{2} \sin(\omega t + \frac{2\pi}{3})$$

جريان‌های لحظه‌ای خطی سه فاز

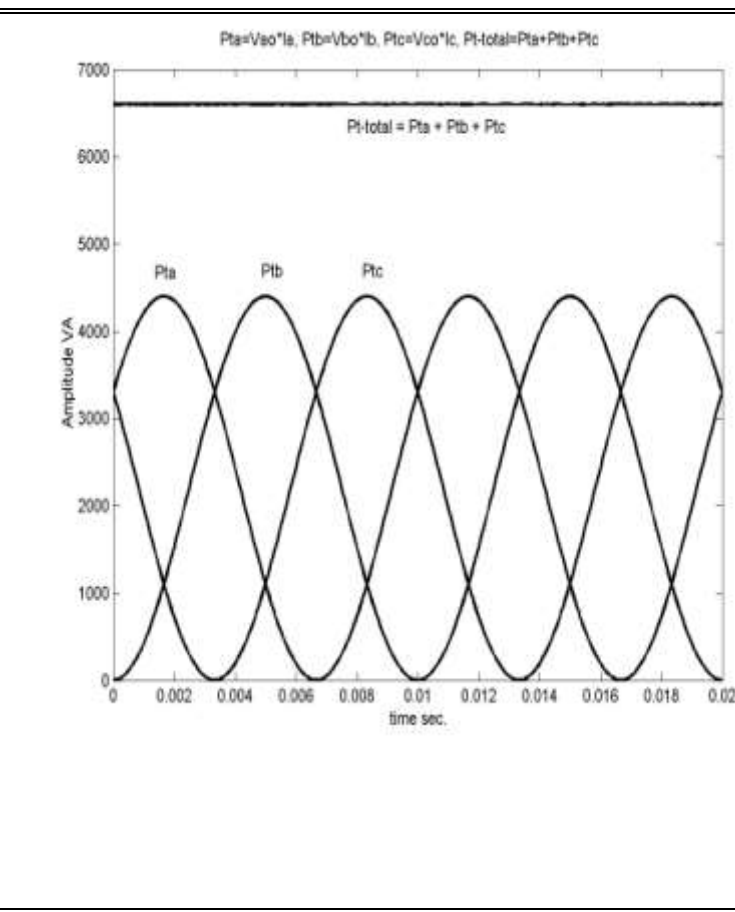


$$i_{al} = 10 \sqrt{3} \sqrt{2} \sin(\omega t + \frac{\pi}{6})$$

$$i_{bl} = 10 \sqrt{3} \sqrt{2} \sin(\omega t - \frac{2\pi}{3} + \frac{\pi}{6})$$

$$i_{cl} = 10 \sqrt{3} \sqrt{2} \sin(\omega t + \frac{2\pi}{3} + \frac{\pi}{6})$$

توان‌های لحظه‌ای هر فاز و توان لحظه‌ای کل سه فاز



جالب توجه اینکه

در حالت جریانها و ولتاژهای متعادل سه فاز

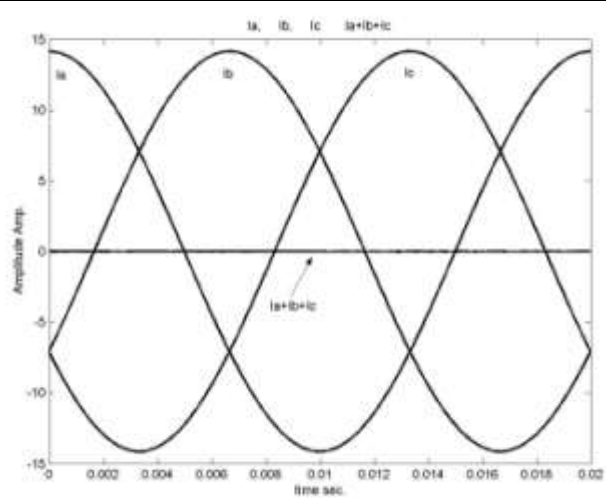
توان متوسط و توان لحظه‌ای کل باهم برابر بوده و مقدار ثابتی دارند، نتیجتاً با زمان تغییر نمی‌کند.

همچنین

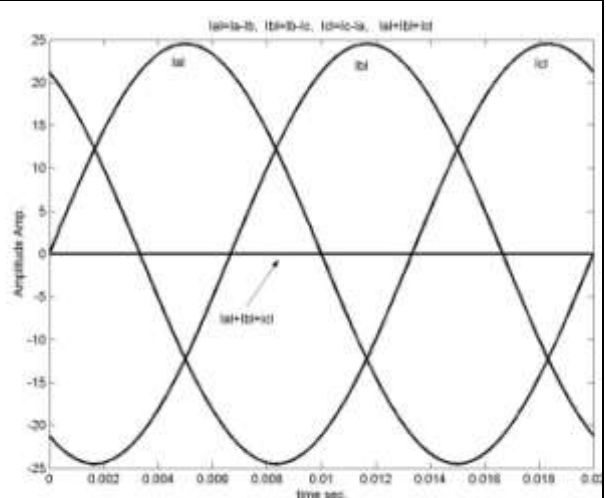
فرکانس تغییرات لحظه‌ای توانها، دو برابر فرکانس تغییرات لحظه‌ای ولتاژها و یا جریانها می‌باشد.

جریانهای فازی و خطی و روابط تغییرات لحظه‌ای دامنه آنها با زمان (جریانها از ولتاژها عقب افتاده اند)

جریان‌های لحظه‌ای فازی سه فاز



جریان‌های لحظه‌ای خطی سه فاز

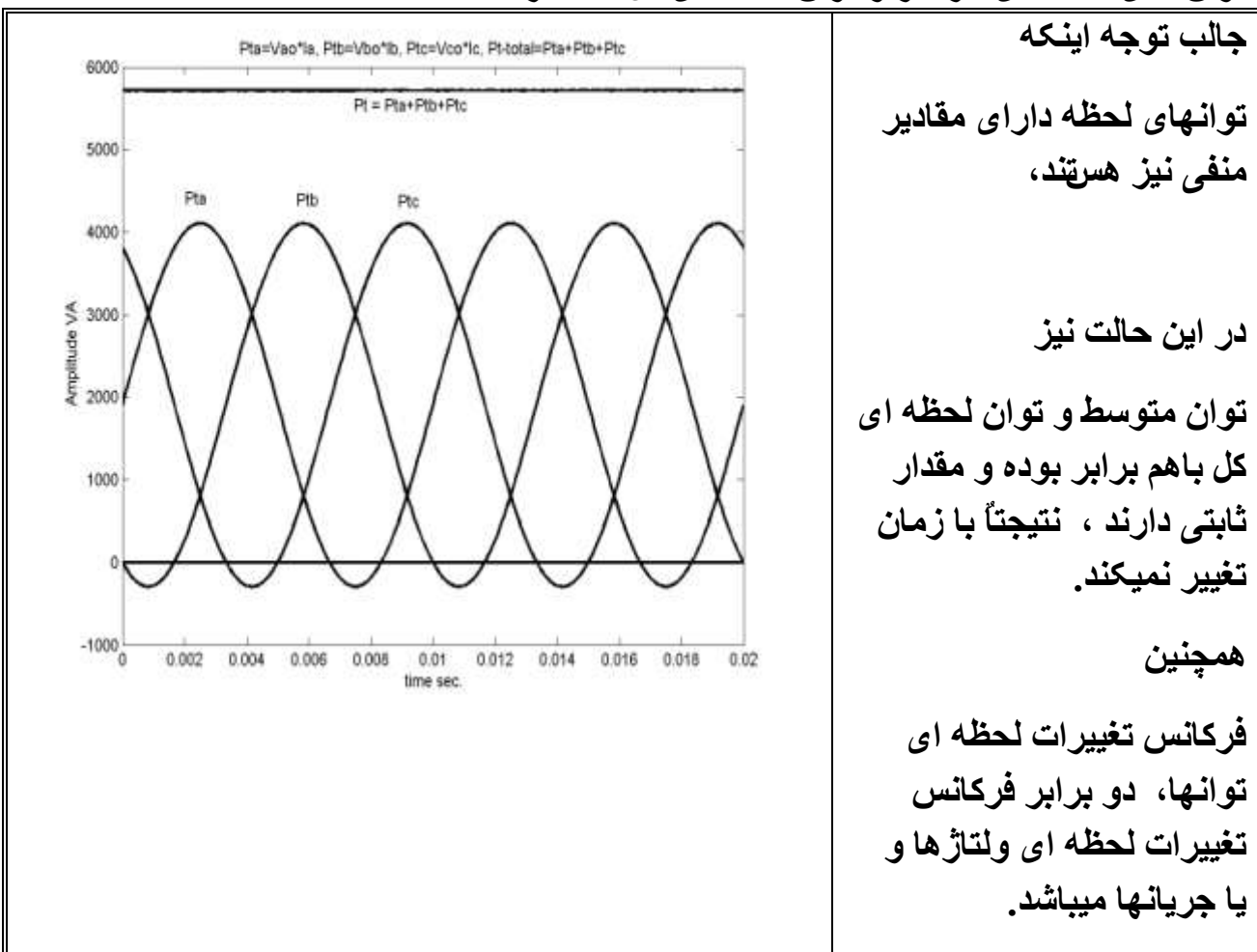


$$i_a = 10\sqrt{2} \sin(\omega t - \varphi)$$

$$i_{al} = 10\sqrt{3}\sqrt{2} \sin(\omega t - \varphi - \frac{\pi}{6})$$

$i_b = 10\sqrt{2} \sin(\omega t - \frac{2\pi}{3} - \varphi)$	$i_{bl} = 10\sqrt{3}\sqrt{2} \sin(\omega t - \frac{2\pi}{3} - \varphi - \frac{\pi}{6})$
$i_c = 10\sqrt{2} \sin(\omega t + \frac{2\pi}{3} - \varphi)$	$i_{cl} = 10\sqrt{3}\sqrt{2} \sin(\omega t + \frac{2\pi}{3} - \varphi - \frac{\pi}{6})$
$\varphi = 30^\circ = \frac{\pi}{6}$	اختلاف فاز بین شکل موجهای ولتاژ و جریان 30 درجه و جریانها تاخیری میباشند

توان های لحظه ای هر فاز و توان لحظه ای کل سه فاز



$$P_{ave} = P = \sqrt{3} V_{rmsl} I_{rmsl} \cos \varphi = P_{1ave} + P_{2ave} + P_{3ave}$$

$$Q_{ave} = Q = \sqrt{3} V_{rmsl} I_{rmsl} \sin \varphi = Q_{1ave} + Q_{2ave} + Q_{3ave}$$

$$S_{ave} = S = \sqrt{3} V_{rmsl} I_{rmsl} = S_{1ave} + S_{2ave} + S_{3ave}$$

M فایل مطلب برای رسم شکل موجهای فوق

% elecmes1n.m

% Version: 2.0

% Description: Three-Phase Power

% Revision: 2.0

% Author: Hossein Tabatabaei-Yazdi

% univ. of Ferdowsi

% Created: 23/1/1381

clf

% Parameter values:

sq3=sqrt(3);

sq2=sqrt(2);

Vm=sq2*220;

Im=sq2*10;

% 30 degree c=pi/6;

%120 degree a=4*c;

% 0 and 30 degree phase angle fi=c;

d=sq3/3;

```

d2=2*d;

%2*pi*f           w=2*pi*50.;

t=0:.0001:.02;

Vao=Vm*sin(w*t);

Vbo=Vm*sin(w*t-a);

Vco=Vm*sin(w*t+a);

Voo=0.0*sin(w*t);

Ioo=0.0*sin(w*t);

Poo=0.0*sin(w*t);

plot(t,Vao,'-k',t,Vbo,'-k',t,Vco,'-k',t,Vao+Vbo+Vco,'-k','LineWidth',2)

title('Vao,   Vbo,   Vco,   Vao+Vbo+Vco')

xlabel(' time sec.')

ylabel(' Amplitude Volt.')

pause

plot(t,Vao-Vbo,'-k',t,Vbo-Vco,'-k',t,Vco-Vao,'-k',t,Voo,'-k','LineWidth',2)

title('Vab=Vao-Vbo,  Vbc=Vbo-Vco,  Vca=Vco-Vao ')

xlabel(' time sec.')

ylabel(' Amplitude Volt.')

```

pause

Ia=Im*sin(w*t-fi);

Ib=Im*sin(w*t-a-fi);

Ic=Im*sin(w*t+a-fi);

plot(t,Ia,'-k',t,Ib,'-k',t,Ic,'-k',t,Ia+Ib+Ic,'-k','LineWidth',2)

title('Ia, Ib, Ic Ia+Ib+Ic')

xlabel(' time sec.')

ylabel(' Amplitude Amp.')

pause

plot(t,Ia-Ib,'-k',t,Ib-Ic,'-k',t,Ic-Ia,'-k',t,Io,'k','LineWidth',2)

title('Ial=Ia-Ib, Ibl=Ib-Ic, Icl=Ic-Ia, Ial+Ibl+Icl')

xlabel(' time sec.')

ylabel(' Amplitude Amp.')

pause

plot(t,Vao.*Ia,'-k',t,Vbo.*Ib,'-k',t,Vco.*Ic,'-k',t,Vao.*Ia+Vbo.*Ib+Vco.*Ic,'-k',t,Po,'k','LineWidth',2)

title('Pta=Vao*Ia, Pt=Vbo*Ib, Ptc=Vco*Ic, Pt-total=Pta+Pt+Ptc')

xlabel(' time sec.')

ylabel(' Amplitude VA')

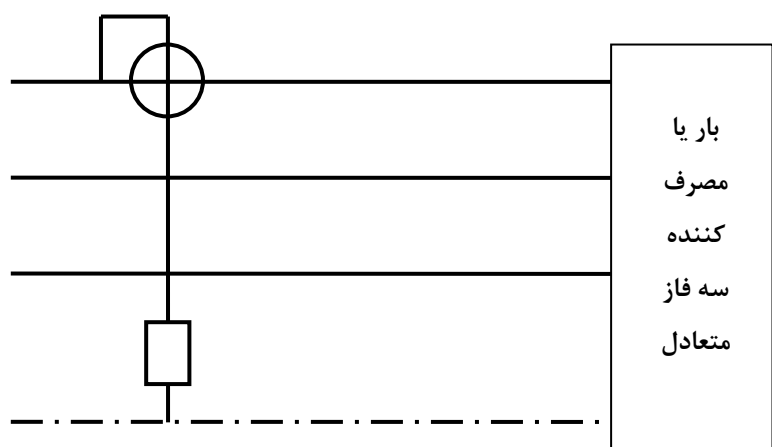
clear

اندازه گیری توان حقیقی ، واته و یا اکتیو در سیستم های سه فاز

1. سه فاز 4 سیمه :

a. روش یک واتمتری : در این روش توان حقیقی مصرفی یکی از فازها اندازه گیری شده و نتیجه اندازه گیری در سه ضرب میشود. این روش فقط برای حالت به مصرف کننده سه فاز متعادل مناسب است

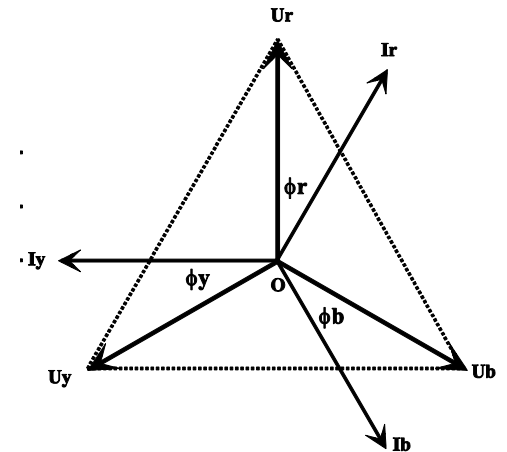
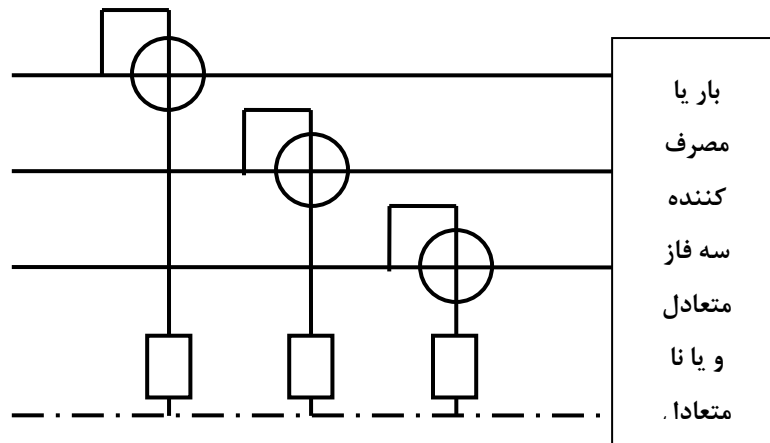
$$P_{ave} = P_{act} = 3P_r = P_{total} = 3(\overline{V}_{ro} \cdot \overline{I}_r) = 3(V_{ro} I_r \cos \varphi)$$



b. روش سه واتمتری : در این روش توان حقیقی مصرفی هر کدام از فازها اندازه گیری شده و نتیجه اندازه گیری ها با هم جمع میشوند.

$$P_{total} = P_{ave} = P_{act} = P_r + P_y + P_b = (\overline{V}_{ro} \cdot \overline{I}_r) + (\overline{V}_{yo} \cdot \overline{I}_y) + (\overline{V}_{bo} \cdot \overline{I}_b)$$

$$P_{total} = P_{ave} = P_{act} = (V_{ro} I_r \cos \varphi_r) + (V_{yo} I_y \cos \varphi_y) + (V_{bo} I_b \cos \varphi_b)$$

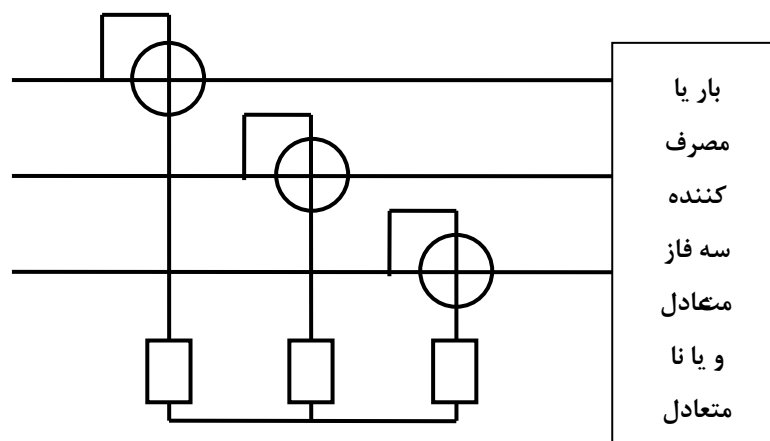


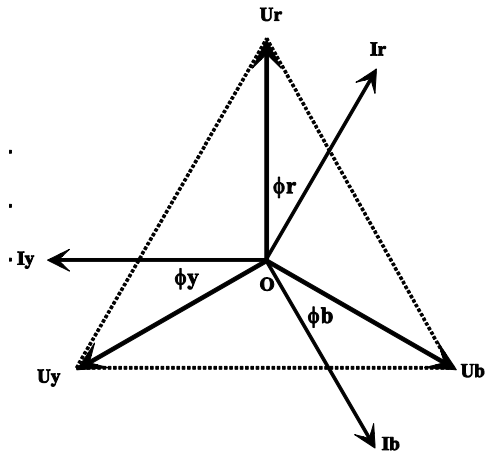
2. سه فاز 3 سيمه

a. روش سه واتمتری : در این روش سیم نول یا MP بوسیله اتصال سه مقاومت ایجاد میشود.

$$P_{total} = P_{ave} = P_{act} = P_r + P_y + P_b = (\overline{V_{ro}} \cdot \overline{I_r}) + (\overline{V_{yo}} \cdot \overline{I_y}) + (\overline{V_{bo}} \cdot \overline{I_b})$$

$$P_{total} = P_{ave} = P_{act} = P_r + P_y + P_b = (V_{ro} I_r \cos \varphi_r) + (V_{yo} I_y \cos \varphi_y) + (V_{bo} I_b \cos \varphi_b)$$

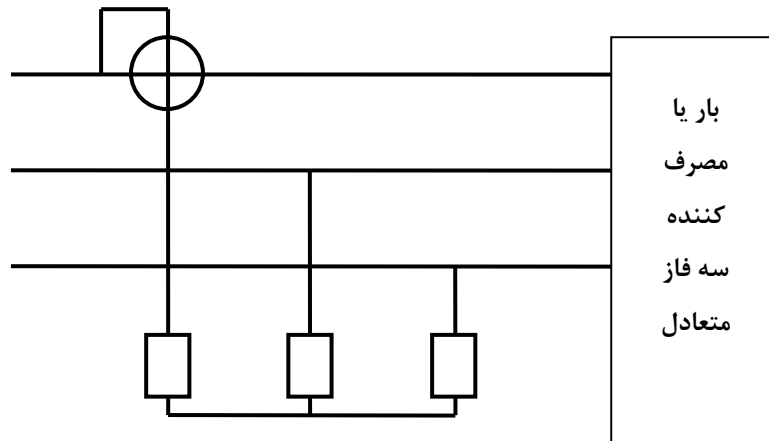




سه فاز 3 سیمه .3

a. روش یک واتمتری : در این روش سیم نول یا MP بوسیله اتصال سه مقاومت ایجاد میشود. این روش فقط برای حالت با مصرف کننده سه فاز متعادل صحیح است.

$$P_{ave} = P_{act} = 3 (\overline{V_{ro}} \cdot \overline{I_r}) = 3 (V_{ro} I_r \cos \varphi) = 3P_r = P_{total}$$



سه فاز 3 سیمه .4

a. روش دو واتمتری (آرون) :

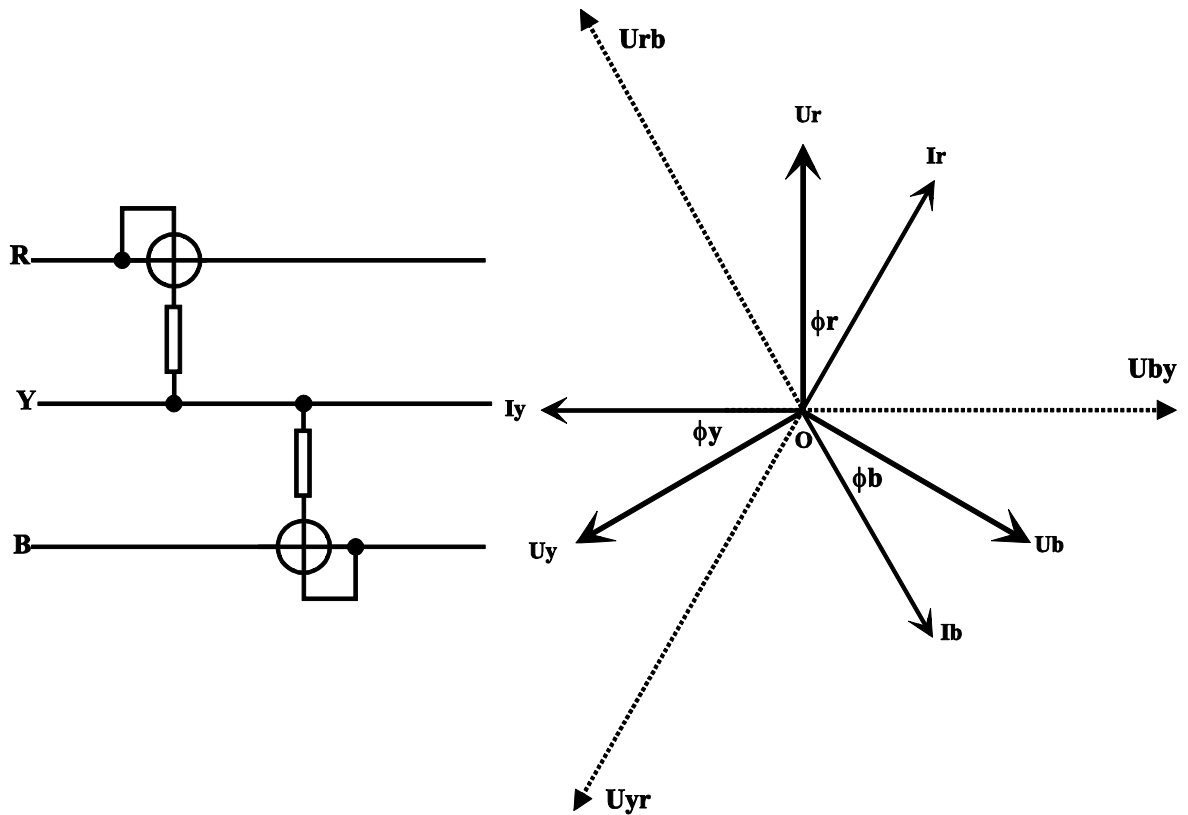
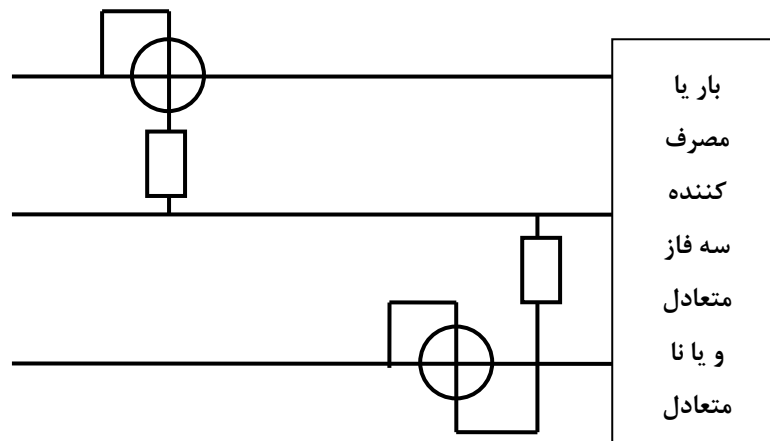
$$\overline{V_{ro}} + \overline{V_{yo}} + \overline{V_{bo}} = 0 \quad \text{و} \quad -(\overline{I_r} + \overline{I_b}) = \overline{I_y} = 0 \quad \text{و} \quad \overline{I_r} + \overline{I_y} + \overline{I_b} = 0$$

$$\overline{V_{ro}} - \overline{V_{yo}} = \overline{V_{ry}} \quad \text{و} \quad \overline{V_{bo}} - \overline{V_{yo}} = \overline{V_{by}}$$

$$P_{total} = (\overline{V_{ro}} \cdot \overline{I_r} - \overline{V_{yo}} \cdot \overline{I_r}) + (\overline{V_{bo}} \cdot \overline{I_b} - \overline{V_{yo}} \cdot \overline{I_b})$$

$$P_{total} = \overline{V_{ro}} \cdot \overline{I_r} + \overline{V_{yo}} (-(\overline{I_b} + \overline{I_r})) + \overline{V_{bo}} \cdot \overline{I_b}$$

$$P_{total} = V_{ro} I_r \cos \varphi_r + V_{yo} I_y \cos \varphi_y + V_{bo} I_b \cos \varphi_b$$

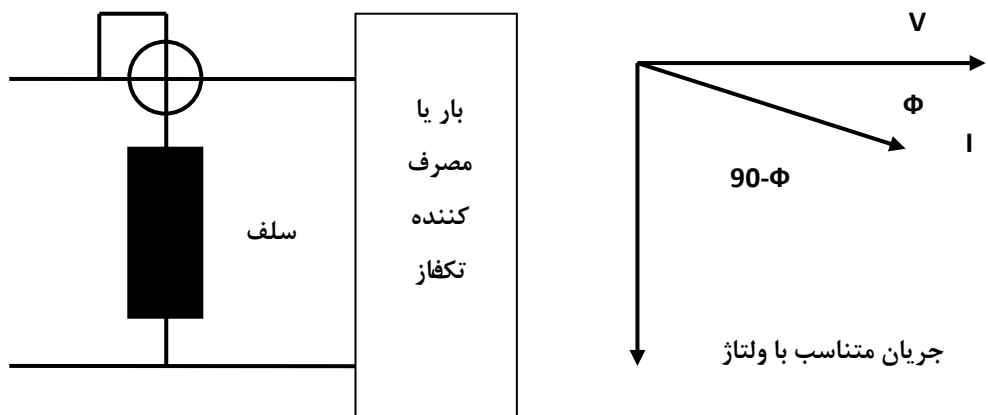


اندازه گیری توان غیر حقیقی ، دواته و یا راکتیو در سیستم های سه فاز

1. سیستم تکفاز:

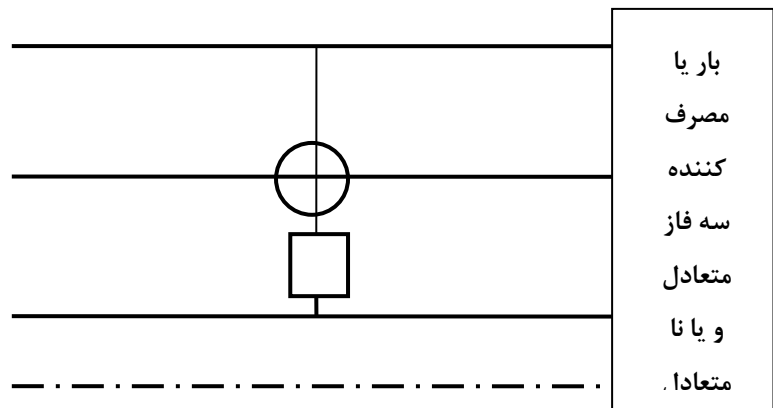
$$Q = \overline{V_{ro}} \cdot \overline{I_r} = (V_{ro} I_r \cos (90 - \varphi)) = (V_{ro} I_r \sin \varphi)$$

$$\cos (90 - \varphi) = \sin \varphi$$

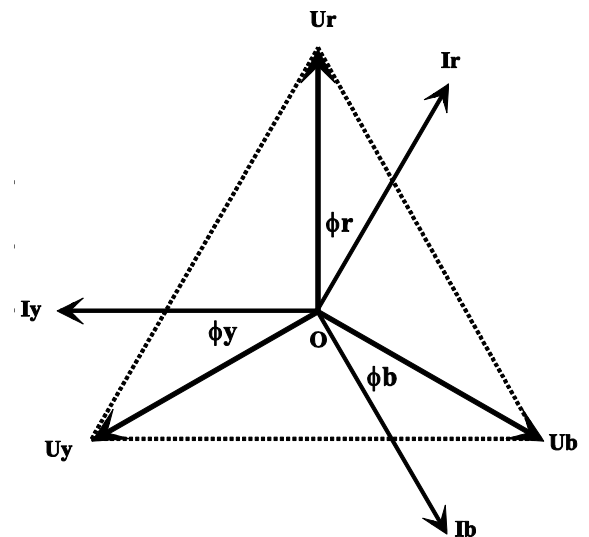
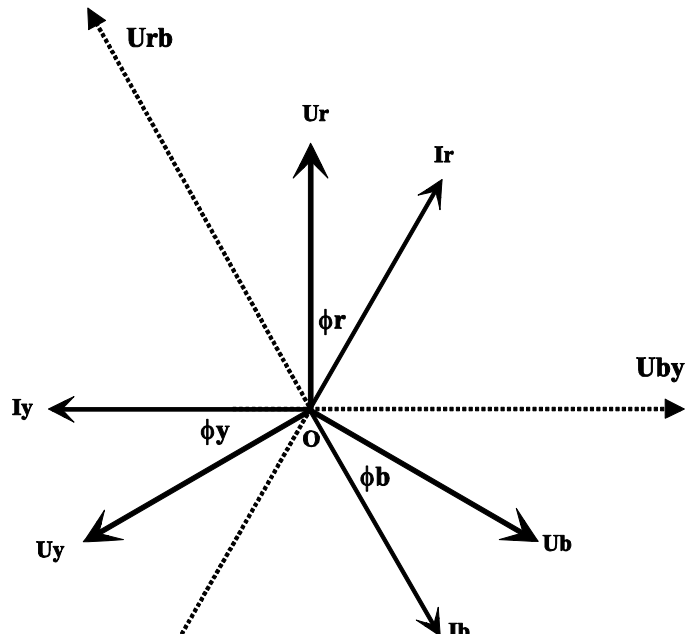


2. سیستم سه فاز سه و یا چهار سیمه متعادل :

$$Q = \overline{V_{rb}} \cdot \overline{I_y} = (V_{rb} I_y \cos(90 - \varphi)) = (V_{rb} I_y \sin \varphi)$$



- توضیح اینکه در سیستم سه فاز با توجه به شکل های وکتوری یا برداری زیر ولتاژ های فازی و خطی با اختلاف فاز نو دegrade نسبت بهم در دسترس هستند.



.3 سیمه فاز 3 سه

b. روش دو واتمتری (آرون) :

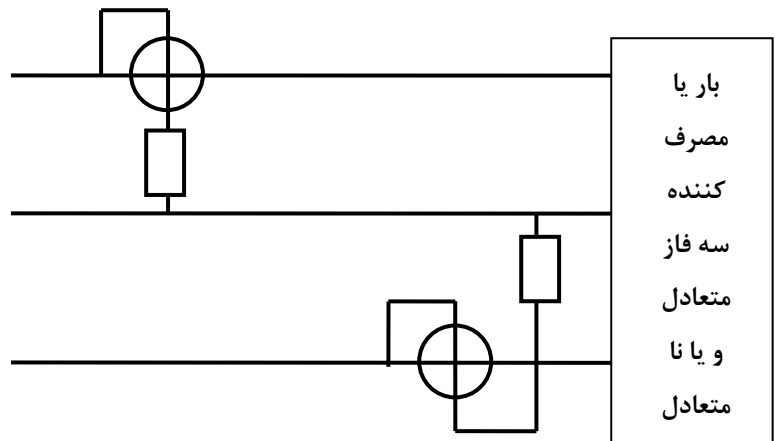
$$Q_{total} = P_2 - P_1 = (\overline{V}_{by} \cdot \overline{I}_b) - (\overline{V}_{ry} \cdot \overline{I}_r) \quad \text{و} \quad \overline{V}_{ro} + \overline{V}_{yo} + \overline{V}_{bo} = 0 \quad \text{و} \quad -(\overline{I}_r + \overline{I}_b) = \overline{I}_y = 0 \quad \text{و} \quad \overline{I}_r + \overline{I}_y + \overline{I}_b = 0$$

$$\overline{V}_{ro} - \overline{V}_{yo} = \overline{V}_{ry} \quad \text{و} \quad \overline{V}_{bo} - \overline{V}_{yo} = \overline{V}_{by}$$

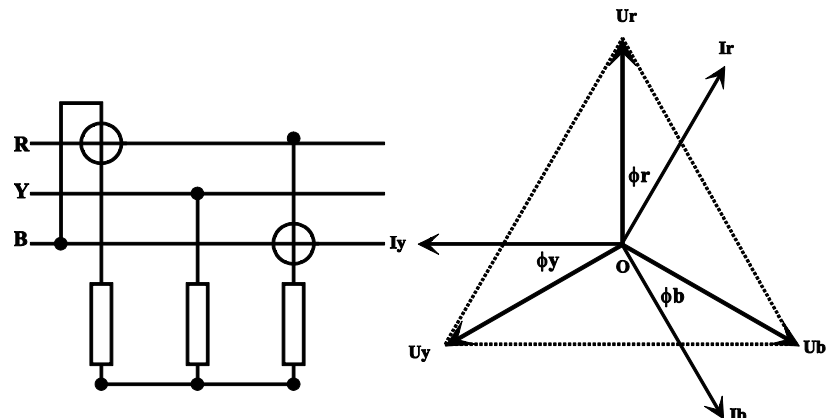
$$Q_{total} = \overline{V}_{by} \cdot (-\overline{I}_r - \overline{I}_y) - \overline{V}_{ry} \cdot (-\overline{I}_y - \overline{I}_b)$$

$$Q_{total} = \overline{V}_{by} \cdot \overline{I}_r + \overline{I}_y \left(-(\overline{V}_{by} + \overline{V}_{ry}) \right) + \overline{V}_{ry} \cdot \overline{I}_b$$

$$Q_{total} = V_{by} I_r \sin \varphi_r + V_{yr} I_y \sin \varphi_y + V_{ry} I_b \sin \varphi_b$$

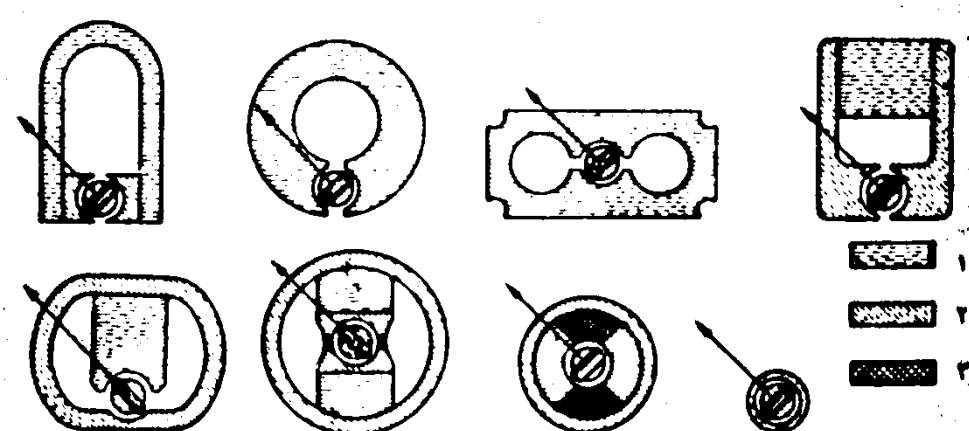
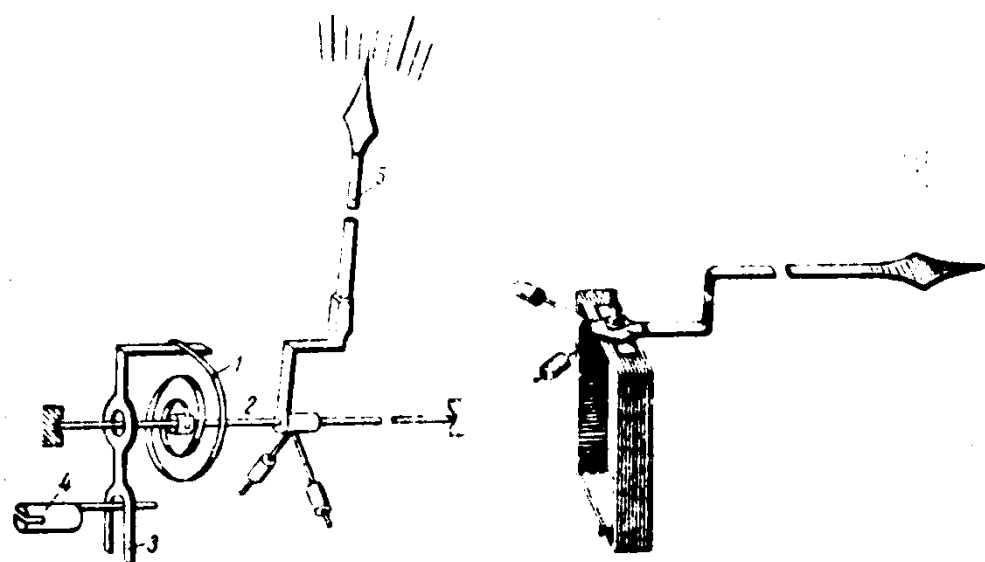


کوئیز : شکل زیر مربوط به اندازه گیری چه کمیتی است و چرا.

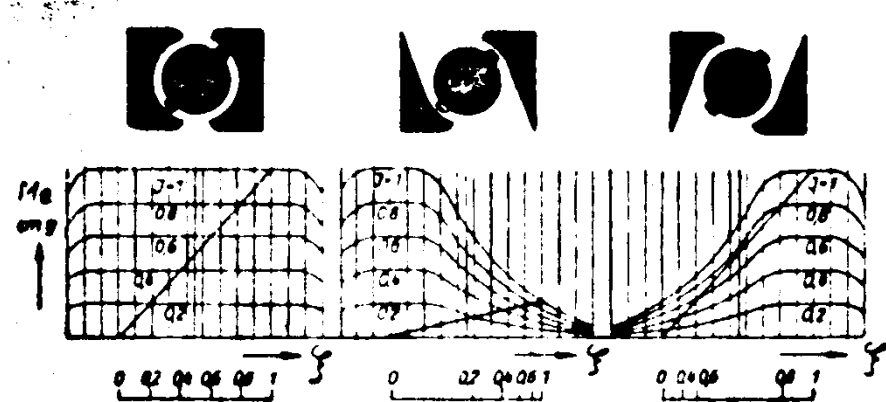


$$\cos(\alpha \mp \beta) = \cos \alpha \cos \beta \pm \sin \alpha \sin \beta$$

وسایل اندازه گیری با مغناطیس دائمی و قاب گردان



۱- فولاد مغناطیسی ۲- آهن نرم ۳- فلز غیر مغناطیسی



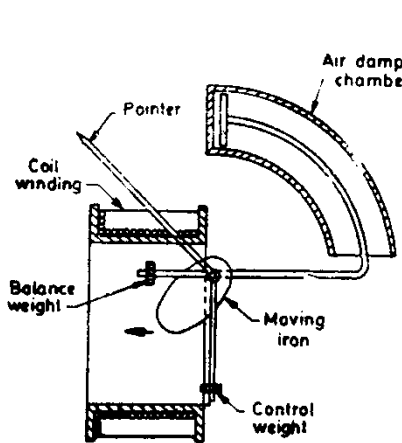


Fig. 8'27. Attraction type moving iron instrument.

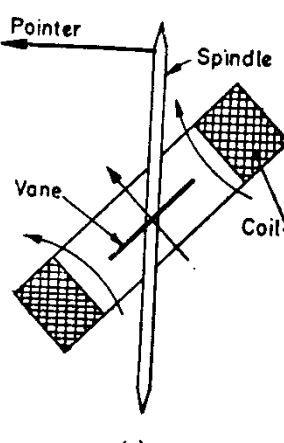
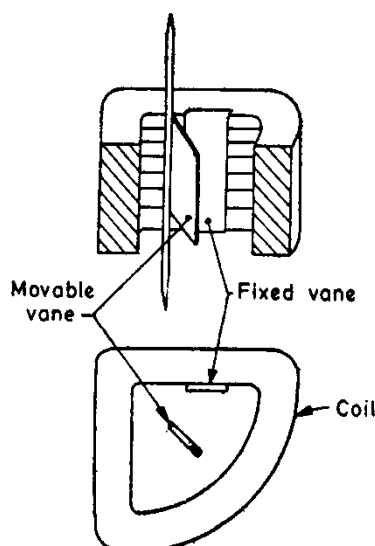
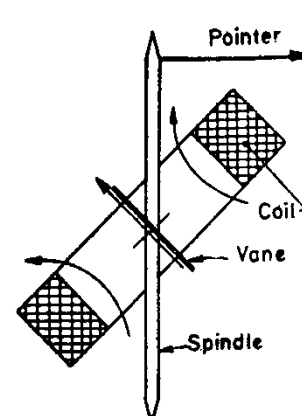
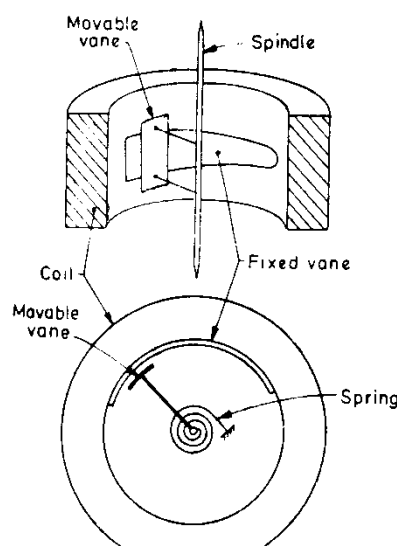


Fig. 8'28. Thompson inclined coil instrument.



(a) Radial vane type.



(b) Co-axial vane type.
Fig. 8'29. Repulsion type moving iron instruments.

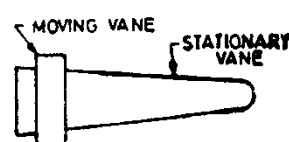


Fig. 8'30. Stationary and moving vanes.

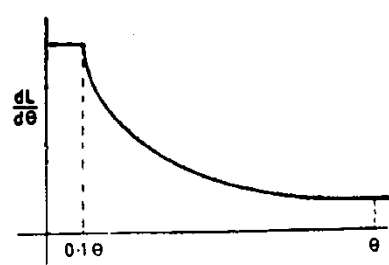


Fig. 8'31. Variation of $dL/d\theta$ v/s θ .

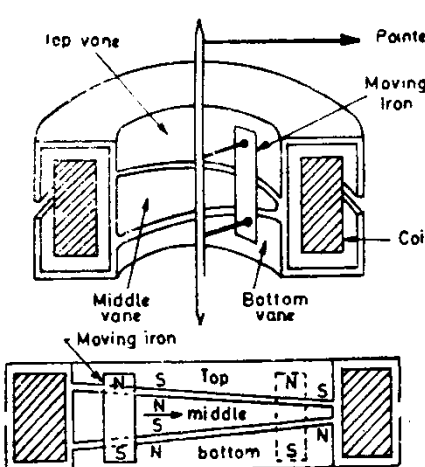


Fig. 8'32. Long range instrument.

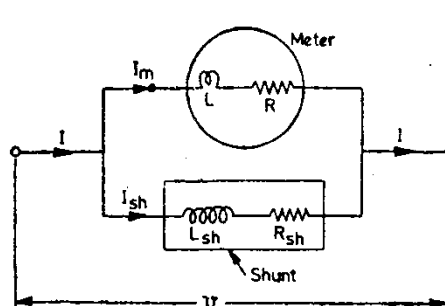


Fig. 8'33. Shunt for moving iron instrument.

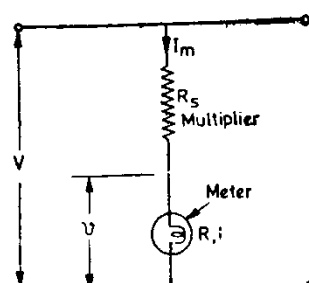


Fig. 8'34. Voltage multipliers for moving iron instruments.

$$T_d = \text{گشتاور منحرف کننده}$$

$$T_d d\theta = \text{کار مکانیکی انجام شده}$$

اگر جریان اولیه I ، اندوکتانس اولیه L و θ معرف انحراف عقربه باشد.
چنانچه جریان باندازه dI افزایش یابد، باعث تغییر اندوکتانس باندازه dL و زاویه
انحراف عقربه باندازه $d\theta$ میشود.

از سوئی برای ایجاد dI یک ولتاژ باندازه e بایستی موجود باشد.

$$e = \frac{d}{dt} (LI) = I \frac{dL}{dt} + L \frac{dI}{dt}$$

$$= e I dt = I^2 dL + I L dI$$

$$= \frac{1}{2} I^2 L = \text{انرژی الکتریکی ذخیره شده قبل از چرخش عقربه}$$

$$= \frac{1}{2} (I + dI)^2 (L + dL) = \text{انرژی الکتریکی ذخیره شده بعد از چرخش عقربه}$$

$$= \frac{1}{2} (I^2 + 2I dI + dI^2)(L + dL) - \frac{1}{2} I^2 L$$

$$\text{ذخیره شده}$$

$$= \frac{1}{2} LI^2 + \frac{1}{2} L dI^2 + LIdI + \frac{1}{2} I^2 dL + \frac{1}{2} dL dI^2 + IdL dI - \frac{1}{2} I^2 L$$

اگر از مقادیر کوچک و درجه دوم صرف نظر شود.

$$= \text{تغییر در انرژی الکتریکی ذخیره شده} = LIdI + \frac{1}{2} I^2 dL$$

کار مکانیکی انجام شده + تغییر در انرژی الکتریکی ذخیره شده = انرژی الکتریکی
اعمال شده

$$I^2 dL + IL dI = LIdI + \frac{1}{2} I^2 dL + T_d d\theta$$

$$T_d d\theta = \frac{1}{2} I^2 dL$$

$$T_d = \frac{1}{2} I^2 \frac{dL}{d\theta}$$

$$T_C = K_f \theta$$

$$K_f \theta = \frac{1}{2} I^2 \frac{dL}{d\theta}$$

$$\theta = \frac{1}{2} \frac{I^2}{K_f} \frac{dL}{d\theta}$$

Equation 1

با توجه به رابطه فوق ، انحراف عقربه دستگاه متناسب با مذکور جریان اعمال شده به کویل و یا سیم پیچ وسیله اندازه گیری میباشد ، از سوی دیگر درجه بندی غیر یکنواخت و بستگی به مقدار و نوع جریان و همچنین تغییرات $\frac{dL}{d\theta} = cte$ دارد. و چنانچه باشد وسیله دارای پاسخی مذکوری میباشد .

واضح است که جهت گشتاور تولید شده و یا چرخش عقربه ربطی به جهت جریان و یا متنابض و مستقیم بودن آن نداشته و عقربه فقط به یکطرف منحرف میشود.

چنانچه بخواهیم دستگله دارای درجه بندی خطی و نتیجتاً $I = C \theta$ بشود. با استفاده

از روابط فوق میتوان تغییرات $\frac{dL}{d\theta}$ را محاسبه نمود، بنابراین:

با استفاده از **Equation 1** و قرار دادن رابطه

$$\frac{dL}{d\theta} = \frac{2 K_f \theta}{I^2}$$

خواهیم داشت

$$\frac{dL}{d\theta} = \frac{2 K_f \theta}{C^2 \theta^2}$$

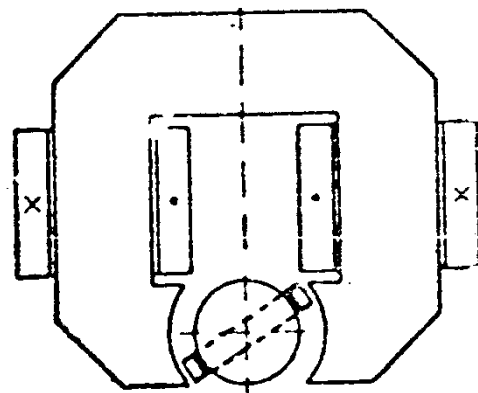
نتیجتاً

$$\theta \frac{dL}{d\theta} = cte. = \frac{2 K_f}{C^2}$$

چون این موضوع در $\theta = 0$ میسر نیست، در عمل درجه بندی تا حدود یک دهم جریان نامی خطی سازی میشود. توضیح آخر اینکه : با مختصر تغییری در تعداد و سطح مقطع سیم

، سیم پیچ دستگاه میتوان توانایی سنجش جریان این وسیله را بدون نیاز به مقاومت شنت توسعه داد. برای توسعه حدود سنجش ولتاژ میباشد از مقاومت سری استفاده نمود.

وسایل اندازه گیری الکترودینامیکی (Electrodynamic) و فرودینامیکی صفحه 235 کتاب ساونی



جریان لحظه ای سیم پیچ ثابت $i_1 =$

جریان لحظه ای سیم پیچ متحرک $i_2 =$

اندوکتانس خودی سیم پیچ ثابت $L_1 =$

اندوکتانس خودی سیم پیچ متحرک $L_2 =$

اندوکتانس متفاصل مابین سیم پیچ ثابت و متحرک $M =$

فلاکس لینکیج سیم پیچ ثابت $\lambda_1 = L_1 i_1 + M i_2$

فلاکس لینکیج سیم پیچ متحرک $\lambda_2 = L_2 i_2 + M i_1$

$$e_1 = \frac{d\lambda_1}{dt}$$

$$e_2 = \frac{d\lambda_2}{dt}$$

$=$ انرژی الکتریکی ورودی $= e_1 i_1 dt + e_2 i_2 dt = i_1 d\lambda_1 + i_2 d\lambda_2$

$=$ انرژی الکتریکی ورودی $= i_1 d(L_1 i_1 + M i_2) + i_2 d(L_2 i_2 + M i_1)$

$$= i_1 L_1 di_1 + i_1^2 dL_1 + i_1 i_2 dM + i_1 M di_2 + \\ i_2 L_2 di_2 + i_2^2 dL_2 + i_1 i_2 dM + i_2 M di_1$$

$$= \frac{1}{2} i_1^2 L_1 + \frac{1}{2} i_2^2 L_2 + i_1 i_2 M \quad \text{Equation1}$$

مغناطیسی

$$= d(\frac{1}{2} i_1^2 L_1 + \frac{1}{2} i_2^2 L_2 + i_1 i_2 M) \quad \text{Equation2}$$

شده

$$= i_1 L_1 di_1 + \frac{1}{2} i_1^2 dL_1 + i_2 L_2 di_2 + \frac{1}{2} i_2^2 dL_2 + \\ i_1 M di_2 + i_2 M di_1 + i_1 i_2 dM$$

کار مکانیکی انجام شده + تغییر در انرژی الکتریکی ذخیره شده = انرژی الکتریکی اعمال شده

$$\text{کار} = (\text{Equation1}) - (\text{Equation2}) = \frac{1}{2} i_1^2 dL_1 + \frac{1}{2} i_2^2 dL_2 + i_1 i_2 dM$$

مکانیکی انجام شده

$$dL_1 = dL_2 = 0 \quad \text{هستند بنا بر این}$$

بنابراین

مکانیکی انجام شده

$$T_d = i_1 i_2 \frac{dM}{d\theta}$$

$$T_C = K_f \theta$$

$$K_f \theta = i_1 i_2 \frac{dM}{d\theta}$$

$$\theta = \frac{i_1 i_2}{K_f} \frac{dM}{d\theta}$$

چنانچه از این دستگاه اندازه گیری برای سنجش جریانهای مستقیم استفاده شود، جریانهای کویل های ثابت و متحرک مستقیم خواهند بود، در این صورت در شرایط پایدار انحراف عقربه از رابطه زیر تبعیت میکند:

$$\theta = \frac{I_1 I_2}{K_f} \frac{dM}{d\theta}$$

اگر از این دستگاه اندازه گیری برای سنجش جریانهای متناوب استفاده شود، جریانهای کویل های ثابت و متحرک متناوب خواهند بود، در این صورت در شرایط پایدار و در صورتیکه دستگاه دارای دمپینگ مناسب باشد، انحراف عقربه متناسب با مقدار متوسط حاصلضرب جریانها در یک سیکل کامل نوسان آنها خواهد بود : رابطه زیر :

$$\theta = \frac{1}{K_f} \frac{dM}{d\theta} \frac{1}{T} \int_0^T i_1 i_2 dt$$

چنانچه جریانها سینوسی باشند:

$$i_1 = I_{1m} \sin \omega t \quad \& \quad i_2 = I_{2m} \sin(\omega t - \varphi)$$

$$\theta = \frac{1}{K_f} \frac{dM}{d\theta} I_{1m} I_{2m} \frac{1}{T} \int_0^T \sin \omega t \sin(\omega t - \varphi) dt$$

$$\theta = \frac{1}{K_f} \frac{dM}{d\theta} I_{1m} I_{2m} \frac{1}{2\pi} \int_0^{2\pi} \sin \omega t \sin(\omega t - \varphi) d\omega t$$

$$\theta = \frac{1}{K_f} \frac{I_{1m} I_{2m}}{2} \frac{dM}{d\theta} \cos \varphi$$

$$\theta = \frac{1}{K_f} \frac{I_{1m}}{\sqrt{2}} \frac{I_{2m}}{\sqrt{2}} \frac{dM}{d\theta} \cos \varphi = \frac{1}{K_f} \frac{dM}{d\theta} I_{1rms} I_{2rms} \cos \varphi$$

اگر از این وسیله بعنوان آمپر متر استفاده شود، چون
است:

$$\theta = \frac{i^2}{K_f} \frac{dM}{d\theta}$$

و اگر از این وسیله بعنوان ولتمتر استفاده شود، چون

$$i_1 = i_2 = \frac{v}{Z} \quad \& \quad \varphi = 0$$

$$\theta = \frac{v^2}{K_f Z^2} \frac{dM}{d\theta}$$

وسایل اندازه گیری الکترواستاتیکی (Electrostatic) صفحه 254 کتاب ساوونی

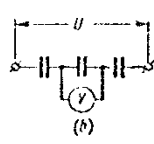
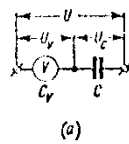
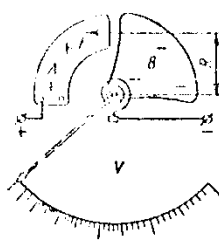


Fig. 3-32. Extension of electrostatic voltmeter range
a—by means of a series capacitor; b—by means of a capacitance voltage divider

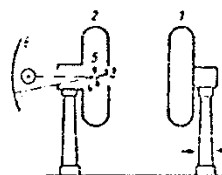
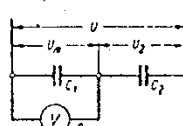


Fig. 2-24. Principle of electrostatic instrument

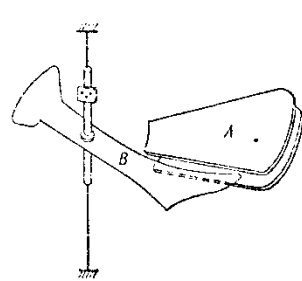


Fig. 2-25. Principle of type C-95 electrostatic spot voltmeter

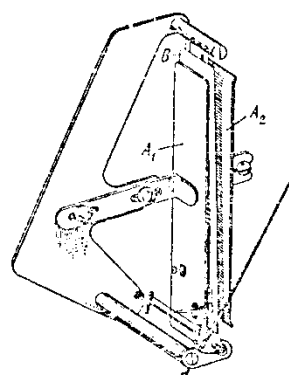
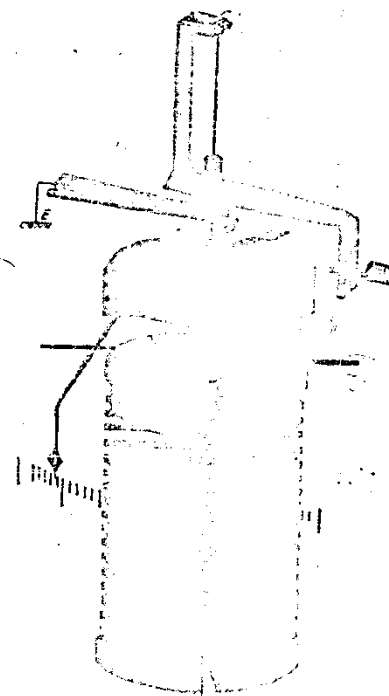
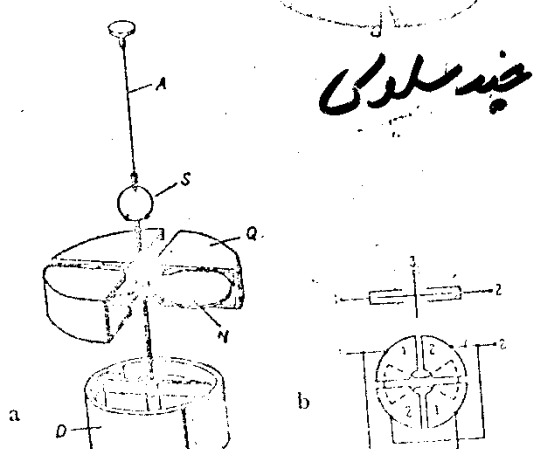


Fig. 2-26. Version of electrostatic instrument



سینیہ سکٹ میپول صفحہ ایج - ٹارنل ہاول



چند ملودی

گشتاور محرک در این وسایل بوسیله میدان الکتریکی ناشی از صفحات بار دار تولید میشود.
این گونه وسایل فقط قادر به اندازه گیری ولتاژ هستند.

$$T_d = \text{گشتاور منحرف کننده}$$

$$T_d * d\theta = \text{کار مکانیکی انجام شده}$$

$$i_c = \frac{dq}{dt} = \frac{d}{dt} (Cv) = C \frac{dv}{dt} + v \frac{dC}{dt}$$

$$= v i_c dt = v^2 dc + CV dV \quad \text{انرژی الکتریکی اعمال شده}$$

$$= \frac{1}{2} C v^2 \quad \text{انرژی الکتریکی ذخیره شده قبل از چرخش عقربه}$$

$$= \frac{1}{2} (v + dv)^2 (C + dC) \quad \text{انرژی الکتریکی ذخیره شده بعد از چرخش عقربه}$$

$$= \frac{1}{2} (v^2 + 2v dv + dv^2) (C + dC) - \frac{1}{2} C v^2 \quad \text{تغییر در انرژی الکتریکی}$$

ذخیره شده

$$= \frac{1}{2} Cv^2 + \frac{1}{2} Cdv^2 + Cvdv + \frac{1}{2} v^2 dC + \frac{1}{2} dCd v^2 + vdCd v - \frac{1}{2} C v^2$$

اگر از مقادیر کوچک و درجه دوم صرفنظر شود.

$$= Cv dv + \frac{1}{2} v^2 dC \quad \text{تغییر در انرژی الکتریکی ذخیره شده}$$

$$= \text{انرژی الکتریکی} + \text{تغییر در انرژی الکتریکی ذخیره شده} = \text{کار مکانیکی انجام شده} \quad \text{اعمال شده}$$

$$v^2 dC + Cv dv = Cv dv + \frac{1}{2} v^2 dC + T_d d\theta$$

$$T_d d\theta = \frac{1}{2} v^2 dC$$

$$T_d = \frac{1}{2} v^2 \frac{dC}{d\theta}$$

$$T_C = K_f \theta$$

$$K_f \theta = \frac{1}{2} v^2 \frac{dC}{d\theta}$$

$$\theta = \frac{1}{2} \frac{v^2}{K_f} \frac{dC}{d\theta}$$

Equation 1

با توجه به رابطه فوق ، انحراف عقربه دستگاه متناسب با مجدور ولتاژ اعمال شده به وسیله اندازه گیری میباشد ، از سوی دیگر درجه بندی غیر یکنواخت و بستگی به مقدار و نوع جریان و همچنین تغییرات $\frac{dC}{d\theta} = cte$ دارد. و چنانچه باشد وسیله دارای پاسخی مجدوری میباشد .

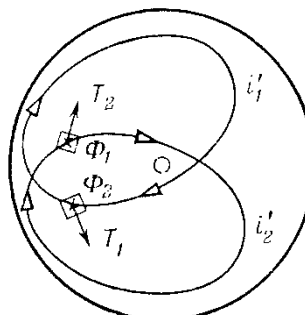
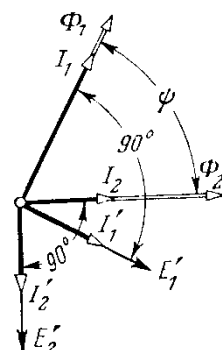
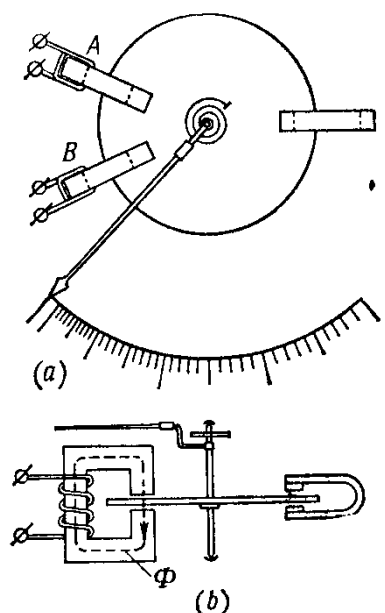
واضح است که جهت گشتاور تولید شده و یا چرخش عقربه ربطی به جهت جریان و یا متناوب و مستقیم بودن آن نداشته و عقربه فقط به یکطرف منحرف میشود.

وسایل اندازه گیری القائی و یا اندوکسیونی (Induction Instruments) صفحه 566

کتاب ساونی

دستگاههای القائی و یا اندوکسیونی بر اساس عکس العمل مابین فلوهای مغناطیسی متناوب و جریانهای القاء شده روی صفحه آلومینیومی دور (قسمت متحرک دستگاه) کار میکنند.

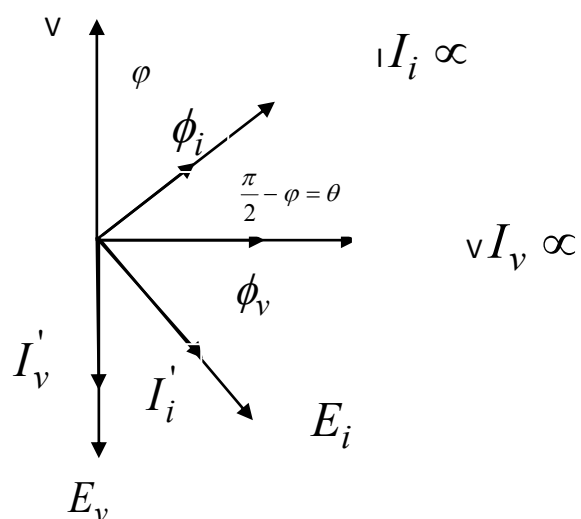
شکل زیر اساس کار یک دستگاه القائی با فلوی دوبل را نمایش میدهد.



یک صفحه دور آلومنیومی در فاصله هوائی دو مغناطیس الکتریکی و یک مغناطیس ثابت قرار گرفته و به محوری که عقربه و فنر مولد گشتاور مقاوم دستگاه به آن متصل است محکم شده.

مغناطیس های الکتریکی بوسیله جریانهای سینوسی I_i و I_v تحریک میشوند.

جریان I_i متناسب با جریان مورد اندازه گیری بوده اختلاف فازی با این جریان ندارد و جریان I_v متناسب با ولتاژ مورد اندازه گیری بوده و اختلاف فاز آن با این ولتاژ 90 درجه است.



$$i_i(t) = I_{mi} \sin(\omega t)$$

$$i_v(t) = I_{mv} \sin(\omega t - \theta)$$

فلوی مغناطیسی سیم پیچ جریان

$$\phi_i(t) = \phi_{mi} \sin(\omega t)$$

فلوی مغناطیسی سیم پیچ ولتاژ

$$\phi_v(t) = \phi_{mv} \sin(\omega t - \theta)$$

نیروی های محرکه الکتریکی القاء شده بر روی دیسک آلومنیومی در اثر تغییرات فلوی

سیم پیچ جریان

$$e_i(t) = -\frac{d\phi_i(t)}{dt} = -\phi_{mi} \cos(\omega t)$$

سیم پیچ ولتاژ

$$e_v(t) = -\frac{d\phi_v(t)}{dt} = -\phi_{mv} \cos(\omega t - \theta)$$

$$e_i(t) = \phi_{mi} \sin(\omega t - \frac{\pi}{2})$$

$$e_v(t) = \phi_{mv} \sin(\omega t - \frac{\pi}{2} - \theta)$$

جريان های سرگردان ایجاد شده بر روی دیسک آلومینیومی در اثر نیروی های محرکه الکتریکی

سیم پیچ جریان

$$i'_i(t) = \frac{e_i(t)}{r_{disk}} = \frac{\phi_{mi}}{r_{disk}} \sin(\omega t - \frac{\pi}{2})$$

سیم پیچ ولتاژ

$$i'_v(t) = \frac{e_v(t)}{r_{disk}} = \frac{\phi_{mv}}{r_{disk}} \sin(\omega t - \frac{\pi}{2} - \theta)$$

مقدار متوسط گشتوار الکتریکی اعمال شده به دیسک آلومینیومی (به اطلاعات اضافی آخر این مبحث توجه کنید)

$$T_{drive} = T_{\phi_v I'_i} - T_{\phi_i I'_v}$$

$$T_{drive} = K \phi_v I'_i \cos(\frac{\pi}{2} - \theta) - K \phi_i I'_v \cos(\frac{\pi}{2} + \theta)$$

با توجه به شکل فوق ، اختلاف فاز مابین وکتورهای ولتاژ و جریان در رابطه بالا قرار دهیم

$$\theta = (\frac{\pi}{2} - \varphi)$$

$$T_{drive} = K \phi_v I'_i \cos(\frac{\pi}{2} - \frac{\pi}{2} + \varphi) - K \phi_i I'_v \cos(\frac{\pi}{2} + \frac{\pi}{2} - \varphi)$$

$$T_{drive} = K \phi_v I'_i \cos(\varphi) + K \phi_i I'_v \cos(\varphi)$$

$$I'_v \propto \omega \phi_v$$

چون

$$I_i' \propto \omega \phi_i \quad \text{و}$$

$$T_{drive} = K \phi_v \phi_i \cos\varphi + K \phi_i \phi_v \omega \cos\varphi$$

$$T_{drive} \propto K \phi_v \phi_i \cos\varphi$$

$$T_{drive} \propto KV I \cos\varphi$$

گشتاور مقاوم فنر

$$T_C = K_f \alpha$$

$$K_f \alpha \propto KV I \cos\varphi$$

زاویه چرخش عقربه

$$\alpha \propto KV I \cos\varphi$$

بنابراین زاویه انحراف عقربه متناسب است با توان حقیقی و یا توان اکتیو

$$\alpha = K P_{active} = K P_{ave.}$$

اندازه گیری انرژی

چنانچه گشتاور مقاوم فنر مساوی صفر و یا فرنی وجود نداشته باشد

$$T_C = 0$$

جريان ادی ایجاد شده بر روی دیسک در اثر مغناطیس دائمی

$$I_{eddy} = \frac{e_{eddy}}{r_{disk}} = \frac{K\phi N}{r_{disk}}$$

و نتیجتاً گشتاور ترمزی مغناطیس دائمی

$$T_{break} = K_1 \phi I_{eddy} R = \frac{K_1 K \phi^2 N R}{r_{disk}}$$

شعاع دیسک (فاصله از محور دیسک تا مرکز مغناطیس دائمی)

$$r_{disk} = \text{ مقاومت اهمی دیسک آلومینیومی}$$

$$T_{break} = K_2 \ N$$

$$T_{drive} = K \ P = T_{break} = K_2 \ N$$

بنابراین تعداد دور چرخش در ثانیه متناسب است با قدرت
 $N \propto P$

و تعداد کل چرخش مساویست با انرژی مصرف شده

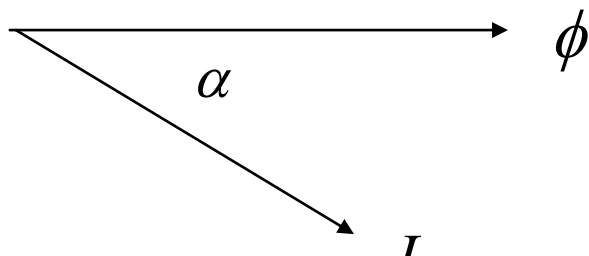
$$\int N \ dt = K \int P \ dt$$

اطلاعات اضافی راجع به اصول کار دستگاه اندازه گیری اندوکسیونی و یا القائی:

برای محاسبه مقدار متوسط گشتاور ایجاد شده در اثر عکس العمل ناشی از فلوی مغناطیسی و جریان الکتریکی ، بصورت زیر عمل میکنیم. چنانچه مقادیر لحظه ای فلو و جریان با توجه به شکل وکتوری زیر برابر :

$$\phi(t) = \phi_m \ Sin(\omega t)$$

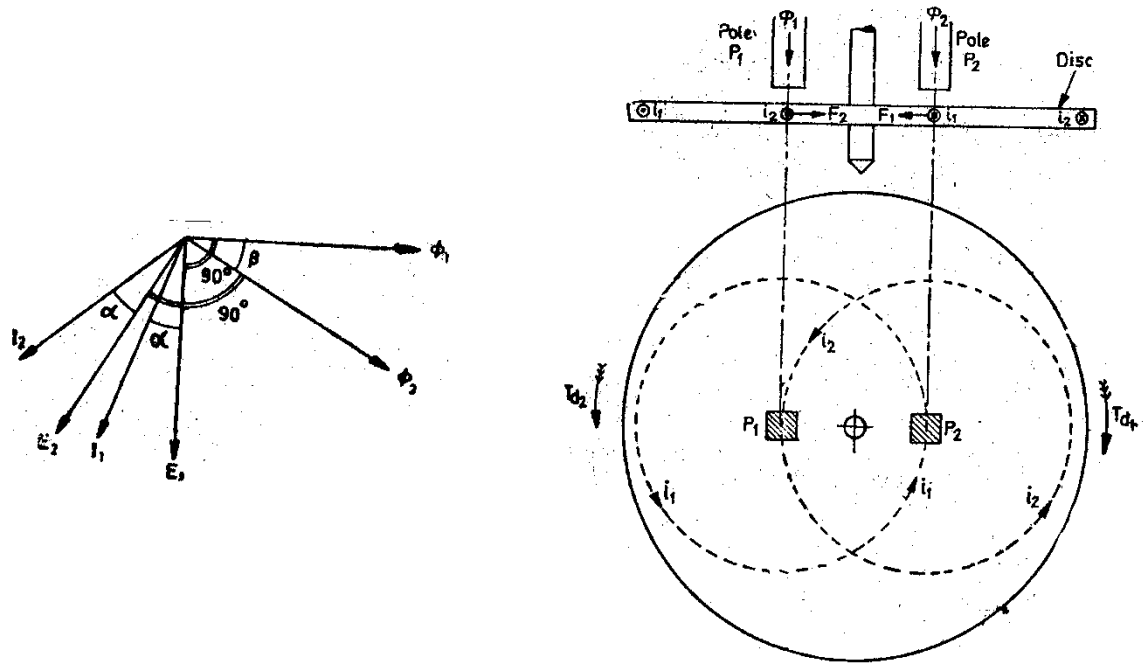
$$i(t) = I_m \ Sin(\omega t - \alpha)$$



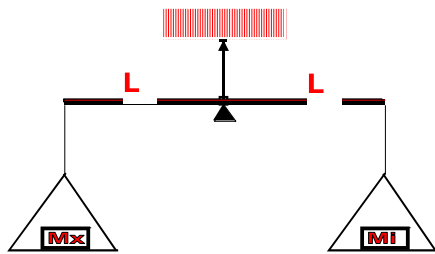
$$T_{drive} = \frac{1}{T} \int_0^T \phi_m \ I_m \ Sin(\omega t) \ Sin(\omega t - \alpha) dt$$

$$T_{drive} = \phi_m \ I_m \ \frac{1}{2\pi} \int_0^\pi \ Sin(\zeta) \ Sin(\zeta - \alpha) d\zeta = \frac{\phi_m \ I_m}{2} \ Cos \alpha$$

$$T_{drive} = \frac{\phi_m}{\sqrt{2}} \frac{I_m}{\sqrt{2}} \ Cos \alpha = \phi_{rms} \ I_{rms} \ Cos \alpha$$



پلهای اندازه گیری



الف - پلهای DC

گرچه استفاده از دستگاههای اندازه گیری انحرافی راحت و سریع است، اما گاهی اوقات برای دسترسی به دقتهای بالا (Accuracy) از دستگاههای اندازه گیری مقایسه ای استفاده میشود.

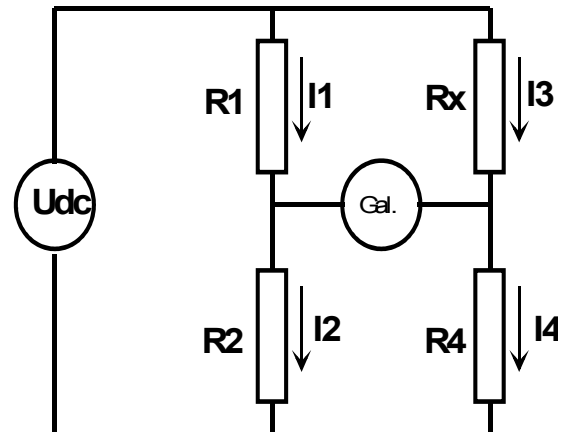
اساس کار دستگاههای اندازه گیری مقایسه ای بصورت زیر است

$$\text{for } I_G = 0 \quad \& \quad V_G = 0$$

$$I_1 R_1 = I_3 R_3$$

$$I_2 R_2 = I_4 R_4$$

$$\frac{R_1}{R_2} = \frac{R_3}{R_4} \quad \& \quad R_1 R_4 = R_2 R_3$$



$$\frac{R_1}{R_2} = \frac{R_3}{R_4} \quad \& \quad R_X = R_3 = \frac{R_1 R_4}{R_2}$$

1. حساسیت (Precision) ، گالوانومتر در میزان دقت اندازه گیری موثر است.

2. صحت (Accuracy) ، گالوانومتر در میزان صحت (Accuracy) اندازه گیری موثر نیست.

3. دامنه ولتاژ در میزان دقت اندازه گیری موثر است، هرچند ممکن است عبور جریان از مقاومتها باعث گرم شدن آنها شده و مقاومتها یاشان تغییر کند.

سؤال 1- چنانچه پل اندازه گیری به حالت تعادل در آمده و پس از آن مقاومت $R_X = R_3 + \Delta R_3$ به مقدار کمی تغییر نماید. مطلوبست محاسبه نقش این تغییر در میزان اندازه گیری.

سؤال 2 - آیا میتوان از پل فوق بصورت مکمل یک دستگاه اندازه گیری انحرافی و برای تعیین مقدار دقیق R_X استفاده کرد. چنانچه جواب مثبت است ، مطلوبست : الف - تعیین مشخصات دستگاه اندازه گیری انحرافی، ب - محل اتصال دستگاه اندازه

گیری انحرافی، ج - مقاومت خروجی پل اندازه گیری از نقطه نظر دستگاه اندازه گیری انحرافی، د - تعیین این موضوع که آیا رابطه مابین انحراف عقربه دستگاه اندازه گیری انحرافی و مقاومت R_X خطی است یا غیر خطی و نقش مقاومت داخلی دستگاه اندازه گیری در غیر خطی بودن این رابطه.

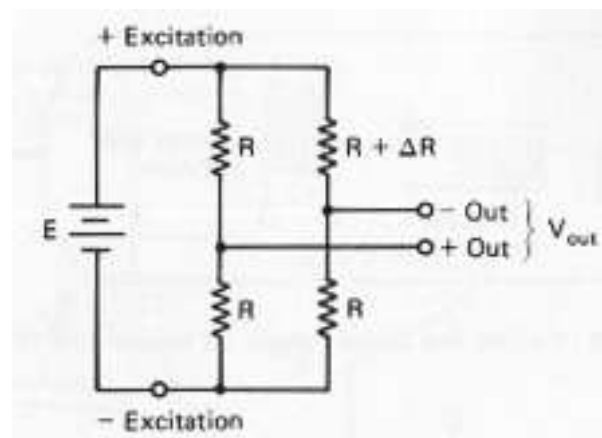
سؤال 3- خطای اندازه گیری در اثر سیمهای رابط جهت اتصال مقاومت R_X را تعیین کرده راه حل هائی برای برای از بین بردن نقش سیمهای رابط ارائه دهید.

سؤال 4- تفاوت‌های پل و تستون ، پل تار ، پل تلسون (پل کلوین) و پل کلوین دوبل را با شکل عمومی پلهای DC نوشته کاربرد هر کدام را توضیح دهید.

اطلاعات اضافی

مدار پل و تستون

به دلیل حساسیت فوق العاده مدار پل و تستون غالب اوقات از آن در اندازه‌گیری‌های مقادیر دقیق تغییرات مقاومت. مدار پل در شکل زیر نمایش داده شده است.



در حالت $\Delta R=0$ است، تمام مقاومت‌های چهارگانه مساوی‌ند، $V_{out} = 0$ و بنابراین $V_{out}=0$ می‌باشد. در صورت هرگونه تغییر در مقدار مقاومت مورد اندازه گیری به اندازه ΔR :

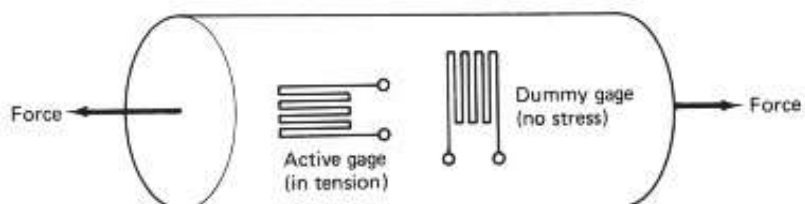
$$V_{out} = \frac{R}{R+R}E - \frac{R}{R+(R+\Delta R)}E = \frac{1}{2}E - \frac{R}{2R+\Delta R}E = \frac{(2R+\Delta R)E - 2RE}{2(2R+\Delta R)} = \frac{\Delta R}{4R+2\Delta R}E$$

بنابراین خروجی پل با هر تغییر در مقدار مقاومت مورد اندازه گیری به اندازه ΔR بطور غیر خطی تغییر می‌کند. هر چند R چند صد اهم و ΔR معمولاً چند صدم اهم است بنابراین چون

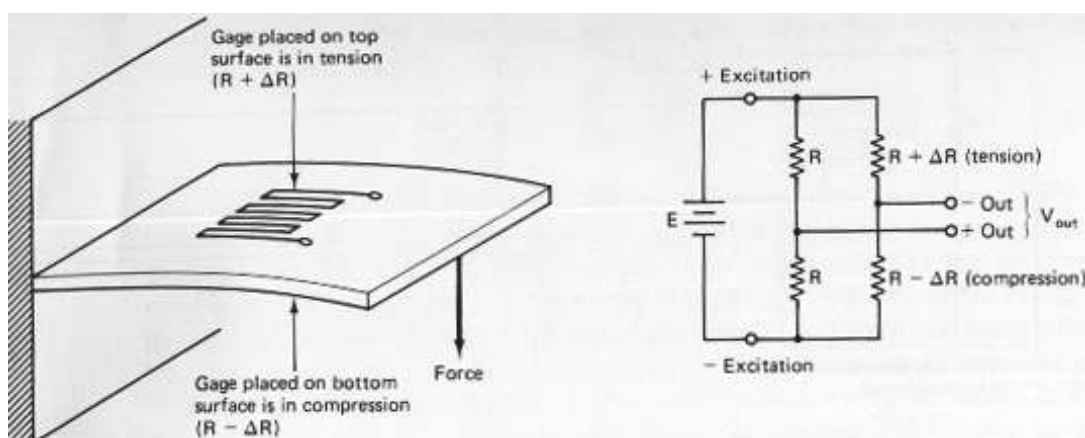
$$V_{out} = \frac{\Delta RE}{4R} \quad \text{با حذف } 2\Delta R \text{ در مخرج } 4R \gg 2\Delta R$$

نکته مهم اینکه V_{out} یک مقدار تفاضلی است و هیچ مرجع زمینی ندارد، ثانیاً مقدار خیلی کوچکی بوده و از منبعی با مقاومت خروجی $R/2$ (حدود چند صد اهم) خارج می شود. نتیجتاً می بایست این سیگنال را با یک مدار با امپدانس ورودی خیلی بزرگ و قابلیت ایجاد یک سیگنال خروجی نسبت به زمین که تنها به تفاضل ورودی هایش (که همان $+out$ و $-out$ هستند) وابسته باشد، تقویت نمود.

مزیت استفاده از پل وتسنون چیست؟ با قرار دادن دو مقاومت مشابه در یک طرف پل وتسنون می توان تأثیر حرارت را حذف نمود. به شکل زیر توجه کنید. یک گیج کشش به نحوی نصب شده که نیروی اعمال شده باعث افزایش طولش می شود. این ترانسdiyosr فعال است. ترانسdiyosr دوم بصورت عمود بر جهت تنش نصب شده و هیچ تنش قابل ملاحظه ای بر روی آن وجود ندارد. بنابراین اعمال نیرو، تغییر طولی در آن ایجاد نمی کند. این ترانسdiyosr مجازی است. نیروی اعمال شده فقط بر روی گیج فعال تأثیر گذاشته و پل را نامتعادل می سازد. با وجود این، هر تغییری در درجه حرارت بر هر دو گیج و به مقدار مساوی تأثیر می گذارد. تغییر مشابه در مقاومت هر دو مقاومت در یک طرف پل باعث عدم تعادل پل نخواهد شد. به عبارت دیگر $-out$ - تغییر نکرده و نتیجتاً تأثیر درجه حرارت حذف می شود. بنا بر این، حتی در حضور تغییرات دما و تنش، استفاده از گیج مجازی اثر تغییر دمای از بین می برد.

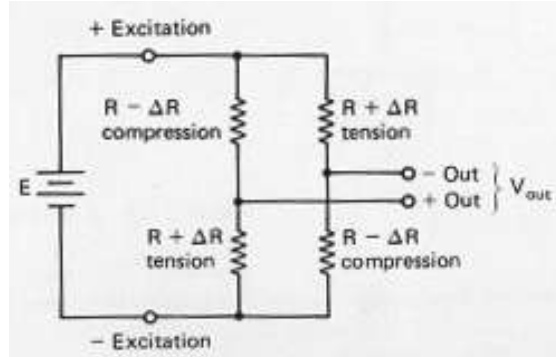


اگر شما بخواهید مشکلات و هزینه های مربوط به نصب 2 گیج بر روی جسم را تحمل کنید می توانید از هر دو آنها بصورت فعال استفاده کنید. با اتصال هر دو گیج فعال در یک طرف پل، تأثیر حرارت حذف می شود. از سوی دیگر با نصب گیج ها به ترتیبی که یکی تحت کشش باشد و مقاومت آن با بار افزایش یابد و دیگری تحت فشار بوده و مقاومت آن با بار کاهش یابد، ولتاژ خروجی بازاء یک بار معین در مقایسه با پل با یک گیج فعال، دو برابر می شود.

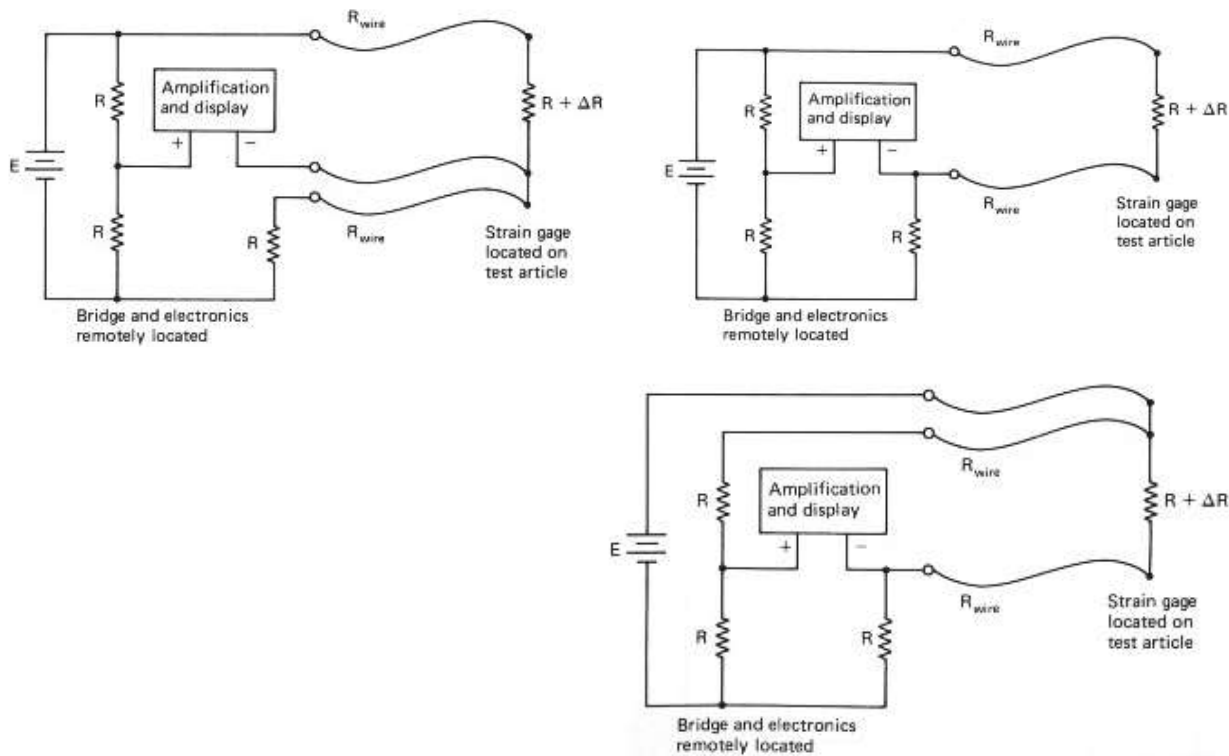


همچنین می توان از دو گیج کشی دیگر نیز استفاده نمود. مدار پل با چهار استرین گیج فعال در شکل زیر نشان داده شده است. خروجی پل با چهار استرین گیج فعال دو برابر بزرگتر از خروجی پل با دو استرین گیج فعال است.

$$V_{\text{out}} = \frac{\Delta R E}{R}$$



سیمکشی مناسب استرین گیج، منبع تحریک و مدار الکترونیکی وضعیت دهنده سیگنال Signal conditioning خیلی مهم هستند. این موضوع وقتی بیشتر اهمیت پیدا می کند که قسمتی از مدار پل در محل جسم مورد آزمایش و قسمت دیگر آن در محل اندازه گیری در فاصله دوری از آن قرار داشته باشد. نکته کلیدی آن است که دقیقاً طول مساوی و نوع مشابهی از سیم برای هر دو شاخه پل استفاده شود. در این صورت مقاومت اضافی مربوط به سیمهای رابط بصورت متعادلی به هر دو طرف اضافه می شود. حالتهای درست و نادرست سیمکشی در شکل زیر نشان داده شده اند. این روش ها از سوی دیگر تغییرات مقاومتی سیم (Rwire) را که ناشی از تغییر دما هستند، جبران می نماید.



ب - پلهای AC

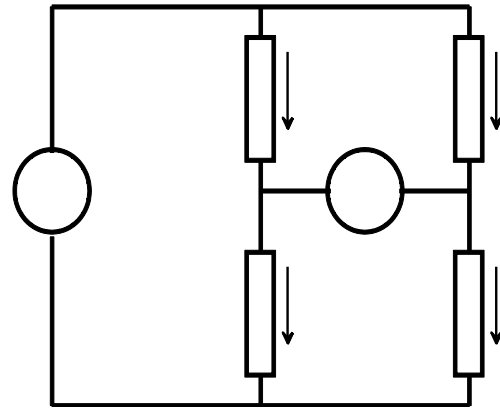
پلهای AC هم دارای چهار بازو (امپدانس) و یک نشانگر صفر هستند، منبع تغذیه این پلهای برق شهر و یا یک اسیلاتور است. بوسیله این پلهای میتوان L ، C ، M ، Q ، ضریب تلف و فرکانس را سنجید.

$$\text{for } I_M = 0 \quad \& \quad V_M = 0$$

$$\overline{I_1} \overline{Z_1} = \overline{I_3} \overline{Z_3}$$

$$\overline{I_2} \overline{Z_2} = \overline{I_4} \overline{Z_4}$$

$$\frac{\overline{Z_1}}{\overline{Z_2}} = \frac{\overline{Z_3}}{\overline{Z_4}} \quad \overline{Z_1} \overline{Z_4} = \overline{Z_2} \overline{Z_3}$$



$$Z_1 Z_4 e^{J(\varphi_1 + \varphi_4)} = Z_2 Z_3 e^{J(\varphi_2 + \varphi_3)}$$

$$|Z_1 Z_4| = |Z_2 Z_3| \quad \& \quad |\varphi_1 + \varphi_4| = |\varphi_2 + \varphi_3|$$

معمولًا از دو مقاومت بعنوان دو عضو این نوع پلهای استفاده میشود.

الف - چنانچه عضو های 1 و 2 مقاومتهای اهمی باشند عضو های 3 و 4 میباشند خازنی و یا سلفی باشند تا امکان تعادل پل بدست آید.

$$R_1 Z_4 e^{J(\varphi_4)} = R_2 Z_3 e^{J(\varphi_3)}$$

ب - چنانچه عضو های 1 و 4 مقاومتهای اهمی باشند ، یکی از عضو های 2 و 3 میباشند خازنی و دیگری سلفی باشد تا امکان تعادل پل بدست آید.

$$R_1 R_4 = Z_2 Z_3 e^{J(\varphi_2 + \varphi_3)}$$

- بعضی از پلهای متناوب به فرکانس وابسته نبوده ، برای کلیه فرکانسها متعدد میمانند و نتیجتاً فرکانس نقشی در محاسبات و تعیین مقدار نا معلوم ندارد. نتیجتاً امکان تغذیه اینگونه پلهای با ولتاژهای غیر سینوسی میسر است. از سوی دیگر پلهای وابسته به فرکانس فقط میباشند با ولتاژهای سینوسی تغذیه میشوند.

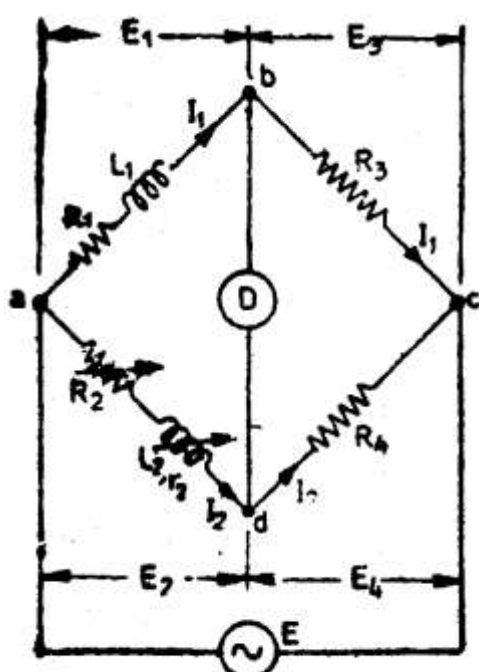
- حداقل دوتا از مشخصه های مدار بایستی برای رسیدن به شرایط تعادل تنظیم شوند.
- شرایط تعادل با تغییر پی در پی این پارامترها میسر بوده و بستگی به همبستگی یا تقارب پل دارد ، در حالت پل با تقارب بهتر کمترین تعداد تنظیم برای رسیدن به شرایط تعادل

لازم است.

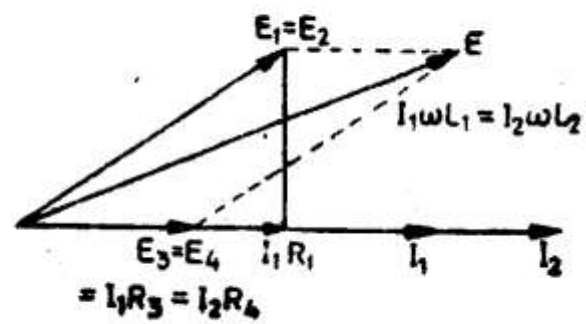
- تقارب پل بوسیله نوع پل و المانهای قابل تنظیم آن تعیین میشود.

سنجد اندوکتانس خودی بکمک پل ماسول:

در این پل اندوکتانس بوسیله مقایسه با یک اندوکتانس متغیر استاندارد تعیین میشود.



(a)



(b)

پل اندوکتانس ماسکول

$$(R_1 + JL_1\omega)R_4 = (R_2 + r_2 + JL_2\omega)R_3$$

$$R_1 = \frac{R_3}{R_4} (R_2 + r_2) \quad R_1 R_4 = (R_2 + r_2) R_3$$

$$L_1 = \frac{R_3}{R_4} L_2 \quad L_1 R_4 = L_2 R_3$$

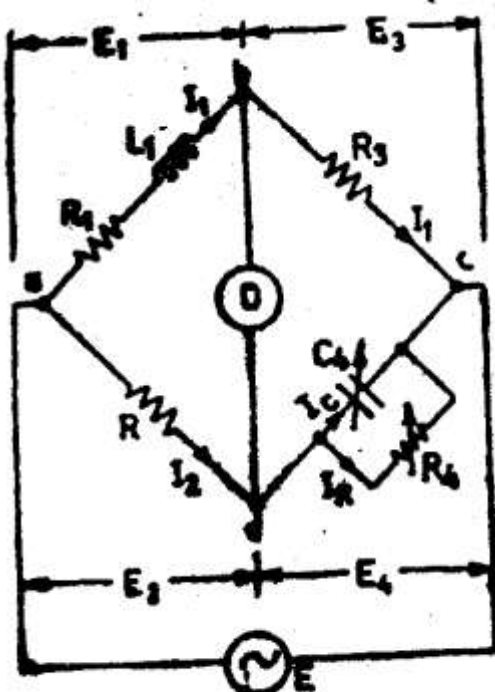
سنجر اندوکتانس خودی بكمك پل اندوکتانس کاپاسيتانس ماسکول:
در اين پل اندوکتانس بوسيله مقاييسه با يك کاپاسيتانس م تغير استاندارد تعين ميشود.

$$(R_1 + JL_1\omega) \frac{R_4}{1 + J\omega C_4 R_4} = R_2 R_3$$

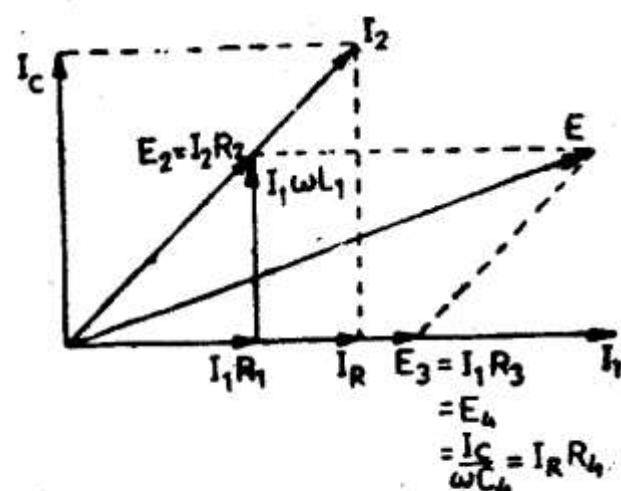
$$(R_1 + JL_1\omega) R_4 = R_2 R_3 (1 + J\omega C_4 R_4)$$

$$R_1 = \frac{R_2 R_3}{R_4}$$

$$L_1 = R_2 R_3 C_4$$



(a)



(b)

پل انڈوکتانس کا پاسیٹانس ماسکول

توجه کنید که دو معادله فوق بهم وابسته نیستند.

$$Q = \frac{\omega L_1}{R_1} \quad \text{از طرفی عبارت مساویت بـ}$$

$$Q = \omega C_4 R_4$$

مزاپای پلهای فوق عبارتند از:

- ## 1- روابط حالت تعادل بهم وابسته نیستند.

- ## ۲- روابط وابسته به فرانس نمیباشند.

- ### 3- روابط فوق العاده ساده اي برای محاسبه مقادیر نامعلوم وجود دارد.

پل حی Hay's Bridge

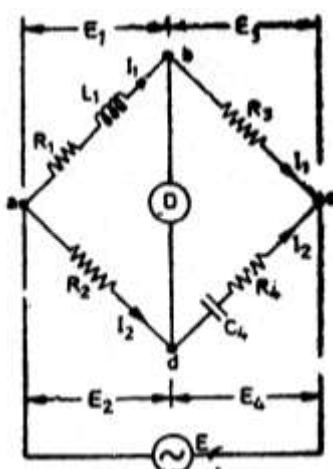
پل حی از اصلاح پل ماسکول نتیجه شده. دراین پل مقاومت با خازن استاندارد و متغیر بصورت سری قرار داده شده است.

$$(R_1 + JL_1\omega)(R_4 - \frac{J}{\omega C_4}) = R_2 R_3$$

$$R_1 R_4 + \frac{L_1}{C_4} + J\omega L_1 R_4 - \frac{J R_1}{\omega C_4} = R_2 R_3$$

$$R_1 R_4 + \frac{L_1}{C_4} = R_2 R_3 \quad \& \quad L_1 = \frac{R_1}{\omega^2 C_4 R_4}$$

از حل روابط فوق نتیجه خواهد شد.



پل حی Hay's Bridge

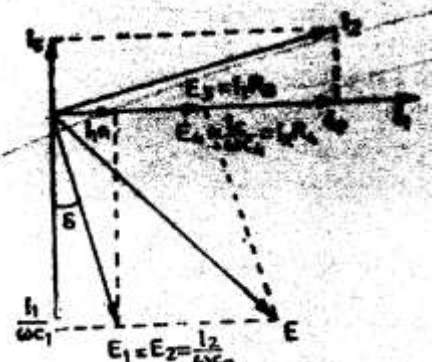
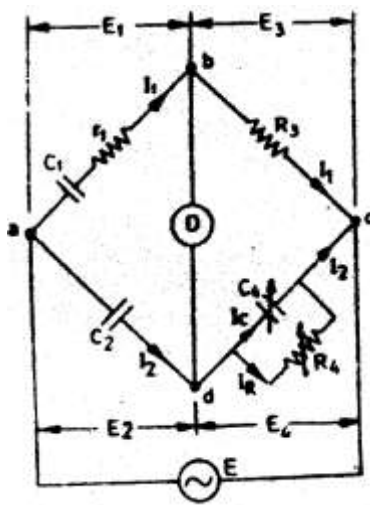
$$L_1 = \frac{R_2 R_3 C_4}{1 + \omega^2 C_4^2 R_4^2}$$

$$R_1 = \frac{\omega^2 R_2 R_3 R_4 C_4^2}{1 + \omega^2 C_4^2 R_4^2}$$

$$Q = \frac{\omega L_1}{R_1} = \frac{1}{\omega C_4 R_4}$$

در این حالت روابط به فرکانس وابسته هستند.

پل شرینگ Schering Bridge



پل شرینگ Schering Bridge (نوع ولتاژ پائین)

$$(r_1 + \frac{1}{JC_1\omega})(\frac{R_4}{1 + J\omega C_4 R_4}) = \frac{1}{J\omega C_2} R_3$$

$$(r_1 + \frac{1}{JC_1\omega})R_4 = \frac{R_3}{J\omega C_2}(1 + J\omega C_4 R_4)$$

$$(r_1 R_4 - \frac{JR_4}{C_1\omega}) = -J \frac{R_3}{\omega C_2} + \frac{C_4 R_3 R_4}{C_2}$$

$$r_1 = \frac{C_4}{C_2} R_3$$

$$C_1 = \frac{R_4}{R_3} C_2$$

مجدداً دو رابطه غیر وابسته بهم و غیر وابسته به فرکانس بدست آمدند.

فاکتور تلفات مساویست با

$$D_1 = \tan \delta = \omega C_1 r_1 = \omega \frac{R_4}{R_3} C_2 \frac{C_4}{C_2} R_3$$

سؤال 5- متن انگلیسی زیر را ترجمه نموده ، کاربرد اندازه گیری فاکتور تلفات و اهمیت آنها برای تجهیزات الکتریکی مختلف مانند ، کابل ، ترانسفورماتور ، خازن و غیره بنویسید.

Dissipation Factor

of an insulating material is the tangent = $\tan \delta$ The Dissipation Factor of the phase displacement angle by which the phase displacement between the current and the voltage in the condenser differs from , when the dielectric of the capacitor consists exclusively of the $\frac{\pi}{2}$ insulating material in question.

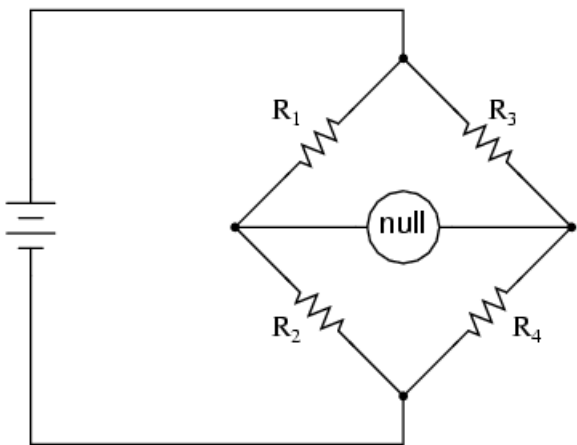
(PP 170 Electrical Engineering Handbook Siemens)

اطلاعات اضافی

AC bridge circuits

As we saw with DC measurement circuits, the circuit configuration known as a *bridge* can be a very useful way to measure unknown values of resistance. This is true with AC as well, and we can apply the very same principle to the accurate measurement of unknown impedances.

To review, the bridge circuit works as a pair of two-component voltage dividers connected across the same source voltage, with a *null-detector* meter movement connected between them to indicate a condition of "balance" at zero volts:



Any one of the four resistors in the above bridge can be the resistor of unknown value, and its value can be determined by a ratio of the other three, which are "calibrated," or whose resistances are known to a precise degree. When the bridge is in a balanced condition (zero voltage as indicated by the null detector), the ratio works out to be this:

*In a condition of **balance**:*

$$\frac{R_1}{R_2} = \frac{R_3}{R_4}$$

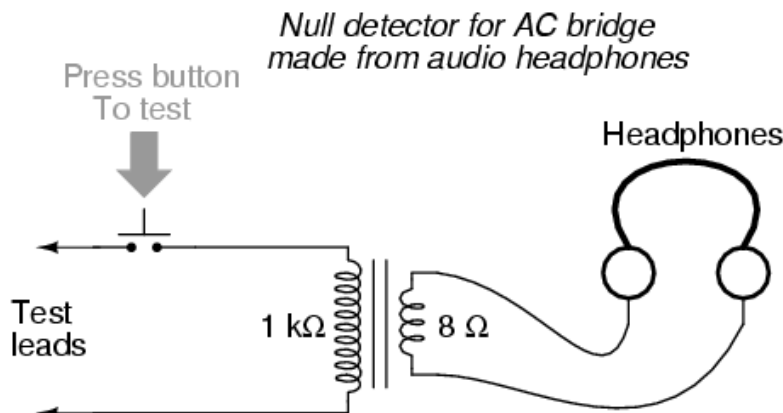
One of the advantages of using a bridge circuit to measure resistance is that the voltage of the power source is irrelevant. Practically speaking, the higher the supply voltage, the easier it is to detect a condition of imbalance between the four resistors with the null detector, and thus the more sensitive it will be. A greater supply voltage leads to the possibility of increased measurement precision. However, there will be no fundamental error introduced as a result of a lesser or greater power supply voltage unlike other types of resistance measurement schemes.

Impedance bridges work the same, only the balance equation is with *complex* quantities, as both magnitude and phase across the components of the two dividers must be equal in order for the null detector to indicate "zero." The null detector, of course, must be a device capable of detecting very small AC voltages. An oscilloscope is often used for this, although very sensitive electromechanical meter movements and even headphones (small speakers) may be used if the source frequency is within audio range.

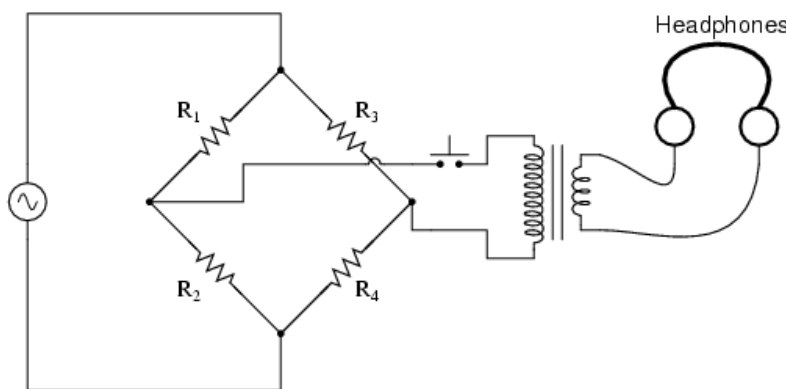
One way to maximize the effectiveness of audio headphones as a null detector is to connect them to the signal source through an impedance-matching transformer. Headphone speakers are typically low-impedance

units (8Ω), requiring substantial current to drive, and so a step-down transformer helps "match" low-current signals to the impedance of the headphone speakers. An audio output transformer works well for this purpose:

Using a pair of headphones that completely surround the ears (the "closed-cup" type), I've been able to detect currents of less than $0.1 \mu\text{A}$ with this simple detector circuit. Roughly equal performance was obtained using two different step-down transformers: a small power transformer (120/6 volt ratio), and an audio output transformer (1000:8 ohm impedance ratio). With the pushbutton switch in place to interrupt current, this circuit is usable for detecting signals from DC to over 2 MHz: even if the frequency is far above or below the audio range, a "click" will be heard from the headphones each time the switch is pressed and released.



Connected to a resistive bridge, the whole circuit looks like this:



Listening to the headphones as one or more of the resistor "arms" of the bridge is adjusted, a condition of balance will be realized when the headphones fail to produce "clicks" (or tones, if the bridge's power source frequency is within audio range) as the switch is actuated.

When describing general AC bridges, where *impedances* and not just resistances must be in proper ratio for balance, it is sometimes helpful to draw the respective bridge legs in the form of box-shaped components, each one with a certain impedance:

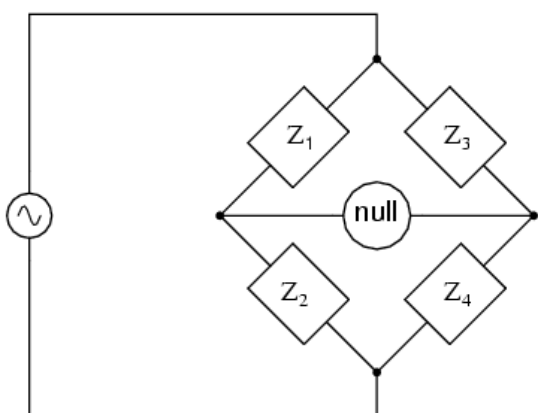
For this general form of AC bridge to balance, the impedance ratios of each branch must be equal:

$$\frac{Z_1}{Z_2} = \frac{Z_3}{Z_4}$$

Again, it must be stressed that the impedance quantities in the above equation *must* be complex, accounting for both magnitude and phase angle. It is insufficient that the impedance magnitudes alone be balanced; without phase angles in balance as well, there will still be voltage across the terminals of the null detector and the bridge will not be balanced.

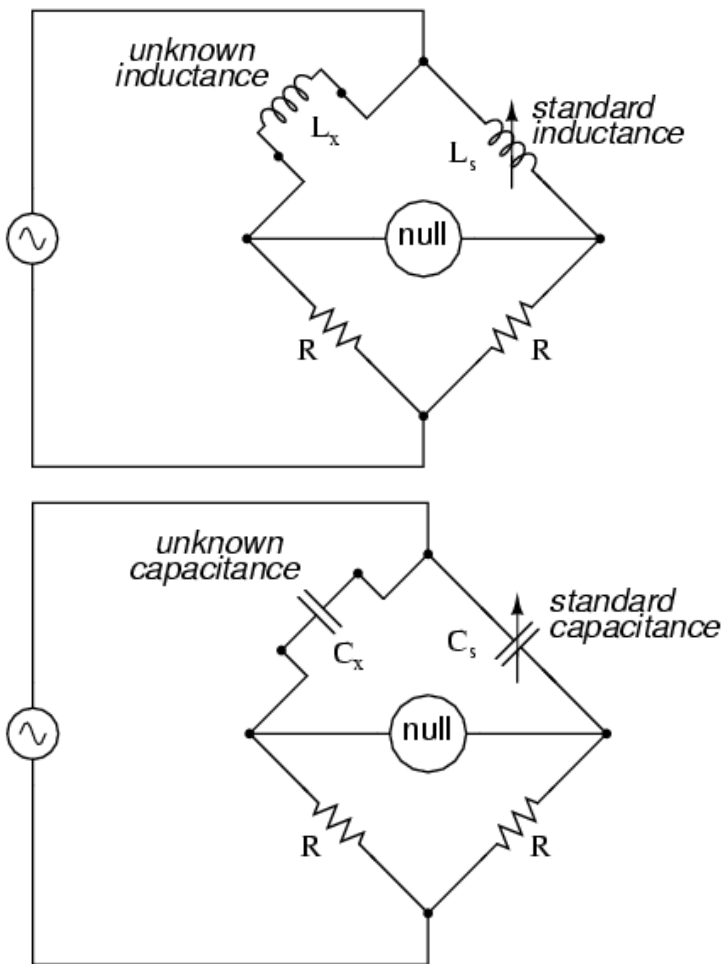
Bridge circuits can be constructed to measure just about any device value desired, be it capacitance, inductance, resistance, or even "Q." As always in bridge measurement circuits, the unknown quantity is always "balanced" against a known standard, obtained from a high-quality, calibrated component that can be adjusted in value until the null detector device indicates a condition of balance. Depending on how the bridge is set up, the unknown component's value may be determined directly from the setting of the calibrated standard, or derived from that standard through a mathematical formula.

General impedance bridge



A box with a "Z" written inside is the symbol for any nonspecific impedance.

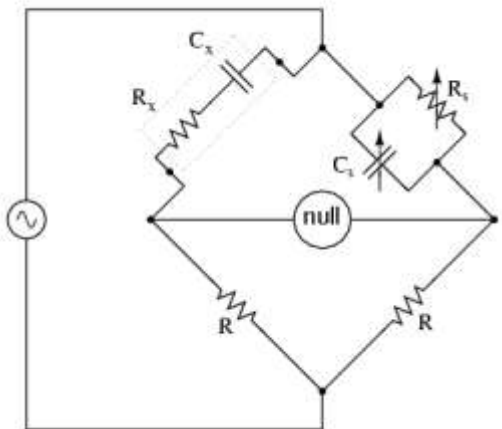
A couple of simple bridge circuits are shown below, one for inductance and one for capacitance:



Simple "symmetrical" bridges such as these are so named because they exhibit symmetry (mirror-image similarity) from left to right. The two bridge circuits shown above are balanced by adjusting the calibrated reactive component (L_s or C_s). They are a bit simplified from their real-life counterparts, as practical symmetrical bridge circuits often have a calibrated, variable resistor in series or parallel with the reactive component to balance out stray resistance in the unknown component. But, in the hypothetical world of perfect components, these simple bridge circuits do just fine to illustrate the basic concept.

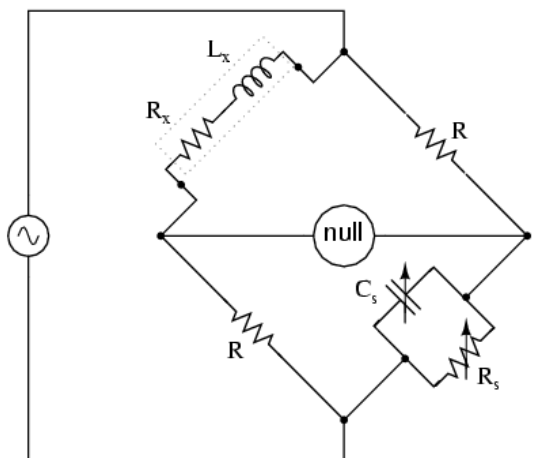
An example of a little extra complexity added to compensate for real-world effects can be found in the so-called *Wien bridge*, which uses a parallel capacitor-resistor standard impedance to balance out an unknown series capacitor-resistor combination. All capacitors have some amount of internal resistance, be it literal or equivalent (in the form of dielectric heating losses) which tend to spoil their otherwise perfectly reactive natures. This internal resistance may be of interest to measure, and so the Wien bridge attempts to do so by providing a balancing impedance that isn't "pure" either:

The Wien bridge



Being that there are two standard components to be adjusted (a resistor and a capacitor) this bridge will take a little more time to balance than the others we've seen so far. The combined effect of R_s and C_s is to alter the magnitude and phase angle until the bridge achieves a condition of balance. Once that balance is achieved, the settings of R_s and C_s can be read from their calibrated knobs, the parallel impedance of the two determined mathematically, and the unknown capacitance and resistance determined mathematically from the balance equation ($Z_1/Z_2 = Z_3/Z_4$).

The Maxwell-Wien bridge



It is assumed in the operation of the Wien bridge that the standard capacitor has negligible internal resistance, or at least that resistance is already known so that it can be factored into the balance equation. Wien bridges are useful for determining the values of "lossy" capacitor designs like electrolytics, where the internal resistance is relatively high. They are also used as frequency meters, because the balance of the bridge is frequency-dependent. When used in this fashion, the capacitors are made fixed (and usually of equal value) and the top two resistors are made variable and are adjusted by means of the same knob.

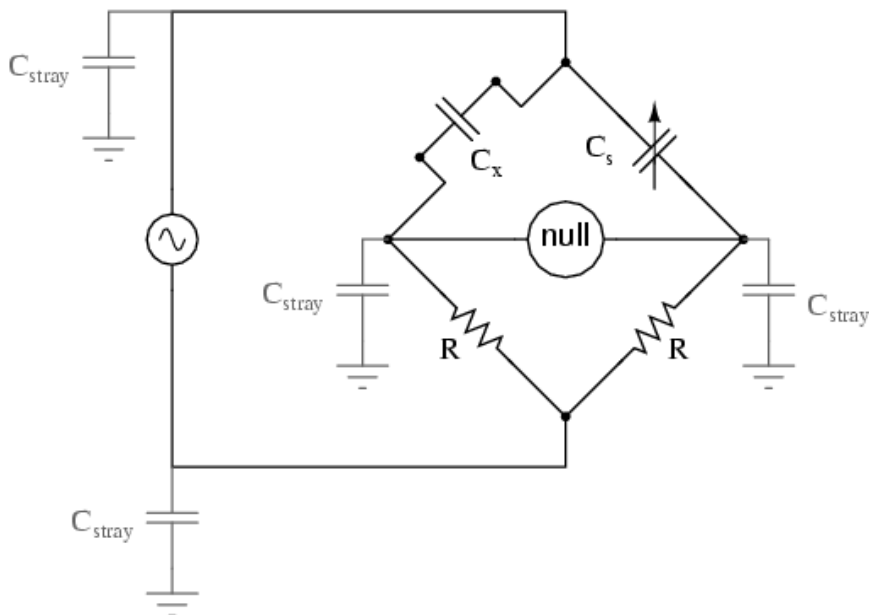
An interesting variation on this theme is found in the next bridge circuit, used to precisely measure inductances.

This ingenious bridge circuit is known as the *Maxwell-Wien bridge* (sometimes known plainly as the *Maxwell bridge*), and is used to measure unknown inductances in terms of calibrated resistance and capacitance. Calibration-grade inductors are more difficult to manufacture than capacitors of similar precision, and so the use of a simple "symmetrical" inductance bridge is not always practical. Because the phase shifts of inductors and capacitors are exactly opposite each other, a capacitive impedance can balance out an inductive impedance if they are located in opposite legs of a bridge, as they are here.

Another advantage of using a Maxwell bridge to measure inductance rather than a symmetrical inductance bridge is the elimination of measurement error due to mutual inductance between two inductors. Magnetic fields can be difficult to shield, and even a small amount of coupling between coils in a bridge can introduce substantial errors in certain conditions. With no second inductor to react with in the Maxwell bridge, this problem is eliminated.

For easiest operation, the standard capacitor (C_s) and the resistor in parallel with it (R_s) are made variable, and both must be adjusted to achieve balance. However, the bridge can be made to work if the capacitor is fixed (non-variable) and more than one resistor made variable (at least the resistor in parallel with the capacitor, and one of the other two). However, in the latter configuration it takes more trial-and-error adjustment to achieve balance, as the different variable resistors interact in balancing magnitude and phase.

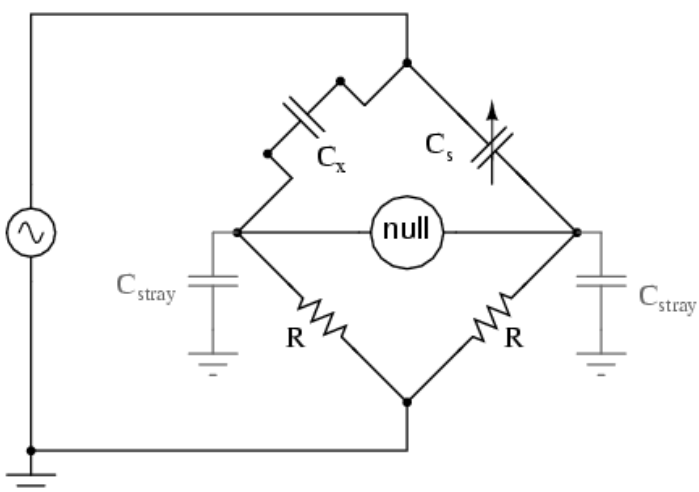
Unlike the plain Wien bridge, the balance of the Maxwell-Wien bridge is independent of source frequency, and in some cases this bridge can be made to balance in the presence of mixed frequencies from the AC voltage source, the limiting factor being the inductor's stability over a wide frequency range.



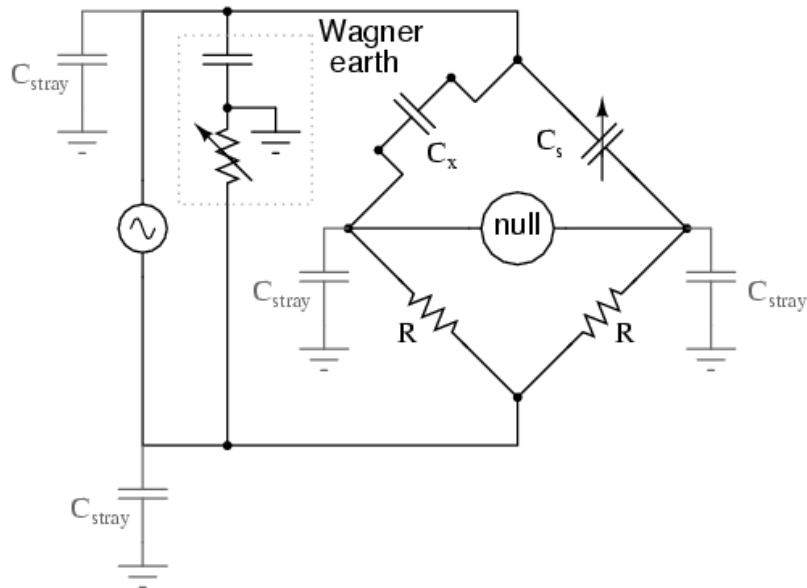
There are more variations beyond these designs, but a full discussion is not warranted here. General-purpose impedance bridge circuits are manufactured which can be switched into more than one configuration for maximum flexibility of use.

A potential problem in sensitive AC bridge circuits is that of stray capacitance between either end of the null detector unit and ground (earth) potential. Because capacitances can "conduct" alternating current by charging and discharging, they form stray current paths to the AC voltage source which may affect bridge balance:

The problem is worsened if the AC voltage source is firmly grounded at one end, the total stray impedance for leakage currents made far less and any leakage currents through these stray capacitances made greater as a result:

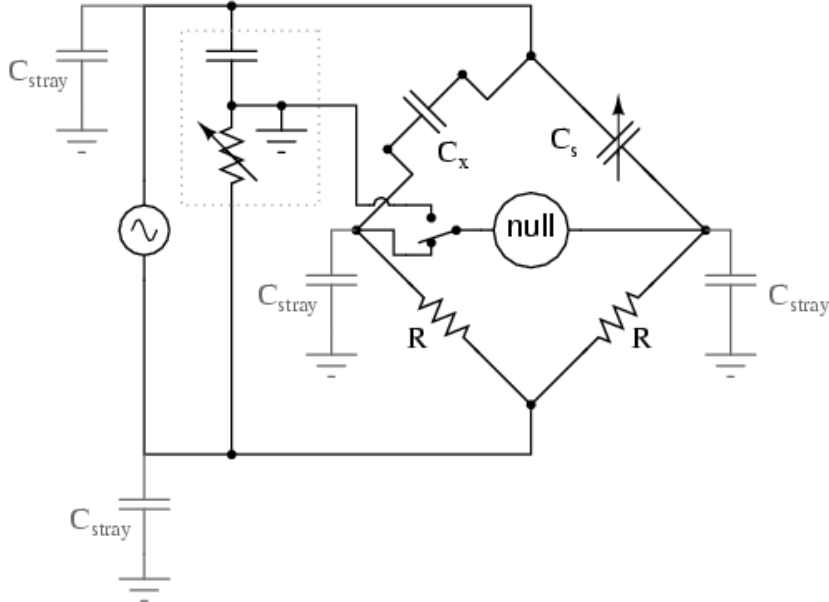


One way of greatly reducing this effect is to keep the null detector at ground potential, so there will be no AC voltage between it and the ground, and thus no current through stray capacitances. However, directly connecting the null detector to ground is not an option, as it would create a *direct* current path for stray currents, which would be worse than any capacitive path. Instead, a special voltage divider circuit called a *Wagner ground* or *Wagner earth* may be used to maintain the null detector at ground potential without the need for a direct connection to the null detector.



The Wagner earth circuit is nothing more than a voltage divider, designed to have the voltage ratio and phase shift as each side of the bridge. Because the midpoint of the Wagner divider is directly grounded, any other divider circuit (including either side of the bridge) having the same voltage proportions and phases as the Wagner divider, and powered by the same AC voltage source, will be at ground potential as well. Thus, the Wagner earth divider forces the null detector to be at ground potential, without a direct connection between the detector and ground.

There is often a provision made in the null detector connection to confirm proper setting of the Wagner earth divider circuit: a two-position switch, so that one end of the null detector may be connected to either the bridge or the Wagner earth. When the null detector registers zero signal in both switch positions, the bridge is not only guaranteed to be balanced, but the null detector is also guaranteed to be at zero potential with respect to ground, thus eliminating any errors due to leakage currents through stray detector-to-ground capacitances:



- REVIEW:
- AC bridge circuits work on the same basic principle as DC bridge circuits: that a balanced ratio of impedances (rather than resistances) will result in a "balanced" condition as indicated by the null-detector device.
- Null detectors for AC bridges may be sensitive electromechanical meter movements, oscilloscopes (CRT's), headphones (amplified or unamplified), or any other device capable of registering very small AC voltage levels. Like DC null detectors, its only required point of calibration accuracy is at zero.
- AC bridge circuits can be of the "symmetrical" type where an unknown impedance is balanced by a standard impedance of similar type on the same side (top or bottom) of the bridge. Or, they can be "nonsymmetrical," using parallel impedances to balance series impedances, or even capacitances balancing out inductances.
- AC bridge circuits often have more than one adjustment, since both impedance magnitude *and* phase angle must be properly matched to balance.
- Some impedance bridge circuits are frequency-sensitive while others are not. The frequency-sensitive types may be used as frequency measurement devices if all component values are accurately known.

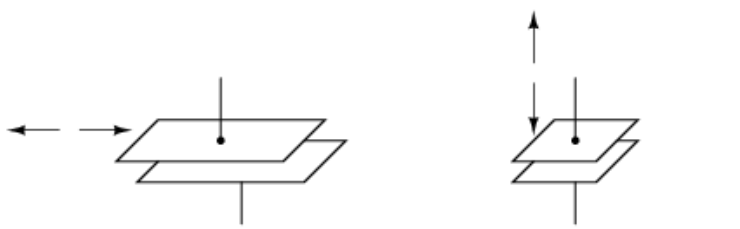
- A *Wagner earth* or *Wagner ground* is a voltage divider circuit added to AC bridges to help reduce errors due to stray capacitance coupling the null detector to ground.

So far the transducers discussed have all been of the inductive variety. However, it is possible to make transducers which operate on variable capacitance as well, AC being used to sense the change in capacitance and generate a variable output voltage.

Remember that the capacitance between two conductive surfaces varies with three major factors: the overlapping area of those two surfaces, the distance between them, and the dielectric constant of the material in between the surfaces. If two out of three of these variables can be fixed (stabilized) and the third allowed to vary, then any measurement of capacitance between the surfaces will be solely indicative of changes in that third variable.

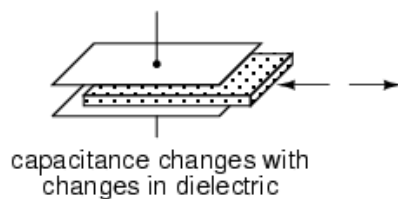
Medical researchers have long made use of capacitive sensing to detect physiological changes in living bodies. As early as 1907, a German researcher named H. Cremer placed two metal plates on either side of a beating frog heart and measured the capacitance changes resulting from the heart alternately filling and emptying itself of blood. Similar measurements have been performed on human beings with metal plates placed on the chest and back, recording respiratory and cardiac action by means of capacitance changes. For more precise capacitive measurements of organ activity, metal probes have been inserted into organs (especially the heart) on the tips of catheter tubes, capacitance being measured between the metal probe and the body of the subject. With a sufficiently high AC excitation frequency and sensitive enough voltage detector, not just the pumping action but also the *sounds* of the active heart may be readily interpreted.

Like inductive transducers, capacitive transducers can also be made to be self-contained units, unlike the direct physiological examples described above. Some transducers work by making one of the capacitor plates movable, either in such a way as to vary the overlapping area or the distance between the plates. Other transducers work by moving a dielectric material in and out between two fixed plates:



capacitance changes with changes in plate overlap

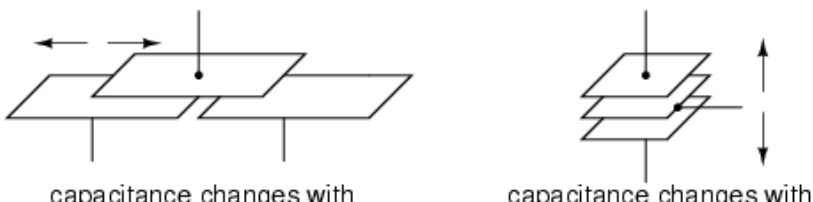
capacitance changes with changes in distance



capacitance changes with changes in dielectric

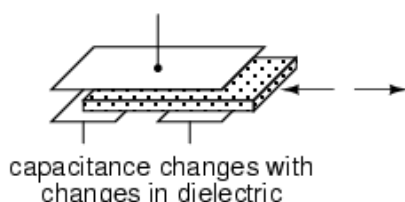
Transducers with greater sensitivity and immunity to changes in other variables can be obtained by way of differential design, much like the concept behind the LVDT (Linear Variable Differential Transformer). Here are a few examples of differential capacitive transducers:

Differential capacitive transducers



capacitance changes with changes in plate overlap

capacitance changes with changes in distance

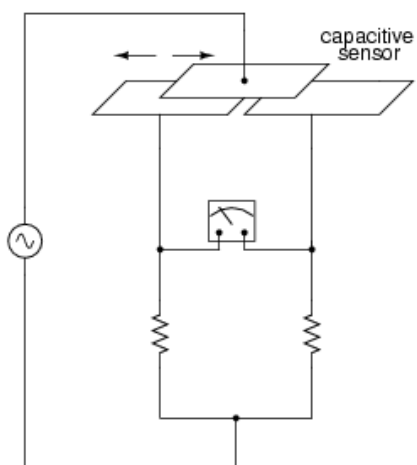


capacitance changes with changes in dielectric

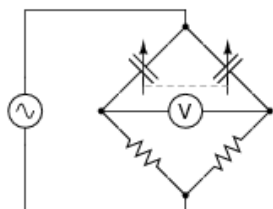
As you can see, all of the differential devices shown in the above illustration have *three* wire connections rather than two: one wire for each of the "end" plates and one for the "common" plate. As the capacitance between one of the "end" plates and the "common" plate changes, the capacitance between the other "end" plate and the "common" plate is such to change in the opposite direction. This kind of transducer lends itself very well to implementation in a bridge circuit:

Differential capacitive transducer
bridge measurement circuit

Pictoral diagram



Schematic diagram



Capacitive transducers provide relatively small capacitances for a measurement circuit to operate with, typically in the *pico*farad range. Because of this, high power supply frequencies (in the megahertz range!) are usually required to reduce these capacitive reactances to reasonable levels. Given the small capacitances provided by typical capacitive transducers, stray capacitances have the potential of being major sources of measurement error. Good conductor shielding is *essential* for reliable and accurate capacitive transducer circuitry!

صفحه 129 کتاب ساونی

سیستم درجه دوم و پاسخ زمانی آن

در کلیه سیستم های اندازه گیری الکترومکانیکی، Electromechanical Indicating Instruments ، یک سیستم درجه دوم شامل چهار قسمت زیر موجود است.

(1) نیروی منحرف کننده Deflecting Force - این نیرو برای به حرکت در آوردن عقربه نمایش لازم بوده و در رابطه با اصول کاری وسایل اندازه گیری تولید میشود

(2) نیروی کنترل کننده Controlling Force - این نیرو اولاً برای تولید یک نیروی مساوی با نیروی منحرف کننده در موقعیت نهانی عقربه و ثانیاً برای بر گردانیدن عقربه به حالت صفر و پس از قطع نیروی منحرف کننده لازم است ، مانند نیروی فر و نیروی ثقل.

(3) نیروی میرا کننده Damping Force - این نیرو برای جلوگیری از نوسانات بی مورد سیستم بوده و متناسب با سرعت حرکت سیستم متحرک میباشد. این نیرو میتواند بوسیله 1- اصطکاک هوا . 2- اصطکاک سیال و یا روغن . 3- جریان ادی . 4- مغناطیس الکتریکی ؛ تامین شود.

(4) و نهایتاً، نیروی مربوط به ممان اینرسی سیستم متحرک.

لذا ، این سیستم را میتوان بصورت رابطه ریاضی زیر نوشت:

$$M \ddot{x}(t) + D \dot{x}(t) + K x(t) = f(t)$$

سیستم جرم فر و دمپر

$$J \frac{d^2\theta}{dt^2} + D \frac{d\theta}{dt} + K\theta = GI$$

و یا

$$a \frac{d^2y}{dt^2} + b \frac{dy}{dt} + cy = kx$$

و یا

البته در شرایط پایدار و یا ایستا رابطه مقابل معتبر بوده و بقیه قسمتها مساوی صفر خواهد

بود

$$\frac{d^2y}{dt^2} + b' \frac{dy}{dt} + c' y = k' x$$

$$\frac{d^2y(t)}{dt^2} + 2\xi\omega_n \frac{dy(t)}{dt} + \omega_n^2 y(t) = k' x(t)$$

$$\omega_n = \sqrt{\frac{c}{a}} \quad rad / Sec.$$

فرکانس طبیعی سیستم

$$\xi = \frac{b}{2\sqrt{ac}}$$

ضریب میرائی سیستم

$$S^2 + 2\xi\omega_n S + \omega_n^2 = 0$$

$$S_{1,2} = -\xi\omega_n \pm \sqrt{(\xi\omega_n)^2 - \omega_n^2} = -\xi\omega_n \pm j\omega_n\sqrt{1-\xi^2}$$

بنابراین :

$$\xi < 1 \Rightarrow$$

برای حالت

$$y(t) = y_\infty + A e^{-\xi\omega_n t} \sin(\omega_n \sqrt{1-\xi^2} t + \varphi)$$

$$y(t) = y_\infty + A e^{-\gamma_1 t} + B e^{-\gamma_2 t}$$

و یا

$$\begin{aligned} \gamma_1 &= -\alpha + J\beta \\ \gamma_2 &= -\alpha - J\beta \end{aligned}$$

مزدوج و کمپلکس

مقدار A و B بستگی به مقادیر اولیه و یا (Initial Values) دارد.

$$y(0^+) = y(0^-) , \quad \frac{dy(0^+)}{dt} = \frac{dy(0^-)}{dt}$$

اگر

$$A = -\frac{y_\infty}{\sqrt{1-\xi^2}} \quad , \quad \tan \varphi = \frac{\sqrt{1-\xi^2}}{\xi}$$

$$y(t) = y_\infty \left[1 - \frac{1}{\sqrt{1-\xi^2}} e^{-\xi \omega_n t} \sin(\omega_n \sqrt{1-\xi^2} t + \tan^{-1} \frac{\sqrt{1-\xi^2}}{\xi}) \right]$$

$$y_\infty = \frac{K'}{\omega_n^2}$$

ضریب میرائی

فرکانس نوسانات آزاد سیستم

فرکانس نوسانات سیستم

اگر $\xi = 0$ و یا برای حالت میرائی صفر ، سیستم با فرکانس ω_n نوسان میکند.

برای حالت

ریشه حقیقی

WWW.ESUD83.MIHANBLOG.COM